

ผลของพลาสม่าและซีรัมชุ่นในโลหิตผู้บริจาคต่อการตรวจหมูโลหิตและคัดกรอง  
แอนติบอดีด้วยเครื่องตรวจจักษณ์ในมิติที่ใช้เทคนิคการอ่านผลด้วยภาพ



วิทยานิพนธ์เสนอปัจฉิตรวิทยาลัย มหาวิทยาลัยมหิดล เพื่อเป็นส่วนหนึ่งของการศึกษา  
หลักสูตรปริญญาวิทยาศาสตร์มหาบัณฑิต  
สาขาวิชาเทคนิคการแพทย์  
กุมภาพันธ์ 2563  
ลิขสิทธิ์เป็นของมหาวิทยาลัยมหิดล

วิทยานิพนธ์ เรื่อง “ผลของพลาสมาและซีรัมชุนในโลหิตผู้บริจาคต่อการตรวจหาโลหิตและคัดกรองแอนติบอดีด้วยเครื่องตรวจจักษณ์โนมัติที่ใช้เทคนิคการย่างผลด้วยภาพ”

ของนางสาวชิราภรณ์ ยันต์วิเศษ

ได้รับการพิจารณาให้นับเป็นส่วนหนึ่งของการศึกษาตามหลักสูตร

วิทยาศาสตรมหาบัณฑิต สาขาวิชาเทคนิคการแพทย์ แบบ ก (1)

คณะกรรมการสอบวิทยานิพนธ์

..... ประธานกรรมการสอบวิทยานิพนธ์  
(ดร.กรรณิกา ก้าหา)

..... ประธานที่ปรึกษาวิทยานิพนธ์  
(ผู้ช่วยศาสตราจารย์ ดร.วัชనันท์ วงศ์เสนา)

..... กรรมการผู้ทรงคุณวุฒิภายนอก / ภายใน  
(ดร.นราพร อภิรัชโนเมืองกุล)

(ศาสตราจารย์ ดร.ไพศาล มุณีสว่าง)

คณบดีบัณฑิตวิทยาลัย

๒๘ ๐๗ ๒๕๖๓

อนุมัติ

## ประกาศคุณภาพ

ผู้วิจัยขอกราบขอบพระคุณเป็นอย่างสูงในความกรุณาของ ผู้ช่วยศาสตราจารย์ ดร.วันนันท์ วงศ์เสน่ห์ ประธานที่ปรึกษาวิทยานิพนธ์ ที่ได้อุตสาห์สละเวลาอันมีค่ามาเป็นที่ปรึกษา พร้อมทั้ง ให้คำแนะนำตลอดระยะเวลาในการทำวิทยานิพนธ์ฉบับนี้

กราบขอบพระคุณผู้อำนวยการศูนย์บริการโลหิตแห่งชาติ หัวหน้าภาคบริการโลหิต แห่งชาติที่ 8 จังหวัดนครสวรรค์ และนักเทคนิคการแพทย์ รวมถึงเจ้าหน้าที่งานห้องปฏิบัติการ ภาคบริการโลหิตแห่งชาติที่ 8 จังหวัดนครสวรรค์ ที่กรุณาให้ความร่วมมือและอำนวยความสะดวก แก่ผู้ที่วิจัยเป็นอย่างดี ในการรวบรวมข้อมูลและศึกษาวิจัยในครั้งนี้

เนื่องสืบอื่นใดกราบขอบพระคุณบิดามารดาของผู้วิจัยที่ให้กำลังใจและให้ การสนับสนุนในทุกๆ ด้านอย่างดีที่สุดเสมอมา

คุณค่าและคุณประโยชน์อันเพียงจะมีจากวิทยานิพนธ์ฉบับนี้ ผู้วิจัยขอขอบพระคุณและอุทิศแด่ ผู้มีพระคุณทุกๆ ท่าน ผู้วิจัยหวังเป็นอย่างยิ่งว่างานวิจัยนี้จะเป็นประโยชน์ต่อผู้ปฏิบัติงาน ในธนาคารเลือดและผู้สนใจเพื่อผู้ป่วยได้รับโลหิตที่มีคุณภาพและมีความปลอดภัยสูงสุด

วิชิราภรณ์ ยนต์วิเศษ

|                 |   |
|-----------------|---|
| ชื่อเรื่อง      | ผลของพลาスマและซีรัมชุนในโลหิตผู้บริจาคต่อการตรวจหมูโลหิต และคัดกรองเอนติบอดีด้วยเครื่องตรวจห้องแมตติที่ใช้เทคนิคการอ่านผลด้วยภาพ |
| ผู้วิจัย        | วิชาราภรณ์ ยันต์วิเศษ   |
| ประธานที่ปรึกษา | ผู้ช่วยศาสตราจารย์ ดร.วัชันน์ท วงศ์เสนา   |
| ประเภทสารนิพนธ์ | วิทยานิพนธ์ วท.ม. สาขาวิชาเทคโนโลยีการแพทย์,<br>มหาวิทยาลัยนเรศวร, 2562   |
| คำสำคัญ         | พลาสม่าชุน ซีรัมชุน สำหรับกวนการทดสอบ   |

### บทคัดย่อ

พลาスマและซีรัมชุนส่งผลกระทบต่อผลการตรวจห้องปฐมติการหล่ายชนิด งานวิจัยนี้ศึกษาผลกระทบของพลาスマและซีรัมชุน ระดับของสารชีวเคมี และความเป็นปัจจัยเสี่ยงต่างๆ ต่อผลการตรวจหมูโลหิตด้วยเครื่องตรวจวิเคราะห์อัตโนมัติ Qwalys 3 และการตรวจคัดกรองเอนติบอดีด้วยเครื่องตรวจวิเคราะห์อัตโนมัติ Ortho Autovue Innova ซึ่งเป็นเครื่องที่ใช้เทคนิคการอ่านผลด้วยภาพ พนวจในการตรวจหมูโลหิตโดยใช้ตัวอย่างเลือดที่ผสมกับสารกันเลือด เช่นชนิด citrate phosphate dextrose (CPD) ระดับความชุนของพลาสมากจากประเมินโดยการวัดค่าการดูดกลืนแสง (OD)  $>1.000$  มีความสัมพันธ์กับระดับโกลบูลิน  $>3.0 \text{ g/dl}$  ระดับโปรตีนรวม  $>8.0 \text{ g/dl}$  และระดับไตรกลีเซอไรด์  $>500 \text{ mg/dl}$  ( $p < 0.001, 0.005$  และ  $<0.001$  ตามลำดับ) และความชุนที่ OD  $>1.000$  มีความสัมพันธ์กับ error "X" และ "?" ( $p = 0.043$  และ  $0.003$  ตามลำดับ) การรายงานผลไม่ได้เป็น "X" มีความสัมพันธ์กับระดับโกลบูลิน  $\leq 3.0 \text{ g/dl}$  และระดับโปรตีนรวม  $\leq 8.0 \text{ g/dl}$  ( $p < 0.001$  ทั้งสองรายการ) การรายงานผลไม่ได้เป็น "?" มีความสัมพันธ์กับระดับโปรตีนรวม  $\leq 8.0 \text{ g/dl}$  และระดับไตรกลีเซอไรด์  $>500 \text{ mg/dl}$  ( $p < 0.001$  และ  $0.002$  ตามลำดับ) และเมื่อวิเคราะห์หล่ายปัจจัยร่วมกันพบว่าระดับความชุน ( $OR (OD > 1.000 \text{ vs } \leq 1.000) = 42.5$ ; (95%CI 2.92-620) ระดับโปรตีนรวม ( $OR (\leq 8.0 \text{ g/dl} \text{ vs } > 8.0 \text{ g/dl}) = 37.9$ ; (95%CI 9.92-145) เป็นปัจจัยเสี่ยงต่อการรายงานผลไม่ได้เป็น "X" และระดับโปรตีนรวม ( $OR (\leq 8.0 \text{ g/dl} \text{ vs } > 8.0 \text{ g/dl}) = 8.95$ ; (95%CI 3.95-20.3) ระดับไตรกลีเซอไรด์ ( $OR (> 500 \text{ mg/dl} \text{ vs } \leq 500 \text{ mg/dl}) = 10.4$ ; (95%CI 1.38-77.7) เป็นปัจจัยเสี่ยงต่อการรายงานผลไม่ได้เป็น "?" เมื่อศึกษาระดับสารชีวเคมีโดยตรงพบว่าระดับกลูโคส  $1,000 \text{ mg/dl}$  และระดับไตรกลีเซอไรด์  $1,000 \text{ mg/dl}$  ส่งผลกระทบต่อ

การตรวจหมูโลหิต ส่วนการตรวจคัดกรองแอนติบอดีโดยใช้ตัวอย่างซีรัม พบร่วรดับความชุนที่ OD>1.000 มีความสัมพันธ์กับระดับอัลบูมิน  $\leq 5.0 \text{ g/dl}$  ระดับโกลบูลิน  $> 3.5 \text{ g/dl}$  ระดับโปรตีนรวม  $> 8.0 \text{ g/dl}$  และระดับไตรกลีเซอไรด์  $> 500 \text{ mg/dl}$  ( $p=0.044$ ,  $<0.001$ ,  $0.028$  และ  $<0.001$  ตามลำดับ) ความชุนที่ OD  $> 1.000$  มีความสัมพันธ์กับการรายงานผลการตรวจคัดกรองแอนติบอดี "ไม่ได้เป็น "WLL" ( $p<0.001$ ) การรายงานผลไม่ได้เป็น ""WLL" มีความสัมพันธ์กับระดับอัลบูมิน  $\leq 5.0 \text{ g/dl}$  ระดับโกลบูลิน  $> 3.5 \text{ g/dl}$  และระดับไตรกลีเซอไรด์  $> 500 \text{ mg/dl}$  ( $p = 0.003$ ,  $<0.001$  และ  $p<0.001$  ตามลำดับ) การรายงานผลไม่ได้เป็น "?" มีความสัมพันธ์กับระดับโกลบูลิน  $\leq 3.5 \text{ g/dl}$  ระดับโปรตีนรวม  $\leq 8.0 \text{ g/dl}$  และระดับากูโคลส  $> 300 \text{ mg/dl}$  ( $p = 0.044$ ,  $<0.001$  และ  $0.043$  ตามลำดับ) เมื่อวิเคราะห์รายบุคคลยร่วมกัน พบร่วรความชุน ( $OR (OD>1.000 \text{ vs } \leq 1.000) = 21.3$ ;  $95\%CI 4.21-107$ ) และระดับไตรกลีเซอไรด์ ( $OR (>500 \text{ mg/dl} \text{ vs } \leq 500 \text{ mg/dl}) = 97.3$ ;  $95\%CI 10.5-903$ ) เป็นปัจจัยเสี่ยงต่อการรายงานผลไม่ได้เป็น "WLL" เพศ ( $OR \text{ หญิง vs ชาย} = 3.11$ ;  $95\%CI 1.43-6.75$ ) และระดับโปรตีนรวม ( $OR (\leq 8.0 \text{ g/dl} \text{ vs } > 8.0 \text{ g/dl}) = 3.99$ ;  $95\%CI 1.47-7.82$ ) เป็นปัจจัยเสี่ยงต่อการรายงานผลไม่ได้เป็น "?" เมื่อศึกษาระดับสารเชื้อเครื่องโดยตรงต่อการตรวจกรองแอนติบอดี พบร่วรอัลบูมิน  $14.0 \text{ g/dl}$  ให้ผลบวกปลอม อัลบูมิน  $12.0 \text{ g/dl}$  และโกลบูลิน  $6.0 \text{ g/dl}$  เกิดปฏิกิริยาบวกที่แรงขึ้น สรุปได้ว่าความชุนส่งผลกระทบต่อการรายงานผลไม่ได้ใน การตรวจหมูโลหิตเป็น "X" และการตรวจคัดกรองแอนติบอดีเป็น "WLL" ในการตรวจด้วย เครื่องตรวจอัตโนมัติที่ใช้เทคนิคการอ่านผลด้วยภาพ

|                |  |
|----------------|--|
| Title          | EFFECT OF TURBID PLASMA AND SERUM IN DONATING BLOOD ON THE DETECTION OF BLOOD GROUP AND ANTIBODY SCREENING BY IMAGE-BASED AUTOMATED ANALYSER |
| Author         | Vashiraporn Yonwises   |
| Advisor        | Assistant Professor Wachanan Wongsena, Ph.D.   |
| Academic Paper | Thesis M.S. in Medical Technology, Naresuan University, 2019   |
| Keywords       | turbid plasma, turbid serum, interference substance  |

#### ABSTRACT.

Turbid plasma and serum affect the analysis of several laboratory tests. This study aims to investigate the effects of turbid plasma and serum, the levels of biochemical substances and the other risk factors on the detection of blood group by Qwalys3 and antibody screening by Ortho Authovue Innova, which detected by image-based automated analyzers. For blood group testing, citrate phosphate dextrose (CPD) blood was used as specimen, turbid plasma samples were associated with the levels of globulin  $>3.0$  g/dl, total protein  $>8.0$  g/dl and triglyceride  $>500$  mg/dl ( $p < 0.001$ ,  $0.005$  and  $<0.001$ , respectively). Turbid samples with optical density (OD)  $>1.000$  were associated with error "X" and "?" ( $p=0.043$  and  $0.003$ , respectively). Error "X" was associated with the levels of globulin  $\leq 3.0$  g/dl and total protein  $\leq 8.0$  g/dl ( $p < 0.001$  in both). Error "?" was associated with the levels of total protein  $\leq 8.0$  g/dl and triglyceride  $>500$  mg/dl ( $p \leq 0.001$  and  $0.002$ , respectively). In bivariate model, turbid samples ( $OR (OD > 1.000 \text{ vs } \leq 1.000) = 42.5$ ;  $95\%CI 2.92-620$ ) and the total protein level ( $OR (\leq 8.0 \text{ g/dl vs } >8.0 \text{ g/dl}) = 37.9$ ;  $(95\%CI 9.92-144)$ ) were associated with error "X". The levels of total protein ( $OR (\leq 8.0 \text{ g/dl vs } >8.0 \text{ g/dl}) = 8.95$ ;  $95\%CI 3.95-20.3$ ) and triglyceride ( $OR (>500 \text{ mg/dl vs } \leq 500 \text{ mg/dl}) = 10.4$ ;  $95\%CI 1.38-77.7$ ) were associated with error "?". The levels of glucose 1,000 mg/dl and triglyceride 1,000 mg/dl affected directly to blood group testing. For antibody screening, serum was used as specimen, turbid serum samples were associated with the levels of

albumin  $\leq$ 5.0 g/dl, globulin >3.5 g/dl, total protein >8.0 g/dl and triglyceride >500 mg/dl ( $p=0.044$ ,  $<0.001$ , 0.028 and  $<0.001$ , respectively). Turbid samples were associated with error "WLL" ( $p <0.001$ ). Error "WLL" was associated with the levels of albumin  $\leq$ 5.0 g/dl, globulin >3.5 g/dl and triglyceride > 500 mg/dl ( $p =0.003$ ,  $<0.001$  and  $<0.001$ , respectively). Error "?" was associated with the levels of globulin  $\leq$ 3.5 g/dl, total protein  $\leq$ 8.0 g/dl and glucose >300 mg/dl ( $p = 0.004$ ,  $<0.001$  and 0.043, respectively). In bivariate model, turbid samples (OR (OD>1.000 vs  $\leq$ 1.000) = 21. 3; 95%CI 4. 21- 107) and triglyceride level (OR (>500 mg/dl vs  $\leq$ 500 mg/dl) = 97.3; 95%CI 10.5-903) were associated with error "WLL". Sex (OR (female vs male) = 3.11; 95%CI 1.43-6.75) and total protein level (OR ( $\leq$ 8.0 g/dl >8.0 g/dl) = 3.99; 95%CI 1.47-7.8 were associated with error "?". For direct effect testing, the levels of albumin 14.0 g/dl showed false positive result; albumin 12.0 g/dl and globulin 6.0 g/dl have stronger reactions. In conclusion, turbid samples affected the results of error "X" in blood group testing and error "WLL" in antibody screening.

## สารบัญ

| บทที่  | หน้า |
|--|------|
| 1 บทนำ.....  | 1    |
| ความเป็นมาของปัญหา.....                                      | 1    |
| จุดมุ่งหมายของการศึกษา.....                                  | 3    |
| ขอบเขตของงานวิจัย.....                                       | 3    |
| ข้อตกลงเบื้องต้น.....  | 4    |
| นิยามศัพท์เฉพาะ.....   | 4    |
| สมมติฐานของงานวิจัย.....                                     | 4    |
| 2 เอกสารและงานวิจัยที่เกี่ยวข้อง.....                        | 5    |
| พลาสม่าชั่น.....   | 5    |
| ไขม้ามและกระบวนการเผาผลิตภัณฑ์.....                          | 8    |
| โปรดีนและกระบวนการเผาผลิตภัณฑ์.....                          | 11   |
| คาร์บีไสเดรตและกระบวนการเผาผลิตภัณฑ์.....                    | 14   |
| เครื่องตรวจวินิเคราะห์หมูโลหิตอัตโนมัติ Qwalys 3.....        | 17   |
| เครื่องตรวจคัดกรองเนื้อตับอัตโนมัติ Ortho Autovue nnova..... | 21   |
| 3 วิธีดำเนินงานวิจัย   | 29   |
| ประชากรและกลุ่มตัวอย่าง.....                                 | 29   |
| การสุ่มตัวอย่าง.....   | 29   |
| ตัวแปรที่ใช้ในการวิจัย.....                                  | 30   |
| วัสดุอุปกรณ์และเครื่องมือ.....                               | 30   |
| การเก็บรวบรวมข้อมูล.....                                     | 32   |
| วิธีวินิเคราะห์ข้อมูล.....                                   | 39   |

## สารบัญ (ต่อ)

| บทที่   | หน้า       |
|---|------------|
| <b>4 ผลการวิจัย.....</b>  | <b>40</b>  |
| <b>ข้อมูลทั่วไปของกลุ่มตัวอย่าง.....</b>  | <b>40</b>  |
| ผลกระบวนการของตัวอย่างส่งตรวจชิ้นต่อการตรวจหมูโลหิตและตรวจคัดกรองเอนติบอดีในโลหิตผู้บริจาค.....   | 41         |
| ผลการศึกษาระดับอัลบูมิน โกลบูลิน ไตรกลีเซอไรด์ และกลูโคสในตัวอย่างส่งตรวจที่มีผลต่อการตรวจหมูโลหิตและตรวจคัดกรองเอนติบอดีในโลหิตผู้บริจาค.....                      | 47         |
| ผลการศึกษาปัจจัยเสี่ยงของระดับความชุ่น อัลบูมิน โกลบูลิน โปรตีนไตรกลีเซอไรด์ และกลูโคส ในตัวอย่างส่งตรวจที่มีผลต่อการตรวจหมูโลหิตด้วยเครื่องอัตโนมัติ Qwalys 3..... | 50         |
| การศึกษาความสัมพันธ์ของสารชีวเคมีกับผลการตรวจหมูโลหิต.....  | 54         |
| การศึกษาปัจจัยเสี่ยงต่อการรายงานผลไม่ได้ในการตรวจคัดกรองเอนติบอดี.....  | 65         |
| <b>5 บทสรุป.....</b>  | <b>82</b>  |
| <b>สรุปผลการวิจัย.....</b>  | <b>82</b>  |
| <b>อภิปรายผลการวิจัย.....</b>   | <b>84</b>  |
| <b>ข้อเสนอแนะ.....</b>  | <b>94</b>  |
| <b>บรรณานุกรม.....</b>  | <b>95</b>  |
| <b>ภาคผนวก.....</b>   | <b>102</b> |
| <b>ประวัติผู้วิจัย.....</b>   | <b>106</b> |

## สารบัญตาราง

| ตาราง   | หน้า |
|---|------|
| 1 ปฏิกริยาที่ไม่สามารถสรุปหนูโลหิตได้จากเครื่องตรวจวิเคราะห์หมูโลหิตอัตโนมัติ Qwalys 3: สัญลักษณ์ สาเหตุและวิธีแก้ไข.....   | 21   |
| 2 ปฏิกริยาที่สรุปได้จากเครื่องตรวจคัดกรองเอนติบอดีอัตโนมัติ Ortho Autovue Innova: สัญลักษณ์ สาเหตุและวิธีแก้ไข.....   | 23   |
| 3 ข้อมูลที่นำไปของกุญแจอย่างและความสัมพันธ์กับภาวะพลาสม่าชั่น.....  | 40   |
| 4 เปรียบเทียบการประเมินความชุ่นของพลาสมาด้วยตาเทียบกับแผนภาพ A และภาพ B และค่าการดูดกลืนแสงที่ความยาวคลื่น 660 นาโนเมตร, n=398.....   | 42   |
| 5 เปรียบเทียบการประเมินความชุ่นของซีรัมด้วยตาเทียบกับแผนภาพ A และภาพ B และค่าการดูดกลืนแสงที่ความยาวคลื่น 660 นาโนเมตร, n=398.....  | 43   |
| 6 ความสัมพันธ์ระหว่างความชุ่นของพลาสมาของตัวอย่างตรวจกับผลการตรวจหมูโลหิตด้วยเครื่อง Qwalys 3 ที่รายงานผลไม่ได้.....  | 44   |
| 7 ความสัมพันธ์ระหว่างความชุ่นของซีรัมของตัวอย่างตรวจกับผลการตรวจคัดกรองเอนติบอดีด้วยเครื่อง Ortho Autovue Innova ที่รายงานผลไม่ได้.....   | 46   |
| 8 ผลการตรวจหมูโลหิตด้วยเครื่องอัตโนมัติ Qwalys 3 และการตรวจคัดกรองเอนติบอดีด้วยเครื่องอัตโนมัติ Ortho Autovue Innova ในตัวอย่างตรวจที่มีระดับอัลบูมิน โกลบูลิน ไตรกลีเซอไรด์ และกลูโคสความเข้มข้นต่างๆ..... | 48   |
| 9 ความสัมพันธ์ระหว่างระดับความชุ่นของพลาสมากับระดับอัลบูมิน โกลบูลิน โปรตีน ไตรกลีเซอไรด์ และกลูโคส.....  | 51   |
| 10 ความสัมพันธ์ระหว่างความชุ่นของพลาสมาของตัวอย่างตรวจกับผลการตรวจหมูโลหิตด้วยเครื่อง Qwalys 3 ที่รายงานผลไม่ได้.....   | 53   |
| 11 ความสัมพันธ์ระหว่างระดับอัลบูมิน โกลบูลิน โปรตีน ไตรกลีเซอไรด์ และกลูโคส กับผลการตรวจหมูโลหิตด้วยเครื่อง Qwalys 3 ที่รายงานผลไม่ได้.....   | 55   |
| 12 การประเมินความเป็นปัจจัยเสี่ยงของ เพศและอายุของผู้บริจาคโลหิต ความชุ่นของพลาสมาของตัวอย่างตรวจ และระดับสารเชิงเคมีต่อผลการตรวจหมูโลหิต ด้วยเครื่อง Qwalys 3.....   | 57   |

## สารบัญตาราง (ต่อ)

| ตาราง   | หน้า |
|---|------|
| 13 ปัจจัยเสี่ยงต่อการตรวจหมูโลหิตด้วยเครื่องตรวจหมูโลหิตอัตโนมัติ Qwalys 3<br>ที่ไม่สามารถรายงานผลได้.....  | 59   |
| 14 การประเมินความเป็นปัจจัยเสี่ยงของ เพศและอายุของผู้บริจากโลหิต ความชุน<br>ของพลาสมาของตัวอย่างตรวจ และระดับสารชีวเคมีต่อผลการตรวจหมูโลหิต<br>ด้วย Qwalys 3 โดยรายงานผลเป็น “X”..... | 60   |
| 15 ปัจจัยเสี่ยงต่อการตรวจหมูโลหิตด้วยเครื่องตรวจหมูโลหิตอัตโนมัติ Qwalys 3<br>ที่ไม่สามารถรายงานผลได้ โดยรายงานผลเป็น “X”.....  | 62   |
| 16 การประเมินความเป็นปัจจัยเสี่ยงของ เพศและอายุของผู้บริจากโลหิต ความชุน<br>ของตัวอย่างตรวจ และระดับสารชีวเคมีต่อผลการตรวจหมูโลหิตด้วย Qwalys 3<br>โดยรายงานผลเป็น “?”.....           | 63   |
| 17 ปัจจัยเสี่ยงต่อการตรวจหมูโลหิตด้วยเครื่องตรวจหมูโลหิตอัตโนมัติ Qwalys 3<br>ที่ไม่สามารถรายงานผลได้ โดยรายงานผลเป็น “?”.....  | 65   |
| 18 ความสัมพันธ์ระหว่างระดับความชุนของซีรัมกับระดับอัลบูมิน โกลบูลิน โปรตีน<br>“ไตรกลีเซอไรด์” และกลูโคส.....  | 66   |
| 19 ความสัมพันธ์ระหว่างความชุนของซีรัมของตัวอย่างตรวจกับผลการตรวจคัดกรอง<br>แอนติบอดีด้วยเครื่อง Ortho Autivue Innovaที่รายงานผลไม่ได้.....  | 68   |
| 20 ความสัมพันธ์ระหว่างผลการตรวจคัดกรองแอนติบอดีด้วยเครื่อง Ortho Autovue<br>Innova กับระดับอัลบูมิน โกลบูลิน โปรตีน ไตรกลีเซอไรด์ และกลูโคส.....                                      | 70   |
| 21 การประเมินความเป็นปัจจัยเสี่ยงของ เพศและอายุของผู้บริจากโลหิต ความชุน<br>ของซีรัม และระดับสารชีวเคมีต่อผลการตรวจคัดกรองแอนติบอดีด้วยเครื่อง<br>Ortho Autovue Innova.....           | 72   |
| 22 ปัจจัยเสี่ยงต่อการตรวจคัดกรองแอนติบอดีด้วยเครื่องตรวจ Ortho Autovue<br>Innova ที่ไม่สามารถรายงานผลได้.....   | 74   |

## สารบัญตาราง (ต่อ)

| ตาราง  | หน้า |
|--|------|
| 23 การประเมินความเป็นปัจจัยเสี่ยงของ เพศและอายุของผู้บริจากโลหิต ความชุน<br>ของซีรัม และระดับของสารชีวเคมีต่อผลการตรวจคัดกรองแอนติบอดีด้วย<br>เครื่อง Ortho Autovue Innova ที่รายงานผลเป็น “WLL” ..... | 75   |
| 24 ปัจจัยเสี่ยงต่อกำลังตรวจคัดกรองแอนติบอดีด้วยเครื่องตรวจ Ortho Autovue<br>Innova ที่ไม่สามารถรายงานผลได้ โดยรายงานผลเป็น “WLL” .....   | 77   |
| 25 การประเมินความเป็นปัจจัยเสี่ยงของ เพศและอายุของผู้บริจากโลหิต ความชุน<br>ของซีรัม และระดับสารชีวเคมีต่อผลการตรวจคัดกรองแอนติบอดีด้วยเครื่อง<br>Ortho Autovue Innova ที่รายงานผลเป็น “?” .....       | 78   |
| 26 ปัจจัยเสี่ยงต่อกำลังตรวจคัดกรองแอนติบอดีด้วยเครื่องตรวจ Ortho Autovue<br>Innova ที่ไม่สามารถรายงานผลได้ โดยรายงานผลเป็น “?” .....   | 81   |

## สารบัญภาพ

| ภาพ  | หน้า |
|--|------|
| 1 แผนภาพตัวอย่างซีรัมชั้นระดับต่างๆ โดย 0 หมายถึงไม่ชุน ส่วน 1+, 2+, 3+ และ 4+ มีค่าการดูดกลืนแสงที่ความยาวคลื่น 660 นาโนเมตรเท่ากับ 0.4, 0.8, 1.0 และ 1.2 ตามลำดับ.....   | 6    |
| 2 การดูดกลืนแสงที่ความยาวคลื่นต่างๆ โดยความยาวคลื่นที่ 660 และ 700 นาโนเมตรไม่เสาร์ไดมาร์กวนค่าการดูดกลืนแสงจากความชุน.....  | 7    |
| 3 ปฏิกริยาการตรวจหมูโลหิตขันตอน direct grouping ด้วยเครื่องตรวจวิเคราะห์หมูโลหิตอัตโนมัติ Qwalys 3.....  | 18   |
| 4 ปฏิกริยาการจับกันระหว่างแอนติเจนและแอนติบอดี้ใน ABDLys plate.....  | 18   |
| 5 ABDLys plate เมื่อชำนาญากว่าที่เห็นแม่เหล็ก.....   | 19   |
| 6 ปฏิกริยา positive และ negative ใน ABDLys plate.....  | 19   |
| 7 ABDLys plate ที่ถ่ายโดยเครื่องตรวจวิเคราะห์หมูโลหิตอัตโนมัติ Qwalys 3.....   | 20   |
| 8 cassette ที่ใช้ตรวจคัดกรองแอนติบอดี้โดยเครื่องตรวจคัดกรองแอนติบอดี้ อัตโนมัติ Ortho Autovue Innova.....  | 22   |
| 9 การรายงานผลปฏิกริยาที่อ่านโดยเครื่องตรวจคัดกรองแอนติบอดี้อัตโนมัติ Ortho Autovue Innova.....   | 22   |
| 10 แผนภาพ B สำหรับประเมินระดับความชุนที่สร้างขึ้นด้วยโปรแกรม powerpoint.....   | 31   |
| 11 ขั้นตอนดำเนินการวิจัยการศึกษาผลกระทบของตัวอย่างส่งตรวจชุนต่อการตรวจหมูโลหิตและคัดกรองแอนติบอดี้ในโลหิตผู้บริจาค.....  | 33   |
| 12 ขั้นตอนดำเนินการวิจัยการศึกษาหาระดับไตรกลีเซอไรด์ กลูโคส อัลบูมิน และโกลบูลินในตัวอย่างส่งตรวจที่มีผลต่อการตรวจหมูโลหิต.....  | 35   |
| 13 ขั้นตอนดำเนินการวิจัยการศึกษาหาระดับไตรกลีเซอไรด์ กลูโคส อัลบูมิน และโกลบูลินในตัวอย่างส่งตรวจที่มีผลต่อการตรวจคัดกรองแอนติบอดี้.....   | 37   |
| 14 ขั้นตอนดำเนินการวิจัยการศึกษาปัจจัยเสี่ยงของระดับความชุน ไตรกลีเซอไรด์ กลูโคส อัลบูมิน โกลบูลิน และโปรตีนรวมในตัวอย่างส่งตรวจที่มีผลต่อการตรวจหมูโลหิตด้วยเครื่องอัตโนมัติ Qwalys 3 และการตรวจคัดกรองแอนติบอดี้ ด้วยอัตโนมัติ Ortho Autovue Innova..... | 39   |

## สารบัญภาพ

| ภาพ  | หน้า |
|--|------|
| 15 การประเมินความชุ่นด้วยแผนภาพ A และ B ในตัวอย่างที่มีระดับความชุ่นต่างกันในการประเมินด้วยแผนภาพ A (ตัวอย่างที่ 1 ความชุ่นเป็น 0, ตัวอย่างที่ 2 ความชุ่นเป็น 4+) แต่สามารถมองเห็นที่เส้นระดับเดียวกันใน การประเมินด้วยแผนภาพ B (ความชุ่นของตัวอย่างที่ 1 และ 2 เป็น 0)... | 85   |
| 16 การตรวจหมูโลหิตด้วยเครื่องตรวจวิเคราะห์หมูโลหิตอัตโนมัติ Qwalys 3 ในตัวอย่างที่มีความเข้มข้นของ Glucose 1,000 mg/dl (ตำแหน่ง A หมายเลข 1-6).....  | 86   |
| 17 การตรวจหมูโลหิตด้วยเครื่องตรวจวิเคราะห์หมูโลหิตอัตโนมัติ Qwalys 3 ในตัวอย่างที่เติม intralipid <sup>®</sup> (ตำแหน่ง C ถึง H หมายเลข 11-12).....  | 88   |
| 18 ส่วนประกอบโลหิตชนิด fresh frozen plasma นำมารีเก็บหาระดับไตรากลีเชียร์ที่ส่งผลกระทบต่อการตรวจด้วยเครื่องอัตโนมัติที่ใช้เทคนิคการอ่านผลด้วยภาพ.....  | 88   |
| 19 การตรวจหมูโลหิตด้วยเครื่องตรวจวิเคราะห์หมูโลหิตอัตโนมัติ Qwalys 3 ในตัวอย่างที่มีลักษณะสีขาว ชุ่น ข้ามคล้ายนม (ตำแหน่ง A ถึง E หมายเลข 7-12).....   | 89   |
| 20 การตรวจคัดกรองแอนติบอดีด้วยเครื่องตรวจคัดกรองแอนติบอดี Ortho Autovue Innova ในตัวอย่างชุ่น (หลุมที่ 3-4).....   | 93   |

## ຂໍ້ມູນຫຼັກສົດ

|           |   |                                     |
|-----------|---|-------------------------------------|
| ACAT      | = | acetyl-coenzyme A acetyltransferase |
| Apo A-I   | = | apolipoprotein AI                   |
| Apo A-II  | = | apolipoprotein AII                  |
| Apo B-48  | = | apolipoprotein B-48                 |
| Apo B-100 | = | apolipoprotein B-100                |
| Apo C     | = | apolipoprotein C                    |
| Apo C-II  | = | apolipoprotein CII                  |
| Apo E     | = | apolipoprotein E                    |
| BUB       | = | bubble                              |
| CAT       | = | column agglutination technique      |
| CCK       | = | cholecystokinin                     |
| CEPT      | = | cholesteryl ester transfer protein  |
| CPD       | = | citrate phosphate dextrose          |
| E.M.      | = | electro magnetic                    |
| EW        | = | empty well                          |
| FB        | = | fibrin                              |
| FC        | = | few cell                            |
| FFA       | = | free fatty acid                     |
| g/dl      | = | gram per deciliter                  |
| HDL       | = | high density lipoprotein            |
| HEM       | = | hemolysis                           |
| IAT       | = | indirect antiglobulin test          |
| IDL       | = | intermediate-density lipoprotein    |
| IPS       | = | image processing software           |
| LCAT      | = | cholesterol acyltransferase         |
| LDL       | = | low density lipoprotein             |
| LTH       | = | light too high                      |

## ອັກສອນຢ່ອ (ຕ້ອ)

|       |   |  |
|-------|---|--|
| LTL   | = | light too low                            |
| MF    | = | mix field                                |
| mg/dl | = | milligram per deciliter                  |
| MTP   | = | microsomal triglyceride transfer protein |
| 2-MAG | = | 2-monoacylglycerol                       |
| NAT   | = | nucleic acid amplification technology    |
| OD    | = | optical density                          |
| OR    | = | odds ratio                               |
| p     | = | p value                                  |
| r     | = | correlation coefficient                  |
| TMC   | = | too many cells                           |
| TBG   | = | thyroxine – binding protein              |
| VLDL  | = | very low density lipoprotein             |
| vs    | = | versus                                   |
| WLL   | = | wrong liquid level                       |
| WNF   | = | well not found                           |
| ?     | = | indeterminate reaction                   |

## บทที่ 1

### บทนำ

#### ความเป็นมาของปัญหา

เป็นที่ทราบกันดีว่าการวินิจฉัยโรคและติดตามการรักษาจำเป็นต้องอาศัยผลการตรวจทางห้องปฏิบัติการที่ถูกต้องและแม่นยำซึ่งส่งผลให้ผู้ป่วยได้รับการรักษาที่เหมาะสม ในทางตรงกันข้ามผลตรวจวิเคราะห์ที่ผิดพลาดจะทำให้ผู้ป่วยได้รับการรักษาที่ไม่ตรงกับโรคและเป็นอันตรายถึงชีวิตได้เช่นกัน ดังนั้นห้องปฏิบัติการจึงจำเป็นต้องมีการควบคุมคุณภาพทุกขั้นตอน ทั้งกระบวนการ ก่อนการตรวจวิเคราะห์ กระบวนการวิเคราะห์ และกระบวนการหลังการวิเคราะห์ โดยกระบวนการวิเคราะห์นั้นแต่ละห้องปฏิบัติการได้มีการนำสารควบคุมคุณภาพทั้งภายในและภายนอกมาทดสอบ เพื่อติดตามความถูกต้องของผลตรวจ แต่กระบวนการก่อนและหลังการวิเคราะห์นั้นไม่สามารถทราบได้จากการทดสอบสารควบคุมคุณภาพ และพบว่าส่งผลต่อความผิดพลาดของผลตรวจมากกว่าร้อยละ 70 (1) ความผิดพลาดที่เกิดจากกระบวนการก่อนการวิเคราะห์ เช่น การเก็บตัวอย่างผิดคน ผู้ป่วยเตรียมตัวไม่ถูกต้อง การเก็บและขนส่งตัวอย่างไม่ถูกตามหลักห่วงโซ่ความเย็น ปริมาณตัวอย่างไม่เพียงพอ ใส่สารกันเลือดแข็งผิดประเภท เก็บตัวอย่างในเวลาที่ไม่เหมาะสม ตัวอย่างมีสารที่รบกวนการตรวจ เช่น บิลิูบิน ชีโมโกลบิน ไขมัน โปรตีน เป็นต้น (2-5) ปัจจุบันห้องปฏิบัติการทางการแพทย์ได้มีการนำเครื่องตรวจวิเคราะห์อัตโนมัติมาใช้ในห้องปฏิบัติการจำนวนมาก ส่งผลให้การตรวจมีประสิทธิภาพมากยิ่งขึ้นแต่ปัญหาตัวอย่างที่มีสารรบกวนยังคงส่งผลต่อการตรวจได้ โดยพบทั้งรูปแบบการเพิ่มขึ้นและลดลงของค่าการตรวจวิเคราะห์ (6)

สารรบกวนการตรวจทางห้องปฏิบัติการที่พบในพลาสม่าและซีรัมมีสาเหตุจากหลายประการ ได้แก่ 1) การแตกของเม็ดเลือดแดงทำให้สารในเม็ดเลือดแดงรวมถึงชีโมโกลบินออกมานปนในพลาสม่าและซีรัม 2) พลาสม่าและซีรัมสีเหลืองมากกว่าปกติจากการมีปริมาณบิลิูบินสูง 3) พลาสม่าและซีรัมมีความซุ่น ในตัวอย่างส่งตรวจทางห้องปฏิบัติการพบมีความซุ่นร้อยละ 0.5-2.5 (7) ด้านงานบริการโลหิตทั่วโลกพบโลหิตมีความซุ่นร้อยละ 0.2-0.3 (8, 9) การศึกษาในประเทศไทยเนื้อร่องและประเทศาแลนด์และประเทศไทยเดียวกับร้อยละ 0.3-0.4 (9) และ 0.6 (10) ตามลำดับ ซึ่งพลาสม่าและซีรัมที่มีความซุ่นจากไขมันสามารถรบกวนผลการตรวจวิเคราะห์ทางห้องปฏิบัติการได้หลายสาเหตุ เช่น ด้านภูมิคุ้มกันวิทยา ความซุ่นยับยั้งปฏิกิริยาในการจับกันระหว่างเอนติเจนกับเอนติบอดี (6, 7) รบกวนการตรวจที่ใช้หลักการดูดกลืนแสงที่ความยาวคลื่น 300-700 นาโนเมตร

เนื่องจากในพลาสม่าและชีรัมมีอนุภาคขนาดใหญ่ของสารทำให้ระบบค่าการตูดกลืนแสง ระบบจาก การไม่เป็นเนื้อเดียวกันของตัวอย่างส่งตรวจทำให้ปริมาณของตัวอย่างเพื่อนำไปตรวจวิเคราะห์ “ไม่ได้มาตรฐาน อาจมีผลทำให้ได้ค่าการตรวจวิเคราะห์ที่ต่ำกว่าความเป็นจริงและระบบจาก ตัวอย่างส่งตรวจที่มีปริมาณไขมันสูง ซึ่งปกติพลาสม่าประกอบด้วยส่วนที่เป็นน้ำร้อยละ 92 และ ส่วนที่เป็นไขมันร้อยละ 8 ในพลาสมารีอูชีรัมที่มีความชุนอาจมีส่วนประกอบของไขมันมากกว่า ร้อยละ 25 ทำให้เมื่อดูดตัวอย่างสำหรับตรวจวิเคราะห์อาจไม่ได้ส่วนที่เป็นพลาสมารีอูชีรัมที่ แท้จริงเนื่องจากมีส่วนประกอบของไขมันเป็นอยู่ในสัดส่วนที่สูง (7)

ศูนย์บริการโลหิตแห่งชาติ สภากาชาดไทย ให้บริการตรวจทางห้องปฏิบัติการเพื่อ คัดกรองโลหิตบริจาคที่ดีให้และจากที่โรงพยาบาลต่างๆ ในกรุงเทพและปริมณฑลสั่งมาตรวจ โดยมีห้องปฏิบัติการของภาคบริการโลหิตแห่งชาติ 12 แห่งเป็นสาขาให้บริการแก่โรงพยาบาลใน ภูมิภาคเพื่อให้โลหิตมีความปลอดภัยก่อนนำไปให้ผู้ป่วย ตามนโยบายงานบริการโลหิตแห่งชาติ พ.ศ. 2553 เป้าประสงค์นโยบายที่ 3 ซึ่งกล่าวว่า “ผู้ป่วยได้รับโลหิตที่ปลอดภัย ตามหลักการของ องค์การอนามัยโลก โดยเริ่มจากการจัดหาโลหิตในประชากรที่มีความเสี่ยงต่ำ การคัดกรองผู้ บริจาคโลหิตและโลหิตทุกยูนิตต้องผ่านการตรวจหมูโลหิตและตรวจกรองแอนติบอดีตต่อเอนติเจน บนเม็ดเลือดแดง ตรวจคัดกรองการติดเชื้อที่ถ่ายทอดทางโลหิต ได้แก่ ตรวจร่องรอยการติดเชื้อของ โรคซิฟิลิส ไวรัสตับอักเสบบี ไวรัสตับอักเสบซี และเชื้อเชิร์โวีด้วยเทคโนโลยีทางน้ำเหลืองวิทยา (serology) ตรวจคัดกรองการติดเชื้อที่ถ่ายทอดทางโลหิตด้วยวิธีชีววิทยาระดับโมเลกุล เช่น nucleic acid amplification technology (NAT)” (11)

จากข้อมูลของงานห้องปฏิบัติการภาคบริการโลหิตแห่งชาติที่ 8 จังหวัดนครสวรรค์ ระหว่างเดือนตุลาคม พ.ศ. 2559 ถึงเดือนกันยายน พ.ศ. 2560 มีจำนวนตัวอย่างส่งตรวจ 72,631 ราย มีตัวอย่างที่ถูกปฏิเสธจำนวน 220 ราย คิดเป็นร้อยละ 1.30 ซึ่งสาเหตุหลักมาจากการตัวอย่างมีความชุน จำนวน 159 ราย คิดเป็นร้อยละ 72.27 ของจำนวนตัวอย่างที่ปฏิเสธทั้งหมด การประเมินระดับ ความชุนในตัวอย่างส่งตรวจด้วยตาเปล่าเมื่อนำมาตรวจนิวเคลียร์หมูโลหิตด้วยเครื่องตรวจอัตโนมัติ Qwaly 3 (บริษัท Diagast, ประเทศไทย) และเครื่องตรวจคัดกรองแอนติบอดีอัตโนมัติ Ortho AutoVue Innova (บริษัทจอห์นสัน แอนด์ จอห์นสัน, ประเทศไทย) พบรการบนกรณผลตรวจทำให้ “ไม่สามารถสรุปผลได้” จากการเก็บข้อมูลระหว่างวันที่ 1-31 สิงหาคม พ.ศ. 2560 มีตัวอย่างส่งตรวจ 6,298 ราย พบร์ตัวอย่างชุนที่ผ่านการประเมินโดยตาแล้วแต่ระบบการเกิดปฏิกิริยาในการตรวจ หมูโลหิตด้วยเครื่อง Qwaly 3 จำนวน 8 ราย คิดเป็นร้อยละ 0.13 และระบบการเกิดปฏิกิริยา

ในการตรวจคัดกรองแอนติบอดีด้วยเครื่อง Ortho Autovue Innova จำนวน 12 ราย คิดเป็นร้อยละ 0.20 โดยพบว่าตัวอย่างบางรายที่มีระดับความซุ่มมากเครื่องตรวจวินิจฉัยสามารถตรวจได้แต่ในรายที่มีความซุ่มในระดับที่น้อยกว่ากลับไม่สามารถตรวจได้ จึงจำเป็นต้องศึกษาปัจจัยที่อาจเป็นสาเหตุทำให้กระบวนการตรวจรวมถึงผลของระดับความซุ่มของพลาสมาและชีวัมต่อการตรวจคัดกรองหมูโลหิตด้วยเครื่องอัตโนมัติ Qwalys 3 และการตรวจคัดกรองแอนติบอดีด้วยเครื่องอัตโนมัติ Ortho Autovue Innova เพื่อที่จะทราบตัวอย่างที่เหมาะสมในการตรวจด้วยเครื่องดังกล่าว รวมถึงระดับความซุ่มของตัวอย่างตรวจซึ่งจะนำมาใช้เป็นเกณฑ์จำแนกระดับความซุ่มได้ถูกต้อง สามารถลดอัตราการปฏิเสธตัวอย่างโดยไม่จำเป็น ลดผลลบปลอมที่อาจเกิดจากสารรบกวนทำให้ผู้ป่วยได้รับโลหิตที่มีความปลอดภัยสูงสุด

#### จุดมุ่งหมายของการศึกษา

- เพื่อศึกษาผลกระบวนการของตัวอย่างซุ่นและระดับสารซีวิคเมื่อในตัวอย่างต่อการตรวจหมูโลหิตด้วยเครื่องอัตโนมัติ Qwalys 3 และการตรวจคัดกรองแอนติบอดีด้วยเครื่องอัตโนมัติ Ortho Autovue Innova
- เพื่อศึกษาปัจจัยเสี่ยงของระดับไตรกลีเซอไรด์ กوليโคสและโปรตีนในตัวอย่างส่งตรวจที่มีผลต่อการตรวจหมูโลหิตด้วยเครื่องอัตโนมัติ Qwalys 3 และการตรวจคัดกรองแอนติบอดีด้วยเครื่องอัตโนมัติ Ortho Autovue Innova

#### ขอบเขตของงานวิจัย

ศึกษาในตัวอย่างโลหิตที่เหลือจากการตรวจคัดกรองคุณภาพโลหิตประจำวันของภาคบริการโลหิตแห่งชาติที่ 8 จังหวัดนครสวรรค์ การประเมินความซุ่มทำโดย 3 วิธี ได้แก่ 1) เปรียบเทียบระดับความซุ่มกับแผนภาพจากคู่มือการเก็บและนำส่งตรวจ ศูนย์บริการเทคนิคการแพทย์คลินิก คณะเทคนิคการแพทย์ มหาวิทยาลัยเชียงใหม่ 2) เปรียบเทียบกับแผนภาพประเมินระดับความซุ่มที่สร้างขึ้น และ 3) วัดค่าการดูดกลืนแสงด้วยเครื่องสเปกโตรโฟโตมิเตอร์ที่ความยาวคลื่น 660 นาโนเมตร ตรวจวัดระดับไตรกลีเซอไรด์ กوليโคส และโปรตีน ในตัวอย่างซึ่งรับด้วยเครื่องตรวจวินิจฉัยอัตโนมัติเคมีคลินิก Mindray (บริษัท Mindray Medical International Limited, ประเทศจีน) โดยทำการส่งตรวจที่เทคนิคการแพทย์เล็บ สำนักเมือง จังหวัดนครสวรรค์ ทำการศึกษาผลกระบวนการของระดับความซุ่น ไตรกลีเซอไรด์ กوليโคสและโปรตีนในตัวอย่างส่งตรวจต่อการตรวจคัดกรองหมูโลหิตด้วยเครื่องอัตโนมัติ Qwalys 3 และตรวจคัดกรองแอนติบอดีด้วยเครื่องอัตโนมัติ Ortho Autovue Innova และภาคบริการโลหิตแห่งชาติที่ 8 จังหวัดนครสวรรค์

## ข้อตกลงเบื้องต้น

ตัวอย่างที่นำมาศึกษาเป็นโลหิตที่เหลือจากการตรวจคัดกรองคุณภาพโลหิตประจำวันของภาคบริการโลหิตแห่งชาติที่ 8 จังหวัดนครสวรรค์ โลหิตที่สูญได้ถ้ามีลักษณะไม่พึงประสงค์อื่นๆ เช่น มีสีเขียว มีการแตกช่องเม็ดเลือดแดงจะไม่ถูกนำเข้ามาศึกษาในงานวิจัยนี้

การประเมินระดับความชุ่นโดยดูด้วยตาเปล่าเบรียบเทียบระดับความชุ่นกับแผนภาพจากคู่มือการเก็บและนำสิ่งส่งตรวจ ศูนย์บริการเทคโนโลยีการแพทย์คลินิก คณะเทคโนโลยีการแพทย์ มหาวิทยาลัยเชียงใหม่ และแผนภาพประเมินระดับความชุ่นที่สร้างขึ้นซึ่งเป็นการประเมินโดยบุคคลเดียวกันในทุกตัวอย่างที่ประเมินความชุ่น

การวัดระดับความชุ่น การตรวจหาระดับไตรกลีเซอไรด์ กรดโคสและโปรตีน การศึกษาผลกรະทะบท่อของการตรวจหมูโลหิตด้วยเครื่องตรวจวิเคราะห์อัตโนมัติ Qwaly 3 และการตรวจคัดกรองเอนติบอดีตัวยเดรี่ของตรวจวิเคราะห์อัตโนมัติ Ortho Autovue Innova ดำเนินการตรวจภายในวันที่เก็บตัวอย่างซึ่งมีการควบคุมการขนส่งตัวอย่างถูกต้องตามระบบห่วงโซ่ความเย็น

## นิยามศัพท์เฉพาะ

พลาスマและซีรัมชุ่น หมายถึง พลาスマและซีรัมที่มีลักษณะขาวชุ่นคล้ายนม (12)

สารรับภาระทดสอบ หมายถึง สารที่มีผลทำให้ค่าการตรวจวิเคราะห์ผิดเชิงระบบจากค่าที่ถูกต้อง โดยสารนั้นมาจากส่วนประกอบในพลาasmaและซีรัม ซึ่งมีได้เป็นความผิดพลาดจากกระบวนการตรวจวิเคราะห์ (13)

## สมมติฐานของการวิจัย

ความชุ่นของตัวอย่างส่งตรวจ และระดับไตรกลีเซอไรด์ กรดโคสและโปรตีนมีผลกระทบต่อการตรวจคัดกรองหมูโลหิตและการตรวจคัดกรองเอนติบอดีตัวยเดรี่ของตรวจวิเคราะห์อัตโนมัติ Qwaly 3 และเครื่อง Ortho Autovue Innova ตามลำดับ

## บทที่ 2

### เอกสารและงานวิจัยที่เกี่ยวข้อง

#### พลาสมามะชูน

##### สาเหตุที่ทำให้พลาสมามะชูน (7, 14, 15)

1. เจ้าเลือดหลังจากวันประทานอาหาร จากการศึกษาพบว่าระยะเวลาที่เหมาะสมใน การเจาะเก็บตัวอย่างโลหิตหลังจากการรับประทานอาหารแตกต่างไปในการศึกษาประชากรแต่ละ ประเทศ เช่น ประเทศไทย 8 ชั่วโมง ประเทศไทย 10-16 ชั่วโมง

2. ความผิดปกติในการเผาผลาญไขมัน เช่น lipoprotein lipase deficiency, apolipoprotein C2 deficiency, apolipoprotein A5 deficiency เป็นต้น

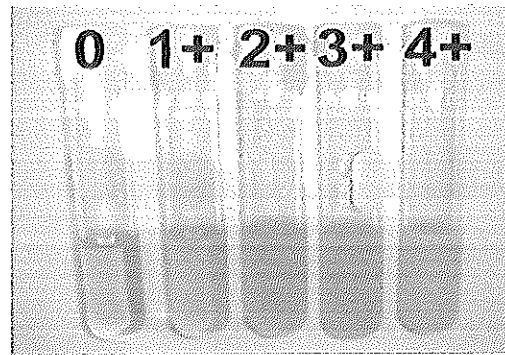
3. การต้มแคลกอ้อยออล์

4. โรคเบาหวาน

5. โรค อี น ๆ เช่น metabolic syndrome, nephrotic syndrome, systemic lupus erythematosus, paraproteinaemia, chronic kidney disease, hypothyroidism, การได้รับยา บางชนิด เช่น acitretin, glucocorticoids, estrogens เป็นต้น

#### การวัดระดับความชูน

การวัดระดับความชูนโดยทั่วไปเป็นการประเมินด้วยตาโดยใช้ประสบการณ์และ เปรียบเทียบแผนภาพแสดงตัวอย่างชูนระดับต่างๆ เช่น แผนภาพจากคู่มือการเก็บและนำสิ่งสังเคราะห์ สูนย์บริการเทคนิคการแพทย์คลินิก คณะเทคนิคการแพทย์ มหาวิทยาลัยเชียงใหม่ (ภาพ 1) ส่วนกึ่ง ที่ดีที่สุดในการวัดระดับความชูน คือการนำตัวอย่างมาตรวจวัดค่าการดูดกลืนแสงด้วยเครื่อง สเปกโทรโฟโตมิเตอร์ที่ความยาวคลื่น 660 นาโนเมตร จากแผนภาพ 1 ได้แบ่งความชูนเป็น 5 ระดับ ดังนี้ “0” หมายถึงไม่มีชูน ส่วน “1+, 2+, 3+, และ 4+” หมายถึงมีค่าการดูดกลืนแสงเป็น 0.4, 0.8, 1.0 และ 1.2 ตามลำดับ (16)



ภาพ 1 แผนภาพตัวอย่างชีรัมขุ่นระดับต่างๆ โดย 0 หมายถึงไม่ขุ่น ส่วน 1+, 2+, 3+ และ 4+ มีค่าการดูดกลืนแสงที่ความยาวคลื่น 660 นาโนเมตรเท่ากับ 0.4, 0.8, 1.0 และ 1.2 ตามลำดับ

**ที่มา:** คู่มือการเก็บและนำส่งสิ่งสังส์\Plugin ศูนย์บริการเทคนิคการแพทย์คลินิก คณะเทคนิคการแพทย์ มหาวิทยาลัยเชียงใหม่

สเปกโตรโฟโตมิเตอร์ เป็นการวัดปริมาณสารในสารละลายโดยใช้หลักการสารที่วัด มีความสามารถในการดูดกลืนแสงซึ่งความยาวคลื่นแตกต่างกัน คุณสมบัติในการดูดกลืนแสงของสาร เมื่อแสงเคลื่อนที่ผ่านสารละลายโมเลกุลของสารจะดูดกลืนแสง เมื่อทำการวัดปริมาณของแสงที่คงเหลือเปรียบเทียบกับปริมาณแสงตั้งต้นตามกฎของ Beer-Lambert ค่าการดูดกลืนแสง (absorbance) ของสารจะแปรผันกับจำนวนโมเลกุลที่มีการดูดกลืนแสง ดังนั้นจึงสามารถใช้ เทคนิคนี้ในระบุนิคและปริมาณของสารต่างๆ ที่มีอยู่ในตัวอย่างได้ (17)

#### ส่วนประกอบของเครื่องสเปกโตรโฟโตมิเตอร์

1. แหล่งกำเนิดแสง ในเครื่องสเปกโตรโฟโตมิเตอร์จะต้องให้แสงในช่วงความยาวคลื่นที่ต้องการอย่างต่อเนื่องและคงที่ตลอดเวลา รวมทั้งมีความเข้มแสงที่มากพอซึ่งต้องเลือกใช้ให้ถูกต้องเหมาะสมกับสารที่นำมาวัดค่าดูดกลืนแสง เช่น แหล่งกำเนิดแสงช่วง UV ใช้หลอด H<sub>2</sub> and D<sub>2</sub> lamp ให้ความยาวคลื่นอยู่ในช่วง 160-380 นาโนเมตร เป็นต้น

2. Monochromator เป็นส่วนที่ใช้ควบคุมแสงโดยทำให้แสงที่ออกมาจากต้นกำเนิดแสง เป็นแสงโมโนโครเมติก ซึ่งเป็นแสงเดียวแคบๆ หรือมีความยาวคลื่นค่าเดียว

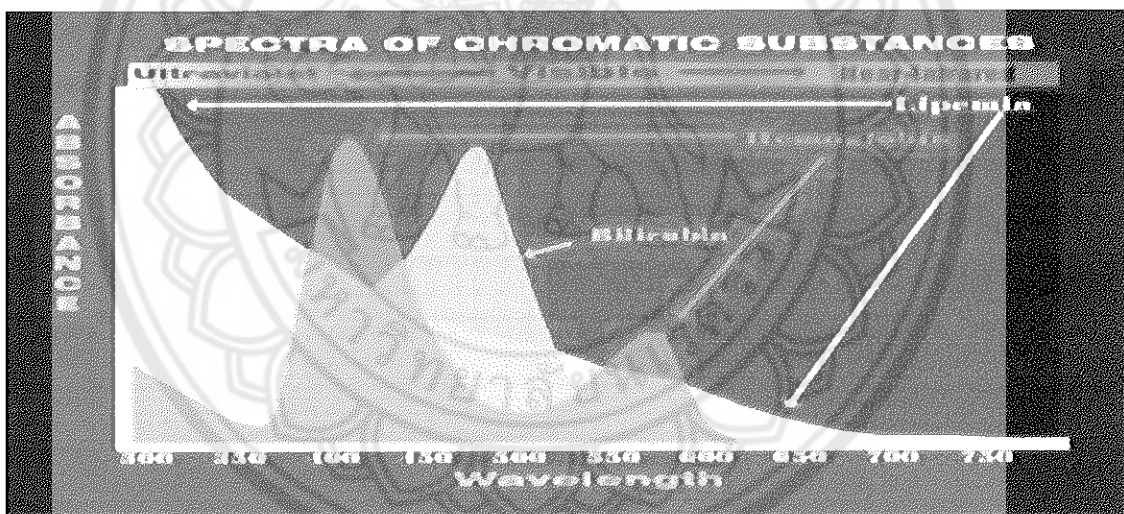
3. เซลล์ที่ใช้บรรจุสารละลายตัวอย่าง (cell sample) อาจเรียกว่า คิวเวท์ (cuvettes) รูปแบบที่ใช้กันทั่วไป ได้แก่ เซลล์ที่ทำด้วยแก้วธรรมชาติ ซิลิ喀 และควอตซ์ (quartz)

4. Detector ทำหน้าที่ในการวัดความเข้มของแสงที่ผ่านการดูดกลืนโดยการแปลง พลังงานแสงเป็นพลังงานไฟฟ้า เครื่องตรวจจับสัญญาณที่ต้องมีความไวสูง แม้ปริมาณแสง

จะเปลี่ยนไปเล็กน้อย ก็สามารถตรวจจับสัญญาณความแตกต่างได้ เครื่องวัดแสงที่ยังนิยมกันอยู่ในปัจจุบัน คือ หลอดไฟโตร์มัลติพลาเยอร์ (photomultiplier tube, PMT) และเครื่องวัดแสงชนิดซิลิกอนไดโอด (silicon diode detector)

การพัฒนาการวัดระดับความชุ่นโดยเครื่องวิเคราะห์อัตโนมัติ (18, 19)

ปัจจุบันมีการพัฒนาการวัดระดับความชุ่นโดยนำเครื่องวิเคราะห์อัตโนมัติมาวัดระดับความชุ่นในพลาสม่าและชีรัม เช่น เครื่อง Roche Cobas 6800 assays, Immulite 2500 instrument, Vistra 1500 system, Modular DPE system และ Transasia XL-640 เป็นการวัดโดยใช้หลักการดูดกลืนแสงของตัวอย่างส่งตรวจซึ่งเจือจากด้วยสารละลาย 0.9% sodium chloride น้ำกําลั่นหรือน้ำเพอร์ต่างๆ เพื่อป้องกันการตกตะกอนของพาราไบร์ิน และนำมารวัดที่ความยาวคลื่น 660 และ 700 นาโนเมตร ซึ่งเป็นความยาวคลื่นที่ไม่มีสารไดมารบกวนค่าการดูดกลืนแสง โดยความชุ่นจะถูกแบ่งระดับเรียกว่าดัชนีความชุ่น (lipemic index) โดยแบ่งเป็น L-, L+, L++, L+++, และ L++++



ภาพ 2 การดูดกลืนแสงที่ความยาวคลื่นต่างๆ โดยความยาวคลื่นที่ 660 และ 700 นาโนเมตรไม่มีสารไดมารบกวนค่าการดูดกลืนแสงจากความชุ่น

ที่มา: <https://irlabsystems.com/the-ir-revolution>

## ไขมันและกระบวนการเผาผลาญ (20, 21)

ไขมันเป็นสารชีวโมเลกุลประกอบด้วยธาตุที่สำคัญ 3 ชนิดคือ คาร์บอน ไฮโดรเจนและออกซิเจน เป็นแหล่งพลังงานสำรองของร่างกายของจากคาร์บอโนไฮเดรต มีคุณสมบัติไม่ละลายน้ำแต่ละลายได้ดีในตัวทำละลายอินทรีย์ เช่น คลอโรฟอร์ม อีเทอร์ เป็นต้น

### หน้าที่ของไขมันที่สำคัญในร่างกาย

1. ไขมันเป็นสาหรับที่ร่างกายเก็บสะสมไว้เป็นพลังงานสำรองในรูปของไตรกลีเซอไรต์
2. เป็นองค์ประกอบของเยื่อหุ้มเซลล์ เนื้อเยื่อสมองและประสาท เช่น สพิงโกลิบิต
3. เป็นฮอร์โมนที่สำคัญของร่างกาย เช่น พروสทาแแกนดิน (prostaglandin) สเตอรอยด์ (steroid) เป็นต้น

4. เป็นวิตามินที่ละลายในไขมัน ได้แก่ วิตามินเอ ดี อี และเค

### การย่อยและดูดซึมไขมันในระบบทางเดินอาหาร

อาหารประเภทไขมันเมื่อเข้าสู่กระเพาะอาหารจะยังไม่ถูกย่อยเนื่องจากระดับ pH ที่เหมาะสมสำหรับการทำงานของเอนไซม์ 4-6 แต่ในกระเพาะอาหารมีระดับ pH 1-2 เมื่อไขมันผ่านเข้าสู่ลำไส้แล้วส่วนใหญ่จะกระตุ้นให้มีการหลั่งฮอร์โมน 2 ชนิดคือ cholecystokinin (pancreozynin) และ secretin โดย cholecystokinin ช่วยกระตุ้นให้ตับอ่อนหลั่งเอนไซม์ pancreatic lipase, cholesterol esterase และ phospholipase A2 นอกจากนี้ยังกระตุ้นให้ถุงน้ำดีปล่อยน้ำดีออกมาน้ำดีประกอบด้วยกรดน้ำดี (bile acids) และเกลือของกรดน้ำดี (bile salt) ช่วยในการกระจายตัวของไขมัน เนื่องจากไขมันมีคุณสมบัติไม่ละลายน้ำ ในขณะที่เอนไซม์ที่ใช้ย่อยจะละลายน้ำได้ดี จึงต้องมีการเพิ่มพนักที่ผิวน้ำว่างชั้นไขมันกับน้ำโดยน้ำดีให้เป็นอนุภาคเล็กๆ เรียกว่า emulsification และ secretin กระตุ้นการหลั่ง bicarbonate ทำให้ pH ในลำไส้แล้วเพิ่มมากขึ้นจึง帮忙กับการทำงานของเอนไซม์ ผลผลิตที่ได้จากการย่อยไขมัน ได้แก่ free fatty acid (FFA), free cholesterol และ 2-monoacylglycerol (2-MAG) เป็นสารละลายน้ำยาก ซึ่งบริเวณเยื่อหุ้มผนังลำไส้แล้วส่วนที่เรียกว่า unstirred water layer มีลักษณะการฟูงกระจายของไม่เลกน้ำอย่าง การซึมผ่านของไขมันที่ถูกย่อยแล้วต้องรวมตัวกันน้ำดีเรียกว่า "ไมเซลล์" (mixed micelles) จึงสามารถผ่านเข้าสู่เซลล์ผนังลำไส้แล้วได้ เมื่อดูดซึมเข้าสู่เซลล์ผนังลำไส้แล้วจะรวมตัวกันเป็น triglyceride, phosphoglyceride และ cholesteryl ester เพื่อส่งเข้าสู่กระแสโลหิตโดยอาศัย "ไลโปโปรตีนต่อไป"

### โคเลสเตอรอล (cholesterol)

โคเลสเตอรอลส่วนใหญ่มาจากการสังเคราะห์ที่ตับ มีส่วนน้อยที่ได้รับจากการรับประทานอาหาร โดยใช้ acetyl Co A ซึ่งได้มาจากกรดไขมัน ไตรกลีเซอไรด์ แบ่ง นำatal และกรดอะมิโน เป็นสารตั้งต้นในการสังเคราะห์ โคเลสเตอรอลในร่างกายส่วนใหญ่ในรูปของ cholesterol ester ส่วนน้อยอยู่ในรูปของ free cholesterol ทำหน้าที่เป็นส่วนหนึ่งของเยื่อหุ้มเซลล์ ไปประสานย้อมโนบานาซิน และเป็นสารตั้งต้นของกรดน้ำดี การขนส่งโคเลสเตอรอลจากตับไปทั่วร่างกายนั้น อาศัย low density lipoprotein (LDL) เพื่อให้ร่างกายนำไปใช้ประโยชน์ โคเลสเตอรอลส่วนเกินจะถูกเก็บไว้ตามเนื้อเยื่อ ผนังเส้นเลือดต่างๆ โดยมี high density lipoprotein (HDL) ทำหน้าที่ขนส่งโคเลสเตอรอลส่วนเกินกลับไปทำลายที่ตับและขับออกจากร่างกายผ่านทางน้ำดี

### ไตรกลีเซอไรด์ (triglyceride)

ไตรกลีเซอไรด์หรือไตรเอซิลกีเซอรอล (triacylglycerol) เป็นไขมันที่ประกอบด้วยกรดไขมัน 3 โมเลกุลรวมตัวกับกลีเซอรอล 1 โมเลกุล ไตรกลีเซอไรด์เป็นแหล่งเก็บพลังงานสำคัญของร่างกาย ส่วนใหญ่ได้มาจากการรับประทานอาหาร มีคุณสมบัติไม่ละลายน้ำ การขนส่งในกระแสเลือด จึงต้องอาศัยตัวกลางเพื่อให้สามารถละลายน้ำได้โดยจับกับ apoprotein, โคเลสเตอรอล และฟอสฟอเลิปิด (phospholipid) ได้สรุปประกอบเชิงชั้นที่เรียกว่าไลโปโปรตีน (lipoprotein)

### ไลโปโปรตีน

ประกอบด้วยไขมันและส่วนที่เป็นโปรตีน เรียกว่า apolipoprotein ทำหน้าที่ขนส่งไขมันไปยังกระแสโลหิตเพื่อไปเลี้ยงครัวบยังต่างๆ

- Chylomicron ถูกสร้างที่ลำไส้เล็ก มีขนาด 80-1,200 นาโนเมตร ความหนาแน่นน้อยกว่า 0.95 กรัมต่อเดซิลิตร มีส่วนประกอบเป็นไตรกลีเซอไรด์มากที่สุดร้อยละ 90 โคเลสเตอรอล ร้อยละ 5 ฟอสฟอเลิปิดร้อยละ 2 และโปรตีนร้อยละ 3 ที่สำคัญคือ apolipoprotein B-48 (apo B-48) ซึ่งได้รับ apolipoprotein C (apo C) และ apolipoprotein E (apo E) จาก HDL โดย apo B-48 มีหน้าที่ขนส่งไตรกลีเซอไรด์จากอาหาร โดยหลังจากไขมันถูกย่อยที่ลำไส้เล็กและดูดซึมเข้าสู่เซลล์เยื่อบุผนังลำไส้เล็กแล้ว ส่วนที่เป็น short-chain fatty acid จะเข้าสู่กระแสเลือดโดยตรงและถูกขนส่งไปตับโดยอัลบูมิน ส่วน long-chain fatty acid จะกลับไปเป็น triglyceride และรวมกับ phospholipid, cholesterol ester และ apo B-48 โดยการทำงานของ microsomal triglyceride transfer protein (MTP) รวมกันเป็น chylomicron เมื่อเข้าสู่กระแสเลือด chylomicron ได้รับ apo C และ apo E จาก HDL ซึ่ง apolipoprotein CII (apo CII) จะกระตุ้นการทำงานของเอนไซม์ lipoprotein lipase ทำหน้าที่ย่อย triglyceride จาก chylomicron ให้เป็นกรดไขมันอิสระเพื่อส่งเข้าสู่เซลล์กล้ามเนื้อต่อไป โดย chylomicron ที่ถูกนำ triglyceride ออกแล้วจะเรียกว่า chylomicron

remnant ซึ่งจะถูกทำลายที่ตับ เนื่องจาก chylomicron มีขนาดอนุภาคใหญ่ทำให้มีการสะท้อนของแสงจึงเป็นสาเหตุที่ทำให้พลาสม่าและซีรัมมีลักษณะขุ่นขาว ประกอบกับการที่มีความหนาแน่นต่ำเมื่อตั้งทิ้งไว้สามารถเห็นเป็นคริมที่ผิวนะพลาสม่าและซีรัมได้ระดับไฮโดรไมครอนจะสูงภายใน 3-4 ชั่วโมงภายหลังรับประทานอาหาร และจะหมดไปใน 12-14 ชั่วโมง

2. Very low density lipoprotein (VLDL) ถูกสร้างที่ตับ มีขนาด 30-80 นาโนเมตร ความหนาแน่น 0.95-1.006 กรัมต่อกิโลกรัม ประกอบด้วย ไตรกลีเซอไรด์ร้อยละ 60 โคเลสเทอรอลร้อยละ 20 ฟอสฟอไลปิดร้อยละ 15 และโปรตีนร้อยละ 5 ไอลูโปรตีนหลักคือ apolipoprotein B-100 (apo B-100) มีหน้าที่ขนส่งไตรกลีเซอไรด์ที่สร้างจากตับไปยังเนื้อเยื่อต่างๆ โดย triglyceride จะรวมตัวกับ phospholipid, cholesterol ester และ apo B-100 โดยการทำงานของ MTP รวมกันเป็น VLDL เมื่อเข้าสู่กระเพาะเลือด VLDL จะได้รับ apo C และ E จาก HDL ซึ่ง apo CII จะกระตุ้นการทำงานของเอนไซม์ lipoprotein lipase ทำหน้าที่ย่อย triglyceride จาก VLDL และมีการปล่อย apo C และ phospholipid กลับคืนให้ HDL ทำให้ VLDL มีขนาดเล็กลงเรียกว่า intermediate-density lipoprotein (IDL) ซึ่ง IDL บางส่วนจะถูกนำเข้าสู่ตับ ส่วนที่เหลือจะปล่อย apolipoprotein ออกทุกชนิด ยกเว้น apo B-100 ทำให้มีขนาดเล็กลงจนเป็น LDL ซึ่งมีสัดส่วนของ cholesterol สูงซึ่ง ซึ่ง LDL จะถูกนำเข้าสู่เซลล์ตับทาง LDL receptor โดย cholesterol จะถูก esterify เป็น cholesteryl ester ซึ่งจะถูกส่งเคราะห์เป็น bile acid และขับออกทางน้ำดี

3. Low density lipoprotein (LDL) ประกอบด้วยโคเลสเทอรอลร้อยละ 50 ฟอสฟอไลปิดร้อยละ 22 โปรตีนร้อยละ 20 ส่วนใหญ่เป็น apo B-100 และไตรกลีเซอไรด์ร้อยละ 5 ทำหน้าที่ขนส่งโคเลสเทอรอลไปสู่เนื้อเยื่อต่างๆ โดยจับกับตัวแหน่ง receptor ของ apo B-100 และบางส่วนของ apo E โดยเนื้อเยื่อส่วนของ plasma membrane มี LDL receptor เพื่อจับกับ LDL และถูกรวมเข้าไปในเซลล์ เมื่อเข้าไปในเซลล์ส่วนที่เป็น receptor จะแยกตัวออกมานี้叫做 esterification receptor บนผิวเซลล์ใหม่ ส่วนที่ล้อม LDL ไว้จะถูกย่อยด้วย lysosome acid hydrolase ทำให้ปล่อยโคเลสเทอรอล ฟอสฟอไลปิด ไตรกลีเซอไรด์และโปรตีนออกมานี้叫做 esterification ออกมานี้叫做 esterify โดยเอนไซม์ acyl-CoA (ACAT) เป็น cholesteryl ester

4. High density lipoprotein (HDL) ประกอบด้วยโปรตีนหลักคือ apo AI, apo AI, apo E และ apo C ร้อยละ 40 ฟอสฟอไลปิดร้อยละ 30 โคเลสเทอรอลร้อยละ 25 และไตรกลีเซอไรด์ร้อยละ 5 ตับและลำไส้จะสังเคราะห์ apo AI เมื่อรวมกับ phospholipid ที่ปล่อยออกมารากจาก VLDL ได้เป็น nascent HDL เมื่อเข้าสู่กระเพาะเลือดจะได้รับ cholesterol อย่างรวดเร็วซึ่งจะถูก esterify โดยเอนไซม์ lecithin: cholesterol acyltransferase (LCAT) เป็น cholesteryl ester ซึ่งจะย้ายเข้า

ไปอยู่ใน HDL เรียก HDL ระยะนี้ว่า HDL<sub>3</sub> ซึ่งจะส่ง cholestryl ester ให้กับ VLDL หรือ chylomicron remnant เพื่อแลกเปลี่ยนกับ triglyceride โดยอาศัยการทำงานของโปรตีน cholestryl ester transfer protein (CEPT)

#### ผลของไขมันต่อการรอบกระบวนการเกิดปฏิกิริยาในห้องปฏิบัติการ

พลาスマและชีรัมที่มีลักษณะญี่ปุ่นส่งผลกระทบต่อการตรวจวิเคราะห์ทางห้องปฏิบัติการ (7, 14) เช่น การตรวจทางเคมีคลินิก (22-26) การตรวจอิเลคโทรไลท์ (27) การตรวจระบบการแข็งตัวของเลือด (28, 29) การตรวจยีโนโกลบิน (30) โดยสาเหตุของการรอบกระบวนการปฏิกิริยาคือ เพิ่มการดูดกลืนแสงที่ความยาวคลื่น 300-700 นาโนเมตรในการตรวจด้วยเครื่องสเปกโตรโฟโตเมตอร์ ยับยั้งปฏิกิริยาระหว่างแอนติเจน-แอนติบอดีโดยยับยั้งแอนติบอดีส่วนที่ใช้จับกับแอนติเจน ภารไม่เป็นเนื้อเดียวกันของตัวอย่างส่งตรวจ ตัวอย่างส่งตรวจมีปริมาณสารอื่นๆ ทดแทนพลาasma และชีรัม เป็นต้น (13)

ปัจจุบันมีวิธีแก้ไขปัญหาพลาasma และชีรัมซุ่นจากไขมันเพื่อให้รอบกระบวนการเกิดปฏิกิริยา ในการตรวจวิเคราะห์ให้น้อยที่สุด (7, 14, 31, 32) เช่น เป็นตัวอย่างญี่ปุ่นด้วยเครื่องปั่นแยกโลหิต ที่ความเร็วรอบ 90,000 รอบต่อนาที ระยะเวลา 15 นาที การใช้สารเคมีเพื่อลดความซุ่น เช่น LipoClear, ไอลอนไทร์ปอยด์โคลาโนครอเมและ VLDL เป็นต้น

การทดสอบการรอบกระบวนการไขมันต่อการตรวจโดยเครื่องตรวจวิเคราะห์อัตโนมัติ (33, 34)

การทดสอบการรอบกระบวนการไขมันต่อการตรวจโดยเครื่องตรวจวิเคราะห์อัตโนมัติพบว่า มีการทดสอบโดยใช้ Intralipid<sup>®</sup> ซึ่งผลิตจากส่วนผสมของน้ำมันถั่วเหลืองร้อยละ 20, egg yolk phospholipid ร้อยละ 1.2, glycerin ร้อยละ 2.25, ผสมกับน้ำและเติมโซเดียมไฮดรอกไซด์เพื่อปรับค่า pH เป็น 8.0 (35) มีขนาดโมเลกุล 200-600 นาโนเมตร เฉลี่ย 345 นาโนเมตร (36) ซึ่งมีขนาดเล็กกว่าขนาดของ chylomicron และใหญ่กว่าขนาดของ VLDL ที่เป็นสาเหตุที่ทำให้พลาasma และชีรัมซุ่น ทำให้บางการศึกษาพบว่า Intralipid<sup>®</sup> ไม่เหมาะสมในการใช้วัดกระบวนการของไขมันต่อการตรวจวิเคราะห์ (37, 38)

#### โปรตีนและกระบวนการเผาผลาญ (20, 21)

โปรตีนเป็นสารชีวโมเลกุล ประกอบด้วยธาตุที่สำคัญ 3 ชนิดคือ คาร์บอน ไฮโดรเจน และออกซิเจน โดยมีองค์ประกอบของธาตุที่เพิ่มเข้ามาคือ ไนโตรเจนและซัลเฟอร์ โปรตีนมีโครงสร้างพื้นฐานที่เกิดจากการ結合ในเรียงต่อกันเป็นสายยาวโดยเชื่อมกันด้วยพันธะเปปไทด์

โปรตีนมีบทบาทหน้าที่หลักหลายในสิ่งมีชีวิต เช่น

1. เป็นเอนไซม์และห่วงโซ่ออยของเอนไซม์
2. เป็นกรดไขมัน
3. เป็นโครงสร้างเกี่ยวกับการเคลื่อนไหว เช่น แกอติน ไมโโคซิน
4. เป็นภูมิคุ้มกันของร่างกาย เช่น แอนติบอดีต่างๆ
5. เป็นโครงสร้างของร่างกาย
6. เกี่ยวกับระบบการขนส่งภายในร่างกาย

การย่อยและดูดซึมโปรตีนในระบบทางเดินอาหาร

อาหารประเภทโปรตีนเมื่อเข้าสู่กระเพาะอาหาร กรดเกลือจากกระเพาะอาหารทำหน้าที่ทำลายส่วนใหญ่ของโปรตีน มีขั้ยย่อยซึ่งสังเคราะห์มาจากกระเพาะอาหาร ลำไส้เล็กและตับอ่อนได้แก่ เคนไซม์ pepsin, trypsin, chymotrypsin, carboxypeptidase A, carboxypeptidase B และ elastase ซึ่งเคนไซม์เหล่านี้อยู่ในรูปซึ่งยังไม่สามารถทำงานได้ เรียกว่า proenzyme หรือ zymogen ต้องได้รับการกระตุ้นจึงสามารถย่อยโปรตีนได้ ทั้งนี้เพื่อป้องกันการย่อย自我 โปรตีนในกระเพาะอาหารหรือลำไส้เล็ก ผลผลิตที่ได้จากการย่อยเป็นปฏีด์สายยาวซึ่งยังไม่สามารถดูดซึมได้ แต่ผลผลิตนี้จะไปกระตุ้นให้ลำไส้เล็กและตับอ่อนหลัง cholecystokinin (CCK) มีผลให้พันธะเปปไทด์ดังกล่าวถูกย่อยได้สมบูรณ์ที่ลำไส้เล็ก แต่มีโปรตีนบางชนิดที่ไม่สามารถย่อยได้ เช่น โปรตีนเส้นใยซึ่งร่างกายจะรับออกนอกร่างกายต่อไป การดูดซึมของกรดอะมิโนเข้าสู่ผนังลำไส้เล็กเป็นการดูดซึมแบบการพร่องริเวณที่มีความเข้มข้นของสารสูงกว่าไปยังบริเวณที่มีความเข้มข้นของสารต่ำกว่าและการแพร่โดยอาศัยพลังงาน

### โปรตีนในพลาสม่า (plasma protein)

ในเดือนปีก่อนด้วยโปรตีนหลายชนิดซึ่งมีบทบาทหน้าที่และความสำคัญแตกต่างกัน การจำแนกประเภทของโปรตีนในพลาสมามีหลายวิธี การจำแนกที่ได้รับการข้างต้นเพื่อหารายที่สุดคือ การจำแนกโดยวิธี electrophoresis อาศัยคุณสมบัติของโปรตีนที่จะมีประจุเป็นลบที่บันไฟฟ้า pH 8.6 จึงสามารถเคลื่อนที่ไปทางประจุลบ โดยสามารถแยกพลาสม่าโปรตีนออกเป็นແນตตามการเคลื่อนที่ได้เป็น 5 กลุ่มได้แก่ albumin,  $\alpha_1$  globulin,  $\alpha_2$  globulin,  $\beta$  globulin และ  $\gamma$  globulin โดย albumin เคลื่อนที่ไปได้ในระยะใกล้สุดซึ่งลดหลั่นลงมาตามลำดับจนถึง  $\beta$  globulin ซึ่งมีการเคลื่อนที่ในระยะทางสั้นสุด ส่วน  $\gamma$  globulin จะเคลื่อนในทิศทางเข้าหาขั้วลบ

albumin เป็นโปรตีนที่พบมากที่สุดในพลาสม่า มีขนาดเล็กแต่มีประจุลบมาก ถูกสังเคราะห์ขึ้นที่ตับ อัลบูมินมีบทบาทหน้าที่หลักประการ ได้แก่

1. ไขนส่งสารต่างๆ ในกระแสเลือดไปยังเนื้อเยื่อเป้าหมายเพื่อการออกฤทธิ์ เมtabolizem และการทำลายสารนั้นๆ เช่น ไขนส่งกรดไขมันสายยาว ไขนส่งเพื่อการลดหรือทำลายพิษของสารนั้น เช่น ไขนส่ง unconjugated bilirubin ไปยังตับเพื่อบังกันการเกิด kernicterus ในเด็กแรกเกิด

2. รักษาแรงดันออกซิโนติกของเลือด เนื่องจากอัลบูมินเป็นสารที่มีขนาดเล็กประกอบกับ มีประจุเป็นลบมากทำให้สามารถจับกับโมเลกุลของน้ำได้ดี ดังนั้นถ้าระดับอัลบูมินลดต่ำลงมีผล ทำให้น้ำเคลื่อนที่ของการออกหลอดเลือดมากขึ้น คุดกลับเข้าสู่เส้นเลือดน้อยลง มีผลให้แรงดันออกซิโนติก ของเลือดลดลง

3. ทำหน้าที่บัฟเฟอร์ เนื่องจากอัลบูมินสามารถจับกับ  $H^+$  ได้ จึงมีบทบาทในการช่วย ลดความเป็นกรดของเลือด

$\alpha_1$  globulin มีโปรดีนหลายชนิดในกลุ่มนี้ เช่น thyroxine – binding protein (TBG) มีหน้าที่ในการจับและขนส่ง thyroxine และ triiodothyronine ไปตามกระแสเลือด

$\alpha_2$  globulin เช่น haptoglobin มีหน้าที่ในการจับกับ free hemoglobin เมื่อมีการแตก ของเม็ดเลือดแดง ซึ่งจะถูกกำจัดออกจากพลาสมาโดย reticuloendothelial cell

$\beta$  globulin เช่น transferrin มีบทบาทในการขนส่งเหล็กในกระแสเลือด โดยจับกับธาตุเหล็ก ที่เข้าสู่กระแสเลือดทางลำไส้เล็กและม้าม แล้วนำธาตุเหล็กไปส่งยังเนื้อเยื่อที่มีความต้องการใช้ ธาตุเหล็ก fibrinogen มีบทบาทหน้าที่เกี่ยวกับการแข็งตัวของเลือด

$\gamma$  globulin มีบทบาทสำคัญในด้านการเป็นภูมิคุ้มกัน ซึ่งมีบางส่วนที่ปนอยู่ในแอบ  $\beta$  globulin ด้วยรวมเรียกว่า immunoglobulin ถูกสังเคราะห์โดย plasma cell เมื่อมีสิ่งแผลก่อตัว เข้าสู่ร่างกาย ประกอบด้วยสาย polypeptide 4 สายแบ่งเป็น heavy (H) chain 2 สายและ light (L) chain 2 สายซึ่งมีความต่างของสาย polypeptide 4 สาย เรียกว่า variable(V) region มีลำดับกรดอะมิโนที่มีความหลากหลาย บริเวณนี้จึงเป็นบริเวณที่มีความ เจาะจงของ immunoglobulin ในการจับกับแอนติเจน ส่วนที่เหลือของสาย polypeptide เรียกว่า constant region ซึ่งมีความแตกต่างของลำดับกรดอะมิโนไม่มาก แบ่งเป็น IgG, IgA, IgM, IgD และ IgE ระดับ immunoglobulin ถ้าค่าต่ำกว่าค่าอ้างอิงอาจเป็นผลจากยาหรือสารก่อภัยคุ้มกัน ถ้าค่าสูงมากจาก plasma cell เพียง clone เดียวเรียกว่า monoclonal globulin พนได้ใน myeloma และ Waldenstrom's macroglobulinemia ถ้ามากจาก plasma cell หลาย clone เรียกว่า polyclonal immunoglobulin

ค่าอ้างอิงของโปรตีนในพลาสมารัม อยู่ในช่วง 6.4-8.3 กรัมต่อเดซิลิตร อัลบูมิน 3.5-5.0 กรัมต่อเดซิลิตร โกลบูลิน 2.5-3.5 กรัมต่อเดซิลิตร

### ผลของโปรตีนต่อการระบุกระบวนการเกิดปฏิกิริยาในห้องปฏิบัติการ (39, 40)

มีรายงานการศึกษาพบว่า monoclonal antibody (พาราโปรตีนหรือเอ็มโปรตีน) ได้แก่ IgM, IgG และ IgA และ polyclonal antibody เป็นโปรตีนที่รบกวนการตรวจวิเคราะห์ด้วยเครื่องตรวจวิเคราะห์อัตโนมัติ เช่น รบกวนการตรวจวัด conjugated bilirubin (41-44) และมีการรายงานผู้ป่วย 2 รายที่เป็นโรค Waldenstrom's macroglobulinemia และผู้ป่วยโรค IgG Kappa multiple myeloma ซึ่งมีระดับ monoclonal antibody สูง พบว่ามีผลทำให้การตรวจกลูโคส C-reactive protein และ HDL cholesterol มีค่าต่ำกว่าความเป็นจริง (45) ซึ่งการรับกระบวนการปฏิกิริยาเกิดจากการตกลงกันน้อยมากที่ทำให้การตรวจวิเคราะห์เป็นผลให้ตัวอย่างมีความชุ่นซึ่งมีผลกระทบต่อการอ่านผลด้วยวิธีวัดความเข้มของแสง

### คาร์บอไไฮเดรตและกระบวนการเผาผลาญ (20, 21)

คาร์บอไไฮเดรตเป็นสารชีวโมเลกุลที่เป็นแหล่งพลังงานหลักของร่างกาย ประกอบด้วยชาตุที่สำคัญ 3 ชนิดคือ คาร์บอน ไฮโดรเจน และออกซิเจน การจำแนกคาร์บอไไฮเดรตแบ่งเป็น 4 ประเภท ได้แก่

1. โมโนแซคคาไรด์ (monosaccharide) เป็นน้ำตาลโมเลกุลเดี่ยว สูตรทั่วไปเป็น ( $\text{CH}_2\text{O}_n$ ) โดยพบจำนวนcarbbon 3-7 อะตอม น้ำตาล曳กไฮสเป็นน้ำตาลที่มีมากที่สุดในธรรมชาติ โดยกลูโคสเป็นน้ำตาล曳กไฮสที่พบมากที่สุด มีความสำคัญต่อร่างกายคือ สมองใช้กลูโคสเป็นแหล่งพลังงานและเป็นน้ำตาลชนิดเดี่ยวที่อยู่อย่างอิสระในมนุษย์

2. ไดแซคคาไรด์ (disaccharide) ประกอบด้วยโมโนแซคคาไรด์ 2 โมเลกุลเชื่อมต่อกันด้วยพันธะไกลดิโคไซดิก ที่สำคัญคือ มอลโทส (กลูโคส 2 โมเลกุล) แลกโทส (กาแลกโทสและกลูโคส) ฟูโคส (ฟูกโทสและกลูโคส)

3. ไตรแซคคาไรด์ (trisaccharide) ประกอบด้วยโมโนแซคคาไรด์ 3 โมเลกุลเชื่อมต่อกันด้วยพันธะไกลดิโคไซดิก เช่น ราฟฟินส ประกอบด้วย กาแลกโทส กลูโคสและฟูกโทส

4. พอลิแซคคาไรด์ (polysaccharide) แบ่งเป็น 4.1) พอลิแซคคาไรด์สะสม ได้แก่ แคลฟาน-อะไมโลส อะไมโลเพกติน 4.2) พอลิแซคคาไรด์โครงสร้าง เป็นโครงสร้างของผนังเซลล์ สารเคลือบเซลล์

อาหารประเภทคาร์บอไไฮเดรตเมื่อเข้าสู่ร่างกายจะถูกบดเคี้ยวโดยฟันชี้ฟันหน้าที่บดเคี้ยว อาหาร ในน้ำลายมีเอนไซม์แอลฟามิเลส ย่อยเปลี่ยนน้ำตาล dextrin จากนั้นอาหารจะถูกกลืน ผ่านหลอดอาหารไปยังกระเพาะอาหารซึ่งไม่มีน้ำย่อยคาร์บอไไฮเดรต เมื่อผ่านเข้าสู่ลำไส้เล็กเยื่อบุผนังลำไส้เล็กจะปล่อยฮอร์โมนอ่อนตัว ชนิดคือ ฮอร์โมน secretin กระตุ้นให้ตับอ่อนหลังน้ำย่อย

ที่มีเกลือคาร์บอเนต และยอรมีน pancreaticozymin กระตุ้นให้ตับอ่อนหลังเอนไซม์เบต้าอะไมลีส ซึ่งเปลี่ยนแป้งเป็นน้ำตาลมอลโทส นอกจากนี้เยื่อบุลำไส้เล็กยังผลิตเอนไซม์ lactase เปลี่ยนแลกโตสเป็นกลูโคสและกาแลกโตส; เอนไซม์ maltase เปลี่ยนมอลโตสเป็นกลูโคส 2 มิลลิกรัม; เอนไซม์ sucrase เปลี่ยนซูครอสเป็นกลูโคสและฟรุกโตส

การดูดซึมcarbohydrateจากลำไส้เล็กเข้าสู่ผนังลำไส้เล็ก มี 2 แบบคือ

1. การดูดซึมโดยไม่ใช้พลังงาน แบ่งเป็น 1.1) การแพร่แบบธรรมชาติ เป็นการแพร่ของสารจากบริเวณที่มีความเข้มข้นสูงคือลำไส้เล็กเข้าสู่บริเวณที่มีความเข้มข้นต่ำคือผนังลำไส้เล็ก 1.2) การแพร่โดยอาศัยตัวพา เป็นการแพร่จากบริเวณที่มีความเข้มข้นสูงไปยังบริเวณที่มีความเข้มข้นต่ำโดยอาศัยตัวพา

2. การดูดซึมโดยใช้พลังงาน เป็นการขนส่งที่อาศัยตัวพาโดยเคลื่อนที่จากบริเวณที่มีความเข้มข้นต่ำไปยังบริเวณที่มีความเข้มข้นสูง ซึ่งต้องใช้พลังงานจากการถ่าย ATP หลังจากดูดซึมโน้มแข็งค่าไรต์เข้าสู่ผนังลำไส้เล็กและหลอดเลือดแล้วจะเคลื่อนที่ไปยังตับ ตับจะเปลี่ยนโน้มแข็งค่าไรต์ให้เป็นกลูโคสทั้งหมด และกลูโคสจะถูกส่งไปยังเซลล์ทั่วร่างกาย โดยกลูโคสที่เหลือใช้จะเก็บไว้ในรูปไกลโคเจนซึ่งสะสมที่ตับและกรดไขมันในเซลล์ไขมันทั่วร่างกาย

ยอรมีนสำคัญที่ควบคุมระดับกลูโคสในเลือด มี 2 ชนิดคือ

1. อินซูลิน เป็นยอรมีนประภาก polypeptide สร้างโดยเซลล์เบต้าของ islets of Langerhans ในตับอ่อน ประกอบด้วยกรดอะมิโน 51 หน่วย ประกอบด้วยสาย A และสาย B เซื่อมตอกันด้วยพันธะเปปไทด์ การสังเคราะห์อินซูลินเริ่มจาก proinsulin ประกอบด้วยส่วนที่เป็นสาย A และสาย B เซื่อมตอกันด้วย C-peptide โดยส่วนที่เป็นสาย B มีส่วนที่เป็น signal sequence เซื่อมอยู่ เมื่อ signal sequence ถูกทำลายจะกลายเป็น proinsulin และเป็น insulin เมื่อ C-peptide ถูกตัดออก ระดับของ C-peptide เป็นสัญญาณสำคัญในการสร้างและทำลายอินซูลิน เป็นยอรมีนที่หลังเมื่อรับประทานน้ำตาลในเลือดสูงเพื่อดูดซึมเก็บไว้ที่ตับและเนื้อเยื่ออื่นๆ

2. กลูคากอน ประกอบด้วย polypeptide สายเดียวมีกรดอะมิโน 29 หน่วย ผลิตมากจากเซลล์แอฟฟากของ islets of Langerhans ในตับอ่อน จะถูกปล่อยเมื่อรับประทานน้ำตาลในกระแสเลือด ลดระดับต่ำกว่าปกติ เป็นผลให้ตับเปลี่ยนไกลโคเจนที่สะสมไว้เป็นกลูโคสและปล่อยเข้าสู่กระแสเลือด เพื่อเพิ่มระดับน้ำตาลในกระแสเลือด ป้องกันร่างกายจากภาวะน้ำตาลในเลือดต่ำ

โรคเบาหวาน (diabetes mellitus) เป็นโรคที่พบระดับน้ำตาลในกระแสเลือดสูงกว่าปกติ แบ่งเป็น 2 ประเภทคือ

1. โรคเบาหวานชนิดที่ 1 (insulin dependent diabetes) เป็นชนิดที่พบได้น้อย แต่มีความรุนแรงและอันตรายสูง มักพบในเด็กและคนอายุต่ำกว่า 25 ปี แต่ก็อาจพบในคนสูงอายุได้บ้าง เกิดจากภูมิต้านทานของร่างกายทำลายเซลล์เบต้าของ islets of Langerhans ในตับอ่อนทำให้สร้างอินซูลินไม่ได้หรือได้น้อยมาก ผู้ป่วยเบาหวานชนิดที่ 1 จึงจำเป็นต้องฉีดอินซูลินเพื่อควบคุมระดับน้ำตาลในเลือด ภาวะพร่องหรือขาดอินซูลินมีผลให้ร่างกายมีอินซูลินไม่เพียงพอต่อการเผาผลาญคาร์บอไฮเดรตไปเป็นพลังงาน จึงใช้ไขมันเป็นแหล่งพลังงานแทนโดยกระตุ้นการสร้างไขมันในเนื้อเยื่อทำให้ปล่อยกรดไขมันอิสระออกมามีผลให้ปริมาณ chylomicron และ VLDL สูงขึ้นซึ่งมีผลต่อกล้ามเนื้อในพลาสม่าและซีรัมของผู้ป่วย

2. โรคเบาหวานชนิดที่ 2 (non-insulin dependent diabetes) เป็นเบาหวานชนิดที่พบเห็นกันเป็นส่วนใหญ่ มีความรุนแรงน้อยกว่าประเภทแรก มักพบในคนอายุมากกว่า 40 ปีขึ้นไป แต่ก็อาจพบในเด็กหรือวัยหนุ่มสาวได้บ้าง เซลล์ตับอ่อนของผู้ป่วยชนิดนี้ยังสามารถสร้างอินซูลินได้แต่ไม่เพียงพอ กับความต้องการของร่างกาย หรือเซลล์ตับอ่อนของผู้ป่วยยังคงมีการสร้างอินซูลินแต่ทำงานไม่เป็นปกติ เนื่องจากมีภาวะต้ออินซูลิน

จากการศึกษาพบว่าในผู้ป่วยโรคเบาหวานชนิดที่ 2 ร้อยละ 30-60 พบรากะมีไตรกลีเซอไรด์สูง สาเหตุมาจากการทำงานที่บกพร่องของ酵母菌อินซูลินหรือภาวะต้ออินซูลินในร่างกาย ซึ่งอินซูลินเป็นตัวยับยั้งการสร้างไขมัน ทำให้ในร่างกายมีระดับ free fatty acid สูง รวมทั้งลดการทำงานของเอนไซม์ lipoprotein lipase เพิ่มการทำงานของ microsomal triacylglycerol transfer protein (MTP) เป็นผลทำให้ระดับ chylomicron และ VLDL ในร่างกายสูงขึ้น (46-48)

ผลของการใช้เครตต่อการรับภาระเกิดปฏิกิริยาในห้องปฏิบัติการ (49, 50)

กซูโคสควบภาระเกิดปฏิกิริยาในการตรวจทางห้องปฏิบัติการ เช่น รับภาระตรวจครีเอทีนีน โดยใช้วิธี Jaffe method และ enzymatic assay พบรากวิธี Jaffe method กซูโคสมีผลรับภาระเกิดปฏิกิริยามากกว่าวิธี enzymatic assay โดยกซูโคสลดภาระเปลี่ยนจาก alkaline picric acid เป็น picrate ทำให้ค่าการดูดกลืนแสงที่ความยาวคลื่น 520 นาโนเมตรลดลง โดยระดับกซูโคสไม่มีผลรับภาระเกิดปฏิกิริยาน้อยกว่าวิธี Jaffe method นอกจากนี้ยังมีการศึกษาการรับภาระของกซูโคสต่อการตรวจทางเคมีคลินิกและทัชอยด์ด้วยเครื่อง Abbott c8000 และ i2000 sr พบรากวิธี Jaffe method กซูโคสมีผลรับภาระเกิดปฏิกิริยาระหว่างการตรวจครีเอทีนีน แคลตีเมม อัลบูมิน และ free T4

## การทดสอบการรับกวนของกลูโคสต่อการตรวจโดยเครื่องตรวจวิเคราะห์อัตโนมัติ (25, 49)

จากการศึกษาพบมีการทดสอบการรับกวนของกลูโคสต่อการตรวจด้วยเครื่องตรวจวิเคราะห์อัตโนมัติ Abbott c8000 และ Architect i2000sr โดยนำซีรัมของผู้ป่วย 16 รายมารวมกัน (กลุ่มควบคุม) วัดระดับของกลูโคสและสารที่ต้องการทดสอบการรับกวนที่เติม 20% dextrose solution โดยเติมซีรัมและ 20% dextrose ในอัตราส่วนเพื่อให้ได้ความเข้มข้นต่างๆ นำไปตรวจด้วยเครื่องวิเคราะห์อัตโนมัติ หากค่าการเปลี่ยนแปลงโดยเบรียบเทียบกับกลุ่มทดลองกับกลุ่มควบคุม พบร้า กลูโคสรับกวนการตรวจครึ่อกที่ใน โดยพบระดับครึ่อกที่ในสูงขึ้นอย่างมีนัยสำคัญ

### เครื่องตรวจวิเคราะห์หมู่โลหิตอัตโนมัติ Qwalys 3 (51)

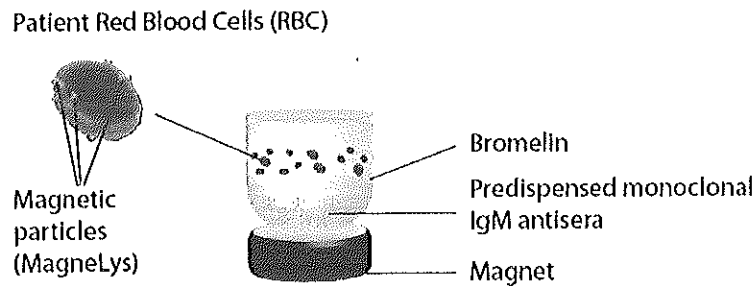
Qwalys 3 เป็นเครื่องตรวจวิเคราะห์อัตโนมัติใช้ Electro Magnetic Technique (E.M.<sup>®</sup> Technology) สำหรับห้องปฏิบัติการด้าน immunohematology หลักการอาศัยปฏิกิริยาระหว่างแอนติเจนและแอนติบอดีของเม็ดเลือดแดง ได้แก่ การจับของแอนติเจนบนผิวเม็ดเลือดแดง (sensitization) การหากลุ่มของเม็ดเลือดแดง (agglutination) และปฏิกิริยาการแตกทำลายของเม็ดเลือดแดง (hemolysis)

การตรวจหมู่โลหิตด้วยวิธี E.M.<sup>®</sup> Technology เป็นการตรวจทั้ง cell grouping และ serum grouping อยู่ภายใน plate เดียวกันและทำพร้อมกันเรียกว่า ABDLys plate โดยตัวอย่างตรวจ 1 รายใช้ ABDLys plate ทั้งหมด 6 หลุม แบ่งเป็น cell grouping 4 หลุม และ serum grouping 2 หลุม โดยมีขั้นตอนการทำโดยสังเขปดังนี้

#### การตรวจ cell grouping

1. เครื่อง Qwalys 3 ดูดตัวอย่างที่เป็นเม็ดเลือดแดงมาเจือจากด้วย Magnelys และ Bromeline ให้ได้ความเข้มข้น 1% red cell ใน D-plate ซึ่งเป็น plate ที่ใช้สำหรับเจือจากเม็ดเลือดแดง ส่วน Magnelys เป็นน้ำยาที่ใช้ในการ magnetize เม็ดเลือดแดง

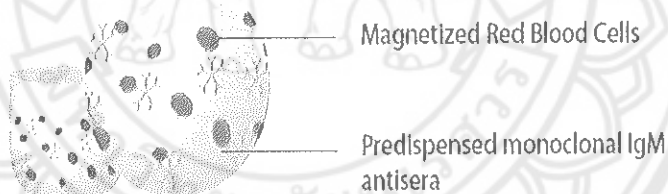
2. เครื่อง Qwalys 3 ดูดเม็ดเลือดแดงที่เจือจากแล้ว (magnetized red cell) ลงใน ABDLys plate ที่มีน้ำยา anti-A, anti-B และ anti-D เคลือบอยู่ในหลุมที่ 1, 2 และ 3 ตามลำดับ (ภาพ 3) หลุมที่ 4 จะเป็นหลุม control ที่ไม่มีน้ำยาใดๆ อยู่ในหลุม ดังนั้นหลุม control จะต้องค่านปฏิกิริยาเป็น negative เช่น



ภาพ 3 ปฏิกริยาการตรวจหมู่โลหิตขั้นตอน direct grouping ด้วยเครื่องตรวจวินิคุราห์หมู่โลหิตอัตโนมัติ Qwalys 3

ที่มา: <https://www.diagast.com>

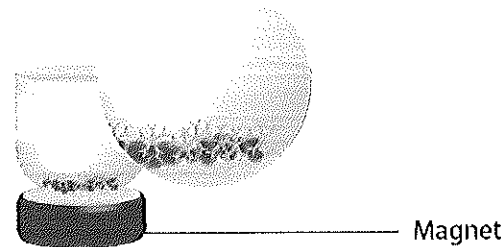
3. เครื่อง Qwalys 3 จะนำ ABDLys plate มาเขย่าเพื่อให้ magnetized red cell ทำปฏิกริยากับแอนติบอดีที่อยู่ในหลุม ABDLys plate ได้ดีขึ้น (ภาพ 4) จากนั้นนำไป incubate ที่อุณหภูมิห้อง 5 นาที



ภาพ 4 ปฏิกริยาการจับกันระหว่างแอนติเจนและแอนติบอดีใน ABDLys plate

ที่มา: <https://www.diagast.com>

4. ABDLys plate จะถูกนำมาวางไว้ที่แท่นแม่เหล็ก (magnetic plate) เพื่อดึง magnetize red cell ลงมาที่ฐาน (ภาพ 5) ขั้นตอนนี้จะมาทดสอบการปั่นอ่าน



ภาพ 5 ABDLys plate เมื่อนำมาวางที่แท่นแม่เหล็ก

ที่มา: <https://www.diagast.com>

5. หลังจากนั้น ABDLys plate จะถูกนำมาย่างอีกครั้งเพื่อข่านผล (ภาพ 6)



ภาพ 6 ปฏิกิริยา positive และ negative ใน ABDLys plate

ที่มา: <https://www.diagast.com>

#### การตรวจ serum grouping

1. เครื่อง Qwalys 3 ดูดตัวอย่างตรวจลงในหลุมที่ 5 และ 6 ของ ABDLys plate
2. เครื่อง Qwalys 3 ดูดน้ำยา Hemalys A1 ลงในหลุมที่ 5 และ Hemalys B ลงในหลุมที่ 6 ของ ABDLys plate โดย Hemalys A1 และ Hemalys B จะเป็นเม็ดเลือดแดงที่ magnetized แล้ว

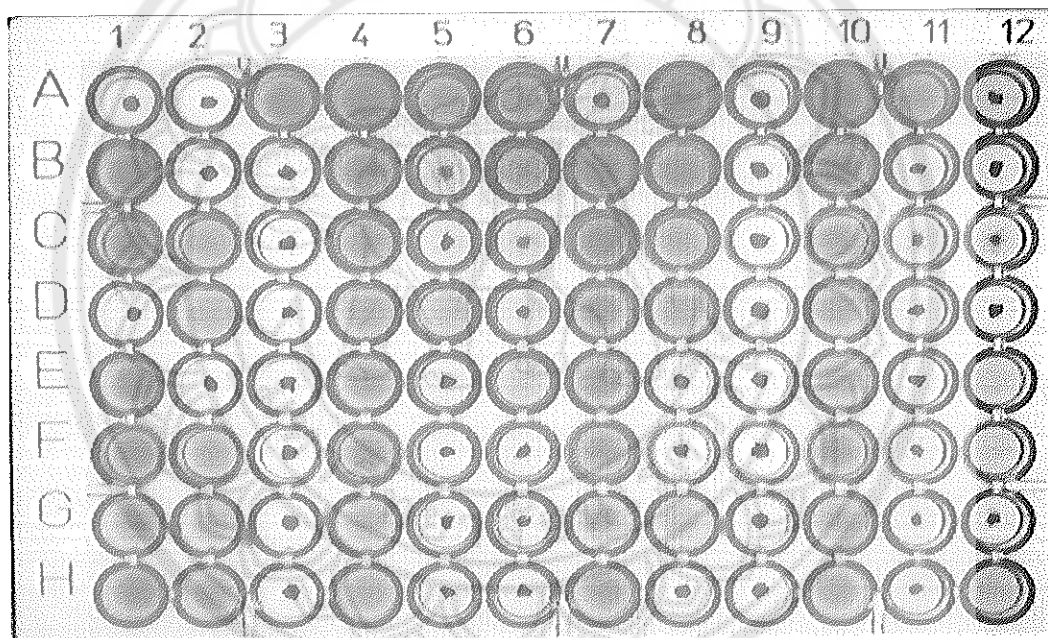
3. เครื่อง Qwalys 3 จะนำ ABDlys plate มาเขย่าเพื่อให้ magnetized red cell ทำปฏิกิริยา กับแอนติบอดีใน plasma หรือ serum ได้ดีขึ้น (ภาพ 4) จากนั้นนำไป incubate ที่อุณหภูมิห้อง 5 นาที

4. ABDlys plate จะถูกนำมาระหว่างไว้ที่แท่นแม่เหล็ก เพื่อดึง magnetized red cell ลงมา กันหลุม (ภาพ 5) ขั้นตอนนี้จะมาทดสอบแลนชั่นตอนการปั่นอ่าน

5. หลังจากนั้น ABDlys plate จะถูกนำมาเขย่าอีกครั้งเพื่อ清空ผลโดยการถ่ายภาพ (ภาพ 6)

#### ขั้นตอนการอ่านผล

1. เครื่องทำการถ่ายรูปปฏิกิริยาใน ABDlys plate ดังภาพ 7



ภาพ 7 ABDlys plate ที่ถ่ายโดยเครื่องตรวจวินิจฉัยหัวใจ Qwalys 3

ที่มา: ภาพถ่ายจากการตรวจหัวใจด้วยเครื่องตรวจวินิจฉัยหัวใจ Qwalys 3

จังหวัดนราธิวาส

2. เครื่องทำการวัดระยะห่างระหว่างขอบของเม็ดกระดุมกับขอบของหลุมที่เกิดปฏิกิริยา และรายงานผลเป็น negative, 1+, 2+, 3+ และ 4+ ตามลำดับ

3. เครื่องสรุปผลหมูโลหิต ABO และ Rh typing ตามปฏิกิริยาที่ตรวจได้ โดยอาจพบกรณีที่เครื่องไม่สามารถสรุปผลได้ดังตาราง 1 ซึ่งต้องตรวจยืนยันด้วยวิธีหลอดทดลอง

ตาราง 1 ปฏิกิริยาที่ไม่สามารถสรุปหมูโลหิตได้จากเครื่องตรวจเคราะห์หมูโลหิตอัตโนมัติ

**Qwalys 3: สัญลักษณ์ สาเหตุและวิธีแก้ไข**

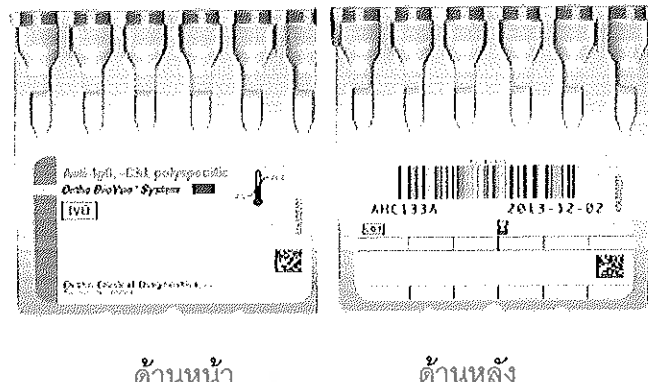
| สัญลักษณ์ | สาเหตุ   | วิธีแก้ไข              |
|-----------|--|------------------------|
| X         | -เครื่องดูดตัวอย่างหรือน้ำยาไม่ได้<br>-พบ fibrin clot ในตัวอย่าง | -ปั๊มตัวอย่างใหม่      |
| ?         | -ปฏิกิริยาอ่อน ไม่สามารถสรุปผลได้<br>-พบเป็น subgroup            | -ตรวจด้วยวิธีหลอดทดลอง |

เครื่องตรวจคัดกรองแอนติบอดีอัตโนมัติ Ortho Autovue Innova (52)

Ortho Autovue Innova เป็นเครื่องตรวจเคราะห์โลหิตอัตโนมัติโดยใช้หลักการ column agglutination technique (CAT) ซึ่ง cassette column จะประกอบไปด้วยน้ำยา anti-human globulin polyspecific (IgG และ C3D) และ glass spheres สำหรับการตรวจคัดกรองแอนติบอดี ขั้นตอน indirect antiglobulin test (IAT) โดยใช้ screening cells คือ 0.8% screening cell O1 และ O2 หากพบการจับกลุ่มกันของเม็ดเลือดแดง เม็ดเลือดแดงจะค้างอยู่ด้านบนผิว glass spheres หมายถึง positive unexpected antibody และหากไม่พบการจับกลุ่มกันของเม็ดเลือดแดง เม็ดเลือดแดงจะถูกปั่นแตกลงไปอยู่ตรงก้นหลุมนั้น หมายถึง negative unexpected antibody (ภาพ 8 และ 9)

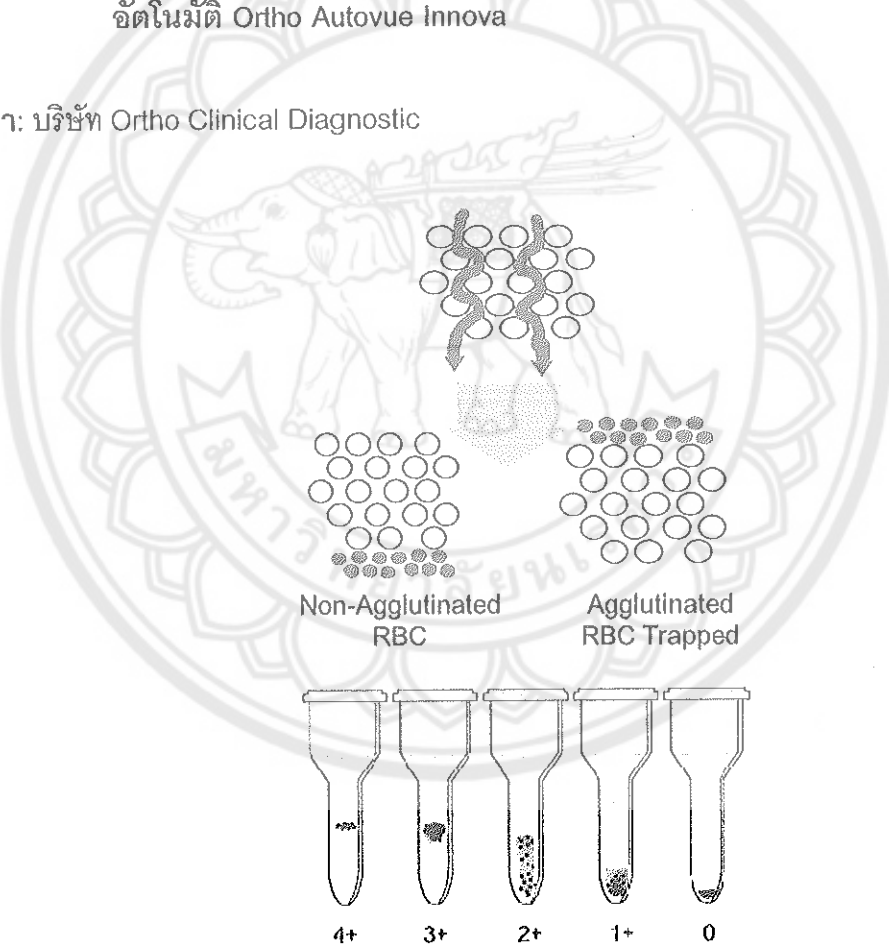
**การตรวจคัดกรองแอนติบอดีขั้นตอน IAT โดยสังเขป**

1. Ortho Autovue Innova ดูดตัวอย่างตรวจลงใน cassette column
2. ดูด 0.8% screening cell O1 และ O2 ลงใน cassette column
3. นำ cassette incubate ที่  $37^{\circ}\text{C}$  20 นาที
4. นำ cassette ไปปั๊น 5 นาที
5. ถ่ายภาพด้านหน้าและหลังเพื่ออ่านปฏิกิริยา



ภาพ 8 cassette ที่ใช้ตรวจคัดกรองแอนติบอดีโดยเครื่องตรวจคัดกรองแอนติบอดี อัตโนมัติ Ortho Autovue Innova

## ที่มา: บริษัท Ortho Clinical Diagnostic



ภาพ 9 การรายงานผลปฏิกริยาที่อ่านโดยเครื่องตรวจคัดกรองเอนติบอดีอัตโนมัติ Ortho Autovue Innova

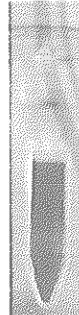
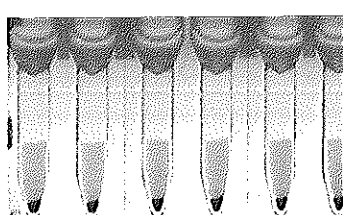
ที่มา: <https://www.orthoclinicaldiagnostics.com>

การรายงานผลปฏิกิริยาที่ได้จากเครื่องมีหัวที่รายงานผลได้และไม่ได้ซึ่งมีสาเหตุและวิธีแก้ไขดังตาราง 2

ตาราง 2 ปฏิกิริยาที่สรุปได้จากเครื่องตรวจคัดกรองแอนติบอดีอัตโนมัติ Ortho Autovue Innova: สัญลักษณ์ สาเหตุและวิธีแก้ไข

| สัญลักษณ์ | สาเหตุ   | วิธีแก้ไข  |
|-----------|--|--|
| negative  | <ul style="list-style-type: none"> <li>- ผลเป็น negative</li> <li>- ปฏิกิริยาเป็นผลลบ เม็ดเลือดแดงตกที่ก้นหลุมเป็นระนาบตัดแนวๆ กัน</li> </ul>    | - รายงานผลได้  |
| Positive  | <ul style="list-style-type: none"> <li>- ผลเป็น positive</li> <li>- ปฏิกิริยาเป็นผลบวกเม็ดเลือดแดงเกิดการรวมกลุ่มและค้างบน glass bead column หรือ ค้างอยู่ในเนื้อ bead ขึ้นอยู่กับความแรงของปฏิกิริยา</li> </ul>    | - รายงานผลได้  |
| J tail    | <ul style="list-style-type: none"> <li>- เกิดจากปฏิกิริยาระหว่างแอนติเจนบนผิวเม็ดเลือดแดงซึ่งจำเพาะกับแอนติบอดีที่มีใน serum หรือ plasma ของผู้ป่วย ที่อาจมีปริมาณน้อยๆ ทำให้เห็นปฏิกิริยาการรวมกลุ่มแบบอ่อนๆ</li> <li>- การใช้ผลิตภัณฑ์เซลล์เม็ดเลือดแดงที่ใกล้หมดอายุ</li> </ul>  | - ควรเปลี่ยนเซลล์ใหม่นำมากใช้เซลล์เม็ดเลือดแดงที่ใกล้หมดอายุ |

ตาราง 2 (ต่อ)

| สัญลักษณ์           | สาเหตุ   | วิธีแก้ไข   |
|---------------------|--|---|
| HEM (hemolysis)     | <p>- เกิดจากการแตกของเซลล์เม็ดเลือดแดง สามารถสังเกตเห็นของเหลวใน column มีสีเข้มกว่าปกติ</p>    | <p>- ตรวจสอบเซลล์มาตรฐานที่ใช้ทดสอบ และตัวอย่างตรวจว่ามีการแตกของเซลล์เม็ดเลือดแดงหรือไม่ ก่อนที่จะทำการตรวจวิเคราะห์</p> <p>- ผู้ป่วยอาจมี significant antibody ที่มี complement ร่วมด้วยทำให้เห็นเป็นปฏิกิริยาตั้งกล่าว</p> |
| LTL (light too low) | <p>- ปริมาณของตัวอย่างตรวจน้อยเกินไป ทำให้อาจดูดเซลล์เม็ดเลือดแดงปนมากับส่วนของ serum ทำให้เห็นลักษณะคล้าย hemolysis แต่มีอสังเกตจะไม่พบลักษณะ hemolysis แต่เห็นเป็นเซลล์เม็ดเลือดแดงที่ปรากฏอยู่ใน column</p>  | <p>- ตรวจสอบปริมาณตัวอย่างให้เพียงพอต่อการทดสอบ ควรทำการทดสอบซ้ำ (ปริมาณที่เหมาะสมสำหรับเครื่องอัตโนมัติคือ จะต้องมี dead volume อย่างน้อยที่สุด 300 μL รวมกับปริมาณที่เครื่องต้องการใช้ในแต่ละการทดสอบ)</p>                  |
| Slant               | <p>- เกิดจากความไม่สมดุลของ centrifuge ของเครื่องมือที่ใช้ทดสอบ สังเกตเห็นการเอียงตัวของเม็ดเลือดแดงที่ตอกที่ก้นหลุม เชยงในแนวเดียวกัน</p>    | <p>- แจ้งผู้เชี่ยวชาญของบริษัทเพื่อทำการตรวจสอบเครื่องมือ</p>   |

ตาราง 2 (ต่อ)

| สัญลักษณ์       | สาเหตุ   | วิธีแก้ไข  |
|-----------------|--|--|
| FC (few cell)   | <ul style="list-style-type: none"> <li>- ปริมาณเซลล์เม็ดเลือดแดงน้อยกว่าปกติ</li> <li>- อาจเกิดจากการเดรียมความชื้นขั้นตอนที่ไม่ถูกต้อง(ไม่ได้ปริมาณที่เหมาะสม(น้อยเกินไป)จึงทำให้เห็นเซลล์เม็ดเลือดแดงที่บริเวณก้นหลุมน้อยกว่าปกติ</li> <li>- อาจมี fibrin หรือ clot ขนาดเล็กอุดตัน pipet ขณะคุณทำให้ได้ปริมาณของเซลล์ไม่เพียงพอ</li> </ul> | <ul style="list-style-type: none"> <li>- ควรทำการทดสอบซ้ำ</li> <li>- ทำการปั๊นล้างเซลล์ก่อนทำการตรวจวิเคราะห์</li> </ul>   |
| EW (empty well) | <ul style="list-style-type: none"> <li>- อาจมีเศษ fibrin อุดตัน pipet ทำให้ไม่สามารถดูดตัวอย่างเพื่อนำมาทำการทดสอบได้</li> <li>- อาจเกิดจากความผิดปกติของอุปกรณ์การทดสอบทำให้ไม่สามารถดูดตัวอย่างเพื่อมาทำการทดสอบได้</li> </ul>   | <ul style="list-style-type: none"> <li>- ควรทำการทดสอบซ้ำ</li> <li>- ทำการปั๊นล้างเซลล์ก่อนทำการตรวจวิเคราะห์</li> <li>- ตรวจสอบเครื่องมือหรืออุปกรณ์ที่ใช้ในการทดสอบ</li> <li>- ทำ tip decontamination</li> </ul> |
| HAZE            | <ul style="list-style-type: none"> <li>- เกิดจากผลิตภัณฑ์เซลล์เม็ดเลือดแดงที่ไม่หมดความพยายามทำให้มีการแตกของผังเซลล์เม็ดเลือดแดงบางส่วนทำให้เห็นเป็นลักษณะคล้าย agglutination โดยเป็นเศษของเซลล์เม็ดเลือดแดงที่ค้างอยู่ในขั้น glass bead ทำให้เห็นคล้าย agglutination แต่เมื่อสองผ้าม่านจะไม่พบลักษณะ agglutination</li> </ul>              | <ul style="list-style-type: none"> <li>- ปั๊นล้างเซลล์เม็ดเลือดแดงก่อนทำการตรวจวิเคราะห์</li> <li>- ควรทำการทดสอบซ้ำ</li> </ul>  |

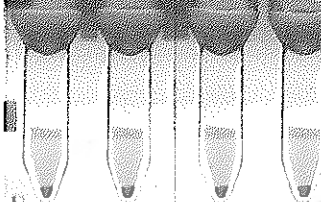
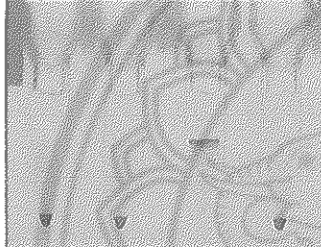
ตาราง 2 (ต่อ)

| สัญลักษณ์                | สาเหตุ  | วิธีแก้ไข  |
|--------------------------|---|--|
| FB (fibrin)              | <ul style="list-style-type: none"> <li>- อาจทำให้เกิดผลบวกปลอมเนื่องจาก fibrin ขวางการแทรกตัวของเม็ดเลือดแดง</li> <li>- การใช้ clotted blood ที่ clot ไม่สมบูรณ์</li> <li>- มีการสร้าง fibrin หรือมีการตกลงกันในตัวอย่างที่ผ่านการแข็ง/ถูกคลายหลังแข็ง</li> </ul>   | <ul style="list-style-type: none"> <li>- หากใช้ serum กควรเพิ่มระยะเวลาในการปั่น</li> <li>ตกลงกันให้นานขึ้น</li> <li>- หากใช้ตัวอย่างที่เก็บในตู้เย็นควรนำมาระวังไว้ในอุณหภูมิห้องก่อนการทดสอบ</li> <li>- ควรปั่นล้างผลิตภัณฑ์เซลล์เม็ดเลือดแดงก่อนนำมาทำการทดสอบ</li> </ul> |
| MF (mix field)           | <ul style="list-style-type: none"> <li>- ผู้ป่วยอาจมีการปลุกถ่ายอวัยวะ</li> <li>- ผู้ป่วยมีภาวะ delay hemolytic transfusion reaction</li> <li>- หากพบในการตรวจมุ่งเลือดอาจเป็นไปได้ว่าผู้ป่วยอาจมีหมู่เลือดที่เป็น subgroup</li> </ul>  | <ul style="list-style-type: none"> <li>- ตรวจสอบประวัติของผู้ป่วย</li> <li>- ควรทำการทดสอบช้าๆ หรือการตรวจโดยวิธีอื่นเพื่อยืนยันผลการทดสอบ</li> <li>- ควรทำการทดสอบช้าๆ</li> </ul>   |
| WLL (wrong liquid level) | <ul style="list-style-type: none"> <li>- พนว่าระดับของเหลวใน column น้อยกว่าระดับที่กำหนดในแต่ละการทดสอบ</li> <li>- Software IPS บนเครื่องตรวจวิเคราะห์อัตโนมัติตรวจไม่พบส่วนโค้งของระดับของเหลวหรือส่วนโค้งของเหลวของภาพถ่ายไม่เหมือนกัน</li> <li>- บางครั้งหากมีการใช้ plasma/serum ที่มีลักษณะซุ่นสามารถพบรได้เช่นกัน</li> </ul> | <ul style="list-style-type: none"> <li>- ควรทำการทดสอบช้าๆ</li> </ul>  |

ตาราง 2 (ต่อ)

| สัญลักษณ์   | สาเหตุ  | วิธีแก้ไข  |
|---|---|--|
| TMC (too many cells)<br> | <ul style="list-style-type: none"> <li>- ปริมาณเซลล์เม็ดเดือดแดงมากกว่าปกติ</li> <li>- อาจเกิดจากการเตรียมความเข้มข้นของเซลล์ไม่ได้ปริมาณที่เหมาะสม(มากเกินไป) จึงทำให้เห็นเซลล์เม็ดเดือดแดงที่บว��วนกันหลุบมากกว่าปกติ</li> <li>- การระเหยของผลิตภัณฑ์ที่เตรียมจากเซลล์เม็ดเดือดแดง</li> </ul> | <ul style="list-style-type: none"> <li>- เตรียมเซลล์ใหม่และทำการทดสอบซ้ำ</li> </ul>  |
| BUB (bubble)<br>       | <ul style="list-style-type: none"> <li>- เกิดจากการขันสูง cassette ที่ไม่เหมาะสม</li> <li>- เกิดจากการเปลี่ยนอุณหภูมิในการเก็บอย่างรวดเร็ว จากอุณหภูมน้ำ 2-8 °C มาอย่างอุณหภูมิห้อง</li> </ul>  | <ul style="list-style-type: none"> <li>- ตรวจสอบ cassette ก่อนการใช้งาน หากพบฟองอากาศ ให้นำ cassette ไป centrifuge และสังเกตสภาพของ cassette ว่าไม่มีฟองอากาศ หลงเหลืออยู่ จึงสามารถนำมาใช้งานตามปกติได้ ถ้ายังมีฟองอากาศค้างอยู่ cassette นั้นไม่ควรนำมาใช้</li> <li>- วาง cassette ตั้งไว้ที่อุณหภูมิห้องอย่างน้อย 96 ชั่วโมง</li> </ul> |

ตาราง 2 (ต่อ)

| สัญลักษณ์                  | สาเหตุ  | วิธีแก้ไข   |
|----------------------------|---|---|
| WNF (well not found)       | <p>- software ของเครื่องตรวจวินิเคราะห์ อัตโนมัติไม่สามารถ detect glass bead ใน column ได้</p>   | <p>- ควรทำการทดสอบด้วยตาเปล่า</p> <p>- แจ้งผู้เชี่ยวชาญของบริษัทเพื่อทำการตรวจสอบ</p>   |
| LTH (light too high)       | <p>- หลอดไฟที่ใช้ใกล้หมดอายุการใช้งานเครื่องจึงเพิ่มกำลังขยายของแสงทำให้ความสว่างของแสงที่ใช้ในการอ่านผลการทดสอบส่วนมากดีขึ้น</p>   | <p>- ทำการตรวจสอบหลอดไฟที่ใช้ในเครื่องตรวจวินิเคราะห์ อัตโนมัติ</p> <p>- แจ้งผู้เชี่ยวชาญของบริษัทเพื่อทำการตรวจสอบและเปลี่ยนหลอดไฟ</p> |
| ? (indeterminate reaction) | <p>- software ของเครื่องตรวจวินิเคราะห์ อัตโนมัติไม่สามารถระบุผลการทดสอบได้เนื่องจากผลการทดสอบมีความไม่ชัดเจนของบริเวณพิมพ์เลือดแดงที่กันหลุม</p> <p>- เกิดจากปฏิกิริยา J- effect</p>  | <p>- ควรทำการทดสอบด้วยตาเปล่า</p> <p>- แจ้งผู้เชี่ยวชาญของบริษัทเพื่อทำการตรวจสอบ</p>   |

## บทที่ 3

### วิธีดำเนินงานวิจัย

#### ประชากรและกลุ่มตัวอย่าง

ประชากรเป็นผู้บริจากโลหิต ณ ภาคบริการโลหิตแห่งชาติที่ 8 จังหวัดนครสวรรค์ โดยเก็บตัวอย่างโลหิตที่เหลือจากการตรวจคัดกรองคุณภาพโลหิตประจำวัน คำนวณหาขนาดของกลุ่มตัวอย่างโดยใช้สูตรของ Taro Yamane ซึ่งคำนวณได้จากสูตร

$$n = \frac{N}{1 + Ne^2}$$

n = ขนาดตัวอย่างที่คำนวณได้  
N = จำนวนประชากรที่ทราบค่า  
e = ค่าความคลาดเคลื่อนที่ยอมรับได้ (allowable error)

แทนค่าในสูตรหาขนาดตัวอย่างจากจำนวนประชากรคือ จำนวนโลหิตส่งตรวจคัดกรอง ณ ภาคบริการโลหิตแห่งชาติที่ 8 จังหวัดนครสวรรค์ ประจำปีงบประมาณ 2560 จำนวน 72,663 ราย กำหนดค่าความคลาดเคลื่อนที่ยอมรับได้คือ 0.05

$$n = \frac{72,663}{1 + (72,663 \times (0.05)^2)}$$
$$= 398 \text{ ราย}$$

#### การสุ่มตัวอย่าง

1. ตัวอย่างที่นำมาศึกษาผลกระทบของตัวอย่างส่งตรวจชุ่นต่อการตรวจคัดกรองหมูโลหิตและแคนติบอดีในโลหิตผู้บริจาก สุ่มเลือกตัวอย่างโดยเลือกตัวอย่างที่ชุ่นและไม่ชุ่นในอัตราส่วนที่เท่ากัน เก็บตัวอย่างจำนวน 398 ตัวอย่างแบ่งเป็นตัวอย่างชุ่น 199 ตัวอย่าง และตัวอย่างไม่ชุ่น 199 ตัวอย่าง

2. ศึกษาหาระดับต่อกลีเซอไรด์ กوليโคส และโปรตีนในตัวอย่างส่งตรวจที่มีผลต่อการตรวจหมูโลหิตและแคนติบอดีในโลหิตผู้บริจาก แบ่งเป็น 1) ตัวอย่างที่เตรียมสำหรับตรวจหมูโลหิตโดยนำพลาスマและเม็ดเลือดแดงจากผู้บริจากโลหิตหมูโลหิต B เพื่อให้เห็นปฏิกิริยาทั้งบวกและลบ ใน direct grouping และ indirect grouping จำนวน 16 ราย โดยแต่ละรายมีประวัติการบริจากโลหิตอย่างน้อย 5 ครั้งและไม่เคยตรวจพบ unexpected antibody มากกว่า 2) ตัวอย่างที่เตรียม

สำหรับตรวจคัดกรองแอนติบอดี โดยนำซีรัมจากผู้ป่วยมาตรวจโดยหิทหมูโลหิต AB เพื่อลดปฏิกิริยาซึ่งอาจส่งผลต่อการตรวจคัดกรองแอนติบอดีของ anti-A และ anti-B ในซีรัม ที่มีประวัติการบริจาคโลหิตอย่างน้อย 5 ครั้ง โดยไม่เคยตรวจพบ unexpected antibody จำนวน 16 รายรวมกัน

3. ศึกษาปัจจัยเสี่ยงของระดับความชุน "ไตรกลีเซอไรด์ กลูโคส และโปรตีนในตัวอย่างที่ไม่สามารถรายงานผลได้ โดยการตรวจหมูโลหิตด้วยเครื่องอัตโนมัติ Qwalys 3 "ไม่สามารถสรุปผล"ได้เนื่องจาก error เป็น "?" หรือ "X" จำนวน 105 ตัวอย่าง และการตรวจคัดกรองแอนติบอดีด้วยเครื่องตรวจวิเคราะห์เอนติบอดีอัตโนมัติ Ortho Autovue Innova "ไม่สามารถสรุปผลได้" เนื่องจาก error เป็น "WLL" หรือ "?" จำนวน 105 ตัวอย่าง โดยกลุ่มควบคุมสุ่มเก็บตัวอย่างที่สามารถรายงานผลได้โดยการตรวจหมูโลหิตด้วยเครื่องอัตโนมัติ Qwalys 3 และการตรวจคัดกรองแอนติบอดีด้วยเครื่องตรวจวิเคราะห์เอนติบอดีอัตโนมัติ Ortho Autovue Innova จำนวน 100 ตัวอย่าง

#### ตัวแปรที่ใช้ในการวิจัย

ตัวแปรตัวนั้น (independent variable) ระดับความชุน "ไตรกลีเซอไรด์ กลูโคสและโปรตีนในโลหิตผู้บริจาค

ตัวแปรตาม (dependent variable) ผลการตรวจหมูโลหิตและคัดกรองแอนติบอดีในโลหิตผู้บริจาค

#### วัสดุอุปกรณ์และเครื่องมือ

##### วัสดุอุปกรณ์

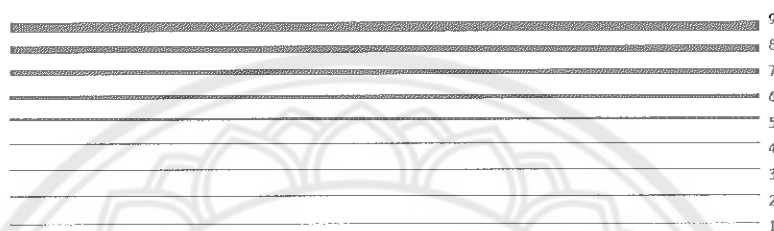
1. แผนภาพ A สำหรับเปรียบเทียบระดับความชุนจากคุณภาพการเก็บและนำส่งส่งตรวจศูนย์บริการเทคนิคการแพทย์คลินิก คณะเทคนิคการแพทย์ มหาวิทยาลัยเชียงใหม่ ดังภาพ 1

2. แผนภาพ B สำหรับประเมินระดับความชุนที่สร้างขึ้นด้วยโปรแกรม powerpoint เป็นการประเมินระดับความชุนตามระดับการมองเห็นของเล็บสีดำซึ่งมีความหนาแน่นต่างๆ โดย 1, 2, 3, 4, 5, 6, 7, 8 และ 9 หมายถึงเล็บที่มีน้ำหนัก  $\frac{1}{4}$ ,  $\frac{1}{2}$ ,  $\frac{3}{4}$ , 1,  $1\frac{1}{2}$ ,  $2\frac{1}{4}$ , 3,  $4\frac{1}{2}$  และ 6 pt ตามลำดับ นำตัวอย่างวางบนแผนภูมิและดูระดับการมองเห็นของเล็บที่สร้างขึ้น ระดับการมองเห็น 1 สามารถเห็นได้ตั้งแต่เล็บที่บางที่สุด ระดับการมองเห็นที่ 9 มองเห็นได้เฉพาะเล็บที่หนาที่สุด และระดับการมองเห็น 10 หมายถึงไม่สามารถมองเห็นเล็บทั้ง 1 ถึง 9 ดังภาพ 10

3. pipet tip

4. plastic tube

5. Intralipid (Fresenius Kabi, ประเทศไทย)
6. Dextrose (Neofleka, ประเทศไทย)
7. Human albumin (ศูนย์บริการโลหิตแห่งชาติ สถาบันกาชาดไทย)
8. Human normal immunoglobulin for intravenous administration (ศูนย์บริการโลหิตแห่งชาติ สถาบันกาชาดไทย)



ภาพ 10 แผนภาพ B สำหรับประเมินระดับความชุนที่สร้างขึ้นด้วยโปรแกรม powerpoint

#### เครื่องมือ

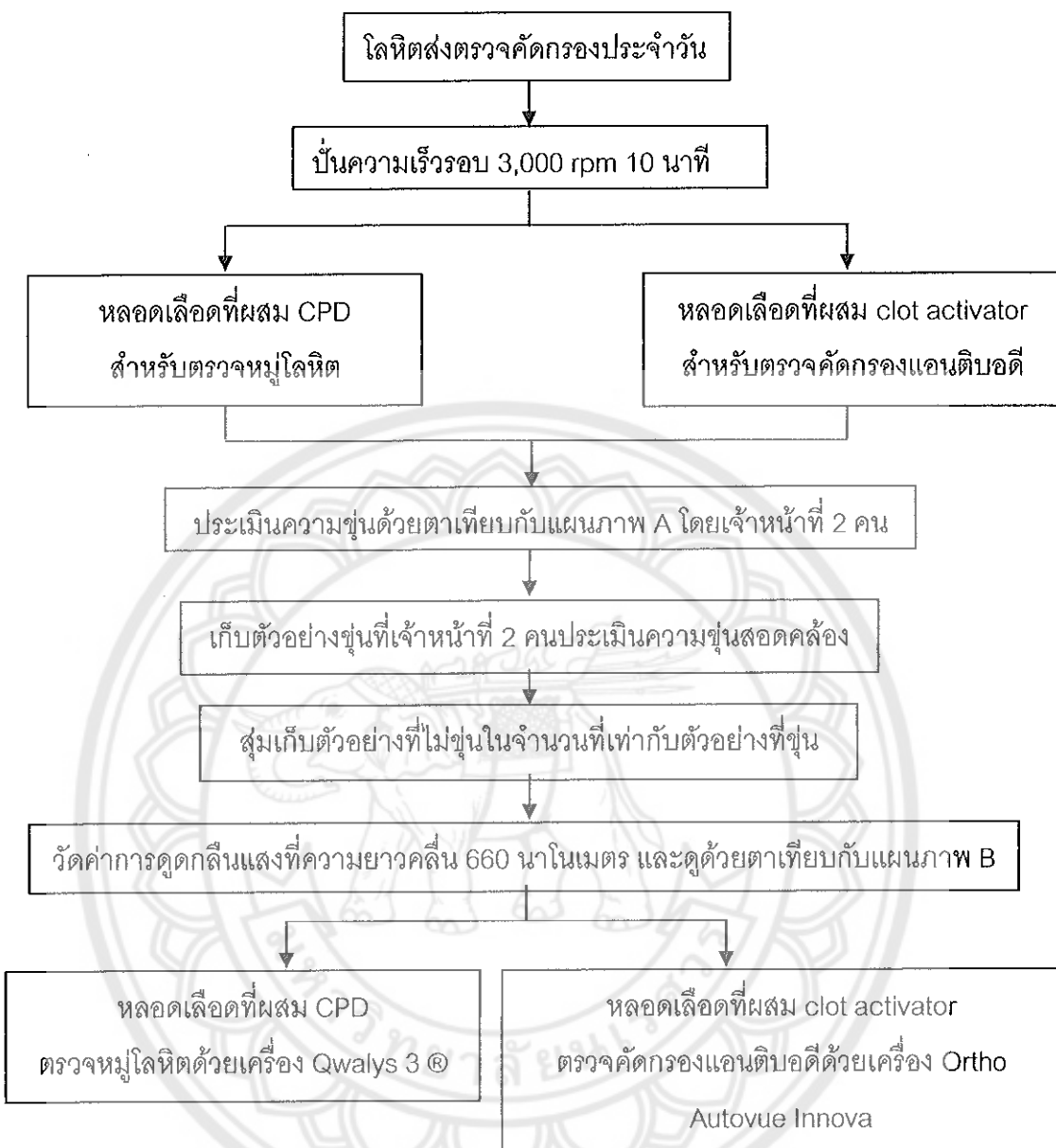
1. เครื่องปั๊มแยกโลหิต KOKUSAN รุ่น H-3G (บริษัท KOKUSAN, ประเทศไทย)
- สำหรับปั๊มแยกโลหิตเพื่อนำไปตรวจหมู่โลหิตและคัดกรองแอนติบอดี
2. เครื่องสเปกโทรไฟโตเมเตอร์ 1000 CECIL (บริษัท Cecil Instrument Limited Milton Technical Centre, ประเทศไทย)
3. เครื่องตรวจวิเคราะห์อัตโนมัติทางเคมีคลินิก (บริษัท Mindray Medical International Limited, ประเทศไทย) สำหรับตรวจหาระดับไตรกลีเซอไรด์ กลูโคส อัลบูมิน โกลบูลินและโปรตีนรวมที่ระดับความเข้มข้นต่างๆ โดยส่งตรวจ ณ เทคนิคการแพทย์แล็บ บำเพ็ญเมือง จังหวัดนครสวรรค์
4. เครื่องตรวจวิเคราะห์หมู่โลหิตอัตโนมัติ Qwalys 3 (บริษัท Diagast, ประเทศไทย)
5. เครื่องตรวจวิเคราะห์เอนติบอดีอัตโนมัติ Ortho Autovue Innova (บริษัทจอห์นสัน เอนด์ จอห์นสัน, ประเทศไทย)
6. autopipet (บริษัท GILSON, ประเทศไทย) สำหรับเจือจางตัวอย่างและฉุดตัวอย่างเพื่อส่งตรวจหาระดับไตรกลีเซอไรด์ กลูโคส อัลบูมิน โกลบูลินและโปรตีนรวม

## การเก็บรวบรวมข้อมูล

- ศึกษาผลกราฟของตัวอย่างส่งตรวจชุ่นต่อการตรวจหมูโลหิตและคัดกรองแคนติบอดีในโลหิตผู้ปฏิบัติ

นำหลอดเลือดสำหรับตรวจหมูโลหิตที่ผสมด้วยสารกันเลือดแจ๊งชนิด citrate phosphate dextrose (CPD) และหลอดเลือดสำหรับตรวจคัดกรองแคนติบอดีที่ผสม clot activator ภายหลังการปั๊มแยกพลาสม่าและซีรัมที่ความเร็วรอบ 3,000 rpm 10 นาที นำมาประเมินความชุ่นโดยเจ้าหน้าที่ 2 คน ประเมินความชุ่นเดียวตามเบรียบเทียนกับแผนภาพ A คัดเลือกเฉพาะหลอดที่เจ้าหน้าที่ 2 คนให้ผลสองคลื่องกัน เมื่อได้ตัวอย่างที่มีความชุ่นแล้ว ให้เจ้าหน้าที่สูญญีบตัวอย่างที่ไม่ชุ่นในจำนวนเท่ากัน นำมาประเมินความชุ่นโดยแผนภาพ B ที่สร้างขึ้น หลังจากนั้นนำไปวัดค่าการดูดกลืนแสงด้วยเครื่องสเปกโทรไฟโตมิเตอร์ที่ความยาวคลื่น 660 นาโนเมตร และนำมาตรวจคัดกรองหมูโลหิตด้วยเครื่องตรวจวิเคราะห์หมูโลหิตอัตโนมัติ Qwalys 3 ส่วนหลอดเลือดผสม clot activator นำมาตรวจคัดกรองแคนติบอดีด้วยเครื่องตรวจวิเคราะห์แคนติบอดีอัตโนมัติ Ortho Autovue Innova

สรุปขั้นตอนดำเนินการกิจยกรรมศึกษาผลกราฟของตัวอย่างส่งตรวจชุ่นต่อการตรวจหมูโลหิตและคัดกรองแคนติบอดีในโลหิตผู้ปฏิบัติ ดังภาพ 11



ภาพ 11 ขั้นตอนดำเนินการวิจัยการศึกษาผลกระแทบทองตัวอย่างส่งตรวจชุน  
ต่อการตรวจหมูโลหิตและคัดกรองแอนติบอดีในโลหิตผู้บริจาค

2. ศึกษาหาระดับไตรกลีเซอไรด์ กลูโคส อัลบูมิน และโกลบูลินโปรตีนรวมในตัวอย่างส่งตรวจที่มีผลต่อการตรวจหมูโลหิตและคัดกรองแอนติบอดีในโลหิตผู้บริจาค
  - 2.1 ศึกษาหาระดับไตรกลีเซอไรด์ กลูโคส อัลบูมิน และโกลบูลินในตัวอย่างส่งตรวจที่มีผลต่อการตรวจหมูโลหิต มีวิธีการทดลองโดยสังเขปดังนี้

2.1.1 เตรียมสารละลายที่ต้องการศึกษาด้วยน้ำเกลือ (0.85% NaCl) ให้มีความเข้มข้นดังนี้ Intralipid<sup>®</sup> 20%, dextrose 20% (D-glucose), albumin 20% และ globulin 5% จากนั้นนำไปรดความเข้มข้นของไตรกลีเซอไรด์ กลูโคส อัลบูมิน และโกลบูลิน ตามลำดับ

2.1.2 นำพลาสมาจากผู้บริจาคโลหิตหมู่โลหิต B จำนวน 16 ราย โดยแต่ละราย มีประวัติการบริจาคโลหิตอย่างน้อย 5 ครั้งและไม่เคยตรวจพบ unexpected antibody มากกว่ากัน จากนั้นนำไปรดความเข้มข้นของไตรกลีเซอไรด์ กลูโคส อัลบูมิน และโกลบูลิน

2.1.3 นำสารละลายเข้มข้นจากข้อ 2.1.1 มาเติมด้วยพลาสมารวมจากข้อ 2.1.2 ให้ได้ความเข้มข้นรวมที่ต้องการ โดยความเข้มข้นสูงสุดเป็นความเข้มข้นที่สารสามารถเตรียมได้ และเจือจางลงจนถึงระดับความเข้มข้นที่เป็นค่าปกติ โดยคำนวณจากสูตร

$$C_1 V_1 + C_2 V_2 = C_{\text{รวม}} V_{\text{รวม}}$$

โดย  $C_1$  หมายถึง ความเข้มข้นของพลาสมารวม

$V_1$  หมายถึง ปริมาตรของพลาสมารวม

$C_2$  หมายถึง ความเข้มข้นของสารละลายเข้มข้นตั้งต้นที่ตรวจวัดได้

$V_2$  หมายถึง ปริมาตรของสารละลายเข้มข้นตั้งต้น

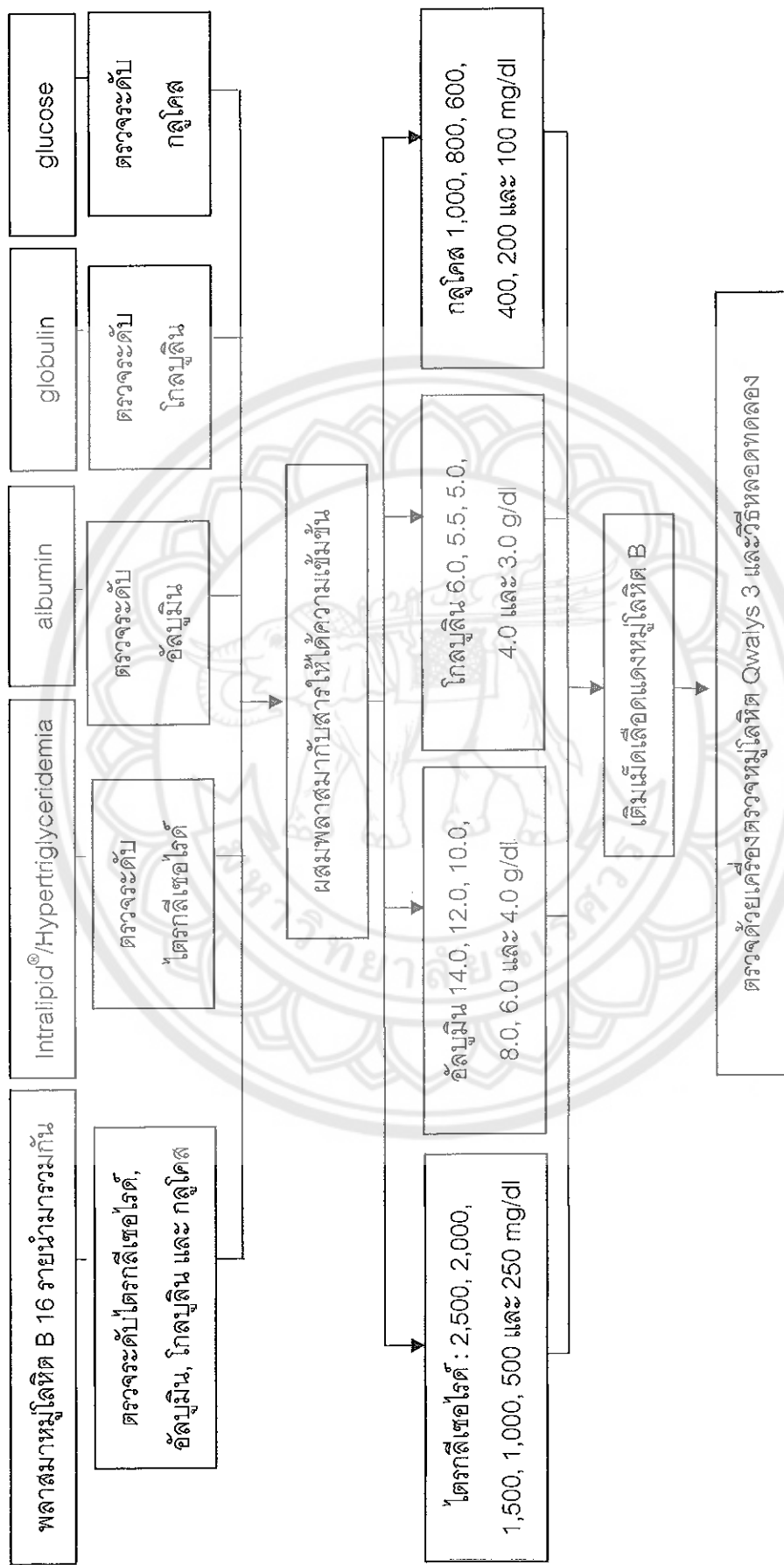
$C_{\text{รวม}}$  หมายถึง ความเข้มข้นรวมของสารที่ต้องการ ดังนี้ ไตรกลีเซอไรด์ 2,500, 2,000, 1,500, 1,000, 500 และ 250 mg/dl อัลบูมิน 14.0, 12.0, 10.0, 8.0, 6.0 และ 4.0 g/dl โกลบูลิน 6.0, 5.5, 5.0, 4.0 และ 3.0 g/dl กลูโคส 1,000, 800, 600, 400, 200 และ 100 mg/dl

$V_{\text{รวม}}$  หมายถึง ปริมาตรรวมของสารที่ต้องการ

2.1.4 จากนั้นเติมเม็ดเลือดแดงหมู่โลหิต B เข้มข้นที่ผ่านการบันล้างอย่างน้อย 3 ครั้งผสมกับพลาสมาที่มีระดับสารซึ่งเคมีต่างๆ นำไปตรวจด้วยเครื่องตรวจวิเคราะห์หมู่โลหิต อัตโนมัติ Qwalys 3 จำนวน 2 ครั้ง

2.1.5 นำตัวอย่างโลหิตของผู้บริจาคโลหิตที่มีลักษณะขุ่นขาว ขันคล้ายนม ตรวจระดับความเข้มข้นของไตรกลีไซด์ได้ 3,400 mg/dl เจือจากเป็นความเข้มข้น 1,700, 850, 425 และ 212.5 mg/dl นำไปตรวจหมู่โลหิตด้วยเครื่องตรวจวิเคราะห์หมู่โลหิตอัตโนมัติ Qwalys 3 จำนวน 2 ครั้ง และทดสอบด้วยวิธีหลอดทดลองเพื่อเปรียบเทียบผล

สรุปขั้นตอนดำเนินการวิจัยการศึกษาหาระดับไตรกลีเซอไรด์ กลูโคส อัลบูมิน โกลบูลินและโปรตีนรวมในตัวอย่างส่งตรวจที่มีผลต่อการตรวจหมู่โลหิต ดังภาพ



ກາງ 12 ຈັນຕອນດຳເນີນກາວົງຈ່າຍກາຣີ ຕຶກຂາທະບຽນໄດ້ຈະເປີໂຕ ກົດໂຄສ ອັບປຸນນີ້ ພລະໂປກລູບຄືນໃນຕົວອ່າງສົງຫຼວງທີ່ມີຜລທ່ານກາຣີ ດັວຈາກນູ່ໂລກ

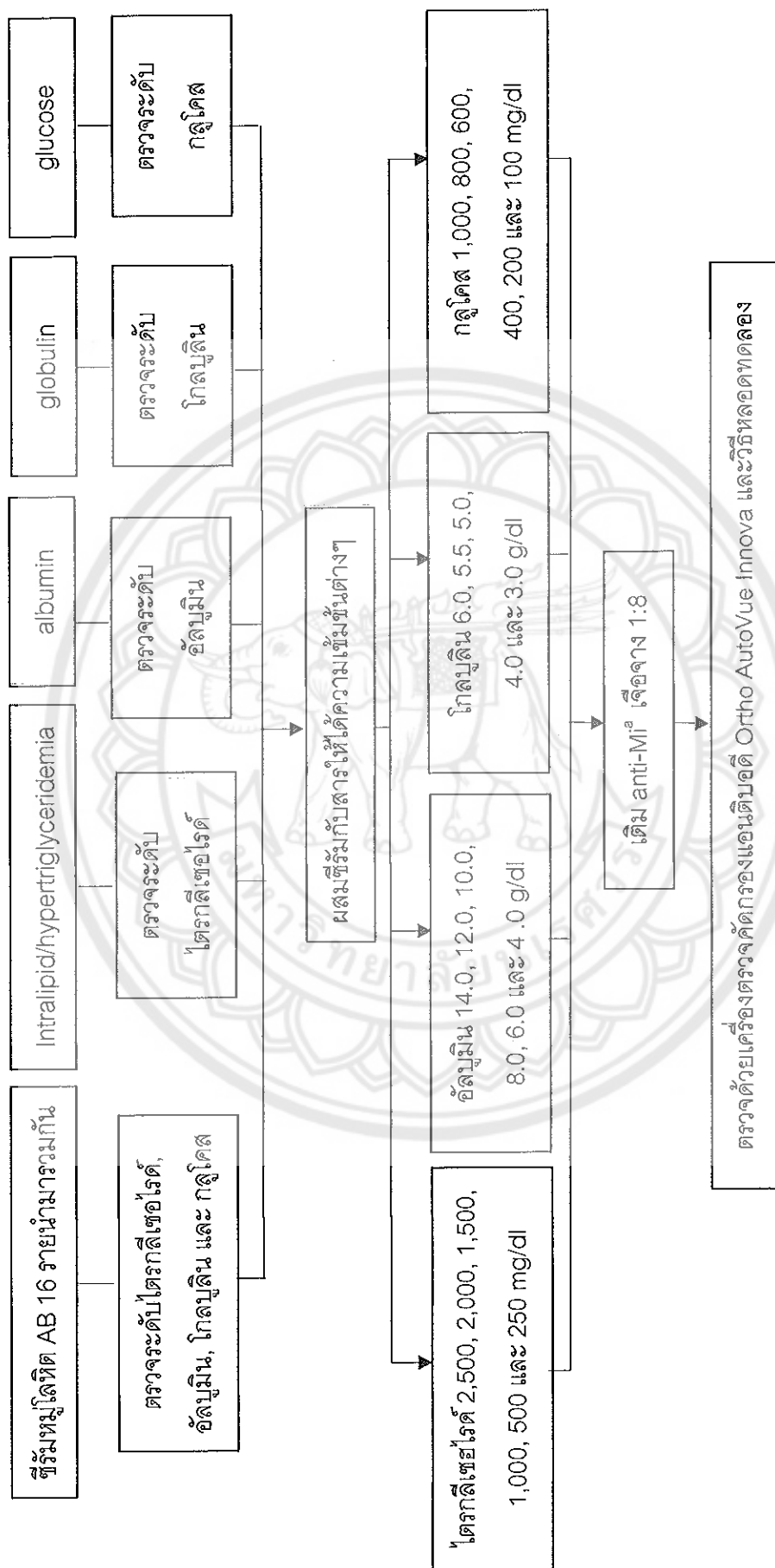
2.2 ศึกษาหาระดับไตรกลีเซอไรด์ กซูโคส อัลบูมิน และโกลบูลินในตัวอย่างส่งตรวจที่มีผลต่อการตรวจคัดกรองแอนติบอดี มีวิธีการทดลองโดยสังเกปดังนี้

2.2.1 นำชิ้นรัมจากผู้บริจาคโลหิตหมูโลหิต AB ที่มีประวัติการบริจาคลอหิตอย่างน้อย 5 ครั้ง โดยไม่เคยตรวจพบ unexpected antibody จำนวน 16 รายมาร่วมกัน

2.2.2 นำสารละลายเข้มข้นจากข้อ 2.1.1 มาเติมด้วยชิ้นรัมรวมจากข้อ 2.2.1 ให้ได้ความเข้มข้นของสารรวมที่ต้องการโดยคำนวนจากสูตรและความเข้มข้นเดียวกับข้อ 2.1.3 จากนั้นเติมน้ำยา anti-Mi<sup>a</sup> IgG ให้เจือจางในอัตราส่วน 1:8 ซึ่งให้ผลลบ (0) ใน screening cell O1 และผลบวก 0.5 (weak) ใน screening cell O2 เพื่อให้เห็นปฏิกิริยาที่เป็นทั้งบวกและลบ จากนั้นนำไปตรวจคัดกรองแอนติบอดีด้วยเครื่องตรวจวิเคราะห์แอนติบอดีอัตโนมัติ Ortho Autovue Innova จำนวน 2 ครั้ง

2.2.3 นำตัวอย่างโลหิตของผู้บริจาคโลหิตที่มีลักษณะญี่ ขาว ขันค้างยนມตรวจระดับความเข้มข้นของไตรกลีเซอไรด์ 3,400 mg/dl เจือจางเป็นความเข้มข้น 1,700, 850, 425 และ 212.5 mg/dl นำไปตรวจคัดกรองแอนติบอดีด้วยเครื่องตรวจวิเคราะห์แอนติบอดีอัตโนมัติ Ortho Autovue Innova จำนวน 2 ครั้ง และทดสอบด้วยวิธีหลอดทดลองเพื่อเบร์ยนเทียบผล

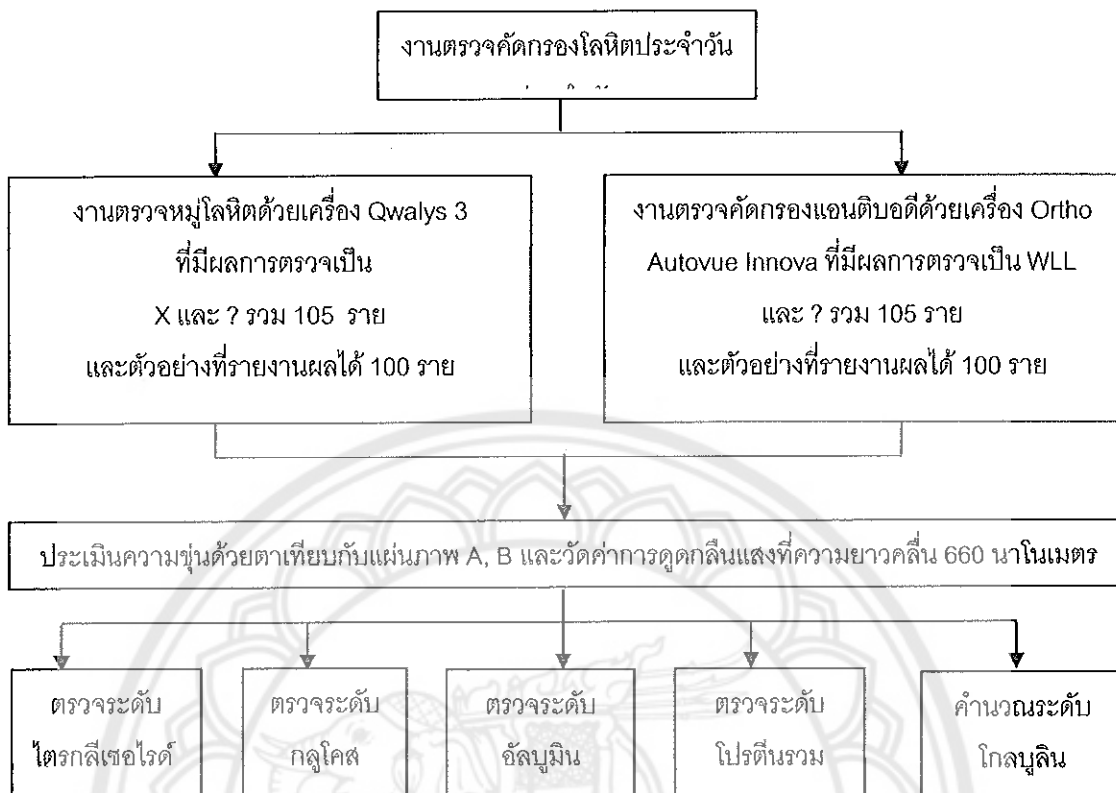
สรุปขั้นตอนดำเนินการวิจัยการศึกษาหาระดับไตรกลีเซอไรด์ กซูโคส อัลบูมิน และโกลบูลินในตัวอย่างส่งตรวจที่มีผลต่อการตรวจคัดกรองแอนติบอดี ดังภาพ 13



ପ୍ରକାଶନ କମିଶନର ଦେଖିଲୁଛି ଏହାର ଅଧିକାରୀ ପାଇଁ ଏହାର ପରିଚାଳନା କରିବାର ପାଇଁ ଏହାର ପରିଚାଳନା କରିବାର ପାଇଁ ଏହାର ପରିଚାଳନା କରିବାର ପାଇଁ

2. ศึกษาปัจจัยเสี่ยงของระดับความชุน ไตรก้าลีเซอไรต์ กลูโคส อัลบูมิน โกลบูลิน และโปรตีนรวมในตัวอย่างส่งตรวจที่มีผลต่อการตรวจหมูโลหิตด้วยเครื่องอัตโนมัติ Qwalys 3 และการตรวจคัดกรองเคนติบอดีด้วยเครื่องตรวจวิเคราะห์เคนติบอดีอัตโนมัติ Ortho Autovue Innova นำเข้ารัมที่มีผลการตรวจหมูโลหิตด้วยเครื่องอัตโนมัติ Qwalys 3 ที่รายงานผลจากเครื่องเป็น "?" และ "X" จำนวน 105 ราย และผลการตรวจคัดกรองเคนติบอดีด้วยเครื่องตรวจวิเคราะห์เคนติบอดีอัตโนมัติ Ortho Autovue Innova ที่รายงานผลจากเครื่องเป็น "?" และ "WLL" จำนวน 105 ราย โดยเก็บเข้ารัมที่สามารถรายงานผลได้โดยการตรวจหมูโลหิตด้วยเครื่องอัตโนมัติ Qwalys 3 และการตรวจคัดกรองเคนติบอดีด้วยเครื่องตรวจวิเคราะห์เคนติบอดีอัตโนมัติ Ortho Autovue Innova จำนวน 100 ราย นำมาตรวจหาระดับความชุน ไตรก้าลีเซอไรต์ กลูโคส อัลบูมิน และโปรตีนรวมในตัวอย่างส่งตรวจ

สรุปข้อเสนอคำแนะนำการวิจัยการศึกษาปัจจัยเสี่ยงของระดับความชุน ไตรก้าลีเซอไรต์ กลูโคส อัลบูมิน โกลบูลินและโปรตีนรวมในตัวอย่างส่งตรวจที่มีผลต่อการตรวจหมูโลหิตด้วยเครื่องอัตโนมัติ Qwalys 3 และการตรวจคัดกรองเคนติบอดีด้วยเครื่องตรวจวิเคราะห์เคนติบอดีอัตโนมัติ Ortho Autovue Innova ดังภาพ 14



ภาพ 14 ขั้นตอนดำเนินการวิจัยการศึกษาปัจจัยเสี่ยงของระดับความชุน  
ไตรกลีเซอไรด์ กลูโคส อัลบูมิน โกลบูลิน และโปรตีนรวมในตัวอย่าง  
ส่งตรวจที่มีผลต่อการตรวจหาหมูโลหิตด้วยเครื่องอัตโนมัติ Qwalys 3  
และการตรวจคัดกรองเอนติบอดี ด้วยอัตโนมัติ Ortho Autovue Innova

#### วิธีวิเคราะห์ข้อมูล

- หากความสัมพันธ์ระหว่างระดับความชุนของตัวอย่างส่งตรวจกับผลการตรวจคัดกรอง  
หมูโลหิตและเอนติบอดีในโลหิตผู้บริจาคโดยใช้สถิติ Chi-square test
- หาระดับไตรกลีเซอไรด์ กลูโคส อัลบูมิน โกลบูลิน และโปรตีนรวมในตัวอย่างส่งตรวจ  
ที่มีผลต่อการตรวจคัดกรองหมูโลหิตและเอนติบอดีในโลหิตผู้บริจาคโดยเปลี่ยนเทียบผลตรวจ  
ระหว่างกลุ่มทดลองและกลุ่มควบคุม
- วิเคราะห์ปัจจัยเสี่ยงของระดับความชุน ไตรกลีเซอไรด์ กลูโคส อัลบูมิน โกลบูลิน และ  
โปรตีนรวมในตัวอย่างส่งตรวจที่มีผลต่อการตรวจหาหมูโลหิตด้วยเครื่องอัตโนมัติ Qwalys 3 และการ  
ตรวจคัดกรองเอนติบอดีด้วยเครื่องอัตโนมัติ Ortho Autovue Innova โดยสถิติ Chi-square test  
และการวิเคราะห์ค่า Odds ratio โดยใช้ logistic analysis

## บทที่ 4

### ผลการวิจัย

#### ข้อมูลทั่วไปของกลุ่มตัวอย่าง

จากการสุ่มเก็บตัวอย่างโดยหิตร่องผู้บริจากโดยเก็บตัวอย่างชุนและไม่ชุนจากการประเมินด้วยตาเทียบกับแผนภาพ A กลุ่มละ 199 ราย จำนวนรวม 398 ราย เป็นเพศชาย 266 ราย (ร้อยละ 66.8) เพศหญิง 132 ราย (ร้อยละ 33.2) พบร่วกสุ่มตัวอย่างชุนเป็นเพศชายมากกว่ากลุ่มตัวอย่างปกติ (ร้อยละ 76.4 และ 57.3 ตามลำดับ) ค่าที่มีนัยสำคัญ ( $p < 0.001$ ) กลุ่มตัวอย่างมีช่วงอายุระหว่าง 17-63 ปี ในกลุ่มตัวอย่างชุนอายุเฉลี่ย 39 ปี กลุ่มตัวอย่างปกติอายุเฉลี่ย 36 ปี พนวนาอยุ่มีความสัมพันธ์กับภาวะตัวอย่างชุน ( $p = 0.005$ ) โดยกลุ่มตัวอย่างที่มีอายุมากกว่า 35 ปีพบในกลุ่มตัวอย่างชุนมีอัตราสูงกว่ากลุ่มที่ไม่ชุน แสดงดังตาราง 3

ตาราง 3 ข้อมูลทั่วไปของกลุ่มตัวอย่างและความสัมพันธ์กับภาวะพลาสม่าชุน

| คุณลักษณะ | ตัวอย่างชุน<br>จำนวน (ร้อยละ)<br>n=199 | ตัวอย่างปกติ<br>จำนวน (ร้อยละ)<br>n=199 | p value |
|-----------|--|---|---------|
| เพศ       |  |   |         |
| ชาย       | 152 (76.4)                             | 114 (57.3)                              | <0.001  |
| หญิง      | 47 (23.6)                              | 85 (42.7)                               |         |
| อายุ (ปี) |  |   |         |
| 17 – 25   | 25 (12.6)                              | 51 (25.6)                               | 0.005   |
| 26 – 35   | 50 (25.1)                              | 53 (26.6)                               |         |
| 36 – 45   | 58 (29.1)                              | 42 (21.1)                               |         |
| >45       | 66 (33.2)                              | 53 (26.6)                               |         |

## ผลกระทบของตัวอย่างส่งตรวจชุ่นต่อการตรวจมูโลหิตและตรวจคัดกรองแอนติบอดีในโลหิตผู้บริจาค

### 1. ผลการเปรียบเทียบการประเมินความชุ่นในพลาสมาและซีรัมจาก 3 วิธี

การศึกษานี้ได้ทำการประเมินความชุ่นของตัวอย่างพลาสมาและซีรัม 3 วิธี ได้แก่ การดูดวยตาเบรี่ยบเทียบกับแผนภาพ A แผนภาพ B และการวัดการดูดกลืนแสงด้วยเครื่องสเปคโทรไฟโตมิเตอร์ที่ความยาวคลื่น 660 นาโนเมตร ผลการประเมินความชุ่นของพลาสมากลอดเลือดที่ผสมด้วยสารกันเลือดแข็งชนิด CPD แสดงดังตาราง 4 ซึ่งพบว่าพลาสมากลุ่มตัวอย่างที่ประเมินความชุ่นโดยเบรี่ยบเทียบกับแผนภาพ A เป็นระดับ 0 เมื่อประเมินด้วยแผนภาพ B ได้ค่าระดับ 1 ทั้งหมด (199 ราย) ค่าการดูดกลืนแสงที่ความยาวคลื่น 660 นาโนเมตรอยู่ระหว่าง 0.034-0.736 ค่าเฉลี่ย 0.176 ส่วนในกลุ่มตัวอย่างที่ประเมินเทียบกับแผนภาพ A มีความชุ่นระดับ 1+ ถึง 4+ พบร่วมกับแผนภาพ B มีความชุ่นทุกระดับ ได้แก่ ระดับ 1-2, 3-4, 5-6, 7-8 และ 9-10 และพบค่าการดูดกลืนแสงที่ความยาวคลื่น 660 นาโนเมตรมีค่าเฉลี่ยเพิ่มขึ้นตามลำดับความชุ่นที่ประเมินโดยเทียบกับแผนภาพ A เมื่อวิเคราะห์ความสัมพันธ์ของการประเมินความชุ่นด้วยแผนภาพ A กับแผนภาพ B พบร่วมมีความสัมพันธ์กันอย่างมีนัยสำคัญ ( $p <0.001$ ) ด้วยค่าสัมประสิทธิ์สัมพันธ์ (Correlation coefficient, r) เท่ากับ 0.578 การประเมินความชุ่นด้วยแผนภาพ A กับการวัดค่าการดูดกลืนแสงที่ความยาวคลื่น 660 นาโนเมตร พบร่วมมีความสัมพันธ์กันอย่างมีนัยสำคัญ ( $p <0.001$ ) ค่าสัมประสิทธิ์สัมพันธ์เท่ากับ 0.904 ส่วนการประเมินความชุ่นด้วยแผนภาพ B กับการวัดค่าการดูดกลืนแสงที่ความยาวคลื่น 660 นาโนเมตร พบร่วมมีความสัมพันธ์กันอย่างมีนัยสำคัญ ( $p <0.001$ ) ค่าสัมประสิทธิ์สัมพันธ์เท่ากับ 0.692

ตาราง 4 เปรียบเทียบการประเมินความชุ่นของพลาสม่าด้วยตาเที่ยนกับแผนภาพ A  
แผนภาพ B และค่าการดูดกลืนแสงที่ความยาวคลื่น 660 นาโนเมตร, n=398

| แผนภาพ |     | แผนภาพ B* |     |     |      |                            | ค่าการดูดกลืนแสง**,** | รวม |
|--------|-----|-----------|-----|-----|------|----------------------------|-----------------------|-----|
| A      | 1-2 | 3-4       | 5-6 | 7-8 | 9-10 | range (mean, sd)           | (ราย)                 |     |
| 0      | 199 | 0         | 0   | 0   | 0    | 0.034-0.736 (0.176, 0.128) | 199                   |     |
| 1+     | 56  | 11        | 2   | 1   | 2    | 0.424-1.670 (0.785, 0.247) | 72                    |     |
| 2+     | 37  | 17        | 10  | 1   | 3    | 0.649-1.840 (1.124, 0.313) | 68                    |     |
| 3+     | 17  | 6         | 2   | 3   | 6    | 0.768-2.370 (1.652, 0.358) | 34                    |     |
| 4+     | 8   | 2         | 1   | 3   | 11   | 0.923-2.740 (1.924, 0.546) | 25                    |     |

หมายเหตุ \* หมายถึงความสัมพันธ์ของความชุ่นระหว่างการดูดเทียบกับแผนภาพ A และ B, p <0.001, r = 0.578; \*\* หมายถึงความสัมพันธ์ของความชุ่นระหว่างการดูดเทียบกับแผนภาพ A และค่าการดูดกลืนแสง, p <0.001, r = 0.904; \*\*\* หมายถึงความสัมพันธ์ของความชุ่นระหว่างการดูดเทียบกับแผนภาพ B และค่าการดูดกลืนแสง, p <0.001, r = 0.692

ผลการประเมินความชุ่นของซีรัมจากหลอดเลือดที่ผิวสมด้วยสาร clot activator แสดงดังตาราง 5 ซึ่งพบว่าซีรัมกลุ่มตัวอย่างที่ประเมินความชุ่นโดยเบรี่ยบเทียบระดับความชุ่นกับแผนภาพ A เป็นระดับ 0 เมื่อประเมินด้วยแผนภาพ B ได้ค่าระดับ 1 หั้งนมด (199 ราย) ค่าการดูดกลืนแสงที่ความยาวคลื่น 660 นาโนเมตรอยู่ระหว่าง 0.015-1.000 ค่าเฉลี่ย 0.218 ส่วนในกลุ่มตัวอย่างที่ประเมินเทียบกับแผนภาพ A มีความชุ่นระดับ 1+ ถึง 4+ พบร่วมกับแผนภาพ B มีความชุ่นทุกระดับ และพบค่าการดูดกลืนแสงที่ความยาวคลื่น 660 นาโนเมตรมีค่าเฉลี่ยเพิ่มขึ้นตามลำดับความชุ่นที่ประเมินโดยเทียบกับแผนภาพ A เมื่อวิเคราะห์ความสัมพันธ์ของการประเมินความชุ่นด้วยแผนภาพ A กับแผนภาพ B พบร่วมกับแผนภาพ A มีนัยสำคัญ ( $p <0.001$ ) ด้วยค่าสัมประสิทธิ์สหสัมพันธ์เท่ากับ 0.653 การประเมินความชุ่นด้วยแผนภาพ A กับการวัดค่าการดูดกลืนแสงที่ความยาวคลื่น 660 นาโนเมตร พบร่วมกับแผนภาพ B มีนัยสำคัญ ( $p <0.001$ ) ค่าสัมประสิทธิ์สหสัมพันธ์เท่ากับ 0.933 ส่วนการประเมินความชุ่นด้วยแผนภาพ B กับการวัดค่าการดูดกลืนแสงที่ความยาวคลื่น 660 นาโนเมตร พบร่วมกับแผนภาพ A มีนัยสำคัญ ( $p <0.001$ ) ค่าสัมประสิทธิ์สหสัมพันธ์เท่ากับ 0.690

ตาราง 5 เปรียบเทียบการประเมินความชุ่นของชีรัมด้วยตาเทียบกับแผนภาพ A  
แผนภาพ B และค่าการดูดกลืนแสงที่ความยาวคลื่น 660 นาโนเมตร, n=398

| แผนภาพ | แผนภาพ B* |     |     |     |     | ค่าการดูดกลืนแสง**,**      | รวม |
|--------|-----------|-----|-----|-----|-----|----------------------------|-----|
|        | A         | 1-2 | 3-4 | 5-6 | 7-8 | 9-10                       |     |
| 0      | 199       | 0   | 0   | 0   | 0   | 0.015-1.000 (0.218, 0.188) | 199 |
| 1+     | 51        | 5   | 0   | 1   | 0   | 0.450-1.678 (0.798, 0.259) | 57  |
| 2+     | 34        | 9   | 7   | 2   | 0   | 0.744-1.904 (1.122, 0.267) | 52  |
| 3+     | 25        | 5   | 7   | 11  | 9   | 0.969-2.490 (1.636, 0.347) | 57  |
| 4+     | 6         | 5   | 6   | 2   | 14  | 1.322-2.760 (2.153, 0.322) | 33  |

หมายเหตุ \* หมายถึงความสัมพันธ์ของความชุ่นระหว่างการดูเทียบกับแผนภาพ A และ B, p <0.001, r = 0.653; \*\* หมายถึงความสัมพันธ์ของความชุ่นระหว่างการดูเทียบกับแผนภาพ A และค่าการดูดกลืนแสง, p <0.001, r = 0.933; \*\*\* หมายถึงความสัมพันธ์ของความชุ่นระหว่างการดูเทียบกับแผนภาพ B และค่าการดูดกลืนแสง, p <0.001, r = 0.690

## 2. ความสัมพันธ์ของระดับความชุ่นต่อผลการตรวจหมูโลหิต

ผลการตรวจหมูโลหิตจากหลอดตัวอย่างผ่าป่างผสมด้วยสารกันเลือดแข็งชนิด CPD ด้วยเครื่องตรวจนิวเคลียร์ Qwaly 3 จำนวนรวม 398 ราย พบร้าสามารถรายงานผลได้ 371 ราย (ร้อยละ 93.2) ไม่สามารถรายงานผลได้ 27 ราย (ร้อยละ 6.8) โดยพบ error เป็น "X" 7 ราย (ร้อยละ 1.8) และ "?" 20 ราย (ร้อยละ 5.0) ผลการตรวจนิวเคลียร์ความสัมพันธ์กับความชุ่นของพลาสมາของตัวอย่างแสดงรายละเอียดดังตาราง 6 พบร้าความชุ่นของพลาสมากจากการประเมินความชุ่นแผนภาพ A และผลการตรวจของหมูโลหิตพบว่าไม่มีความสัมพันธ์กันทั้งการประเมินแบบรวมและแบบแยกเป็น error "X" และ "?" ( $p = 0.400, 0.601$  และ  $0.751$  ตามลำดับ) และดูได้จากข้อมูลอัตราการรายงานผลได้และไม่ได้ไม่แตกต่างอย่างมีนัยสำคัญในความชุ่นของพลาสมาระดับต่างๆ และพบว่าความชุ่นของพลาสมากจากการประเมินความชุ่นแผนภาพ B และผลการตรวจของหมูโลหิตไม่มีความสัมพันธ์กันทั้งนิวเคลียร์ด้วยจำนวนรวม error "X" และ error "?" ( $p = 0.529, 0.184$  และ  $1.000$  ตามลำดับ) นอกจากนี้ยังพบว่าความชุ่นของพลาสมากจากการดูดกลืนแสงที่ความยาวคลื่น 660 นาโนเมตรและผลการตรวจของหมูเลือดไม่มีความสัมพันธ์กันทั้งการประเมินแบบรวมและแบบแยกเป็น error "X" และ "?" ( $p = 0.558, 0.600$  และ  $1.000$  ตามลำดับ)

ตารางที่ 6 ความสัมพันธ์ระหว่างตัวแปรที่น่าสนใจทั้งหมดกับผลการตัดสินใจด้วยวิธี Qwalsys 3 ที่ร้ายแรงถึงไม่ร้าย

| ผลการตรวจ       | ร้ายแรงถึงไม่ร้าย |                      |         | ร้ายแรงแต่ไม่ถึง |         |               |
|-----------------|-------------------|----------------------|---------|------------------|---------|---------------|
|                 | จำนวน<br>(ร้อยละ) | จำนวนรวม<br>(ร้อยละ) | p value | X<br>(ร้อยละ)    | p value | ?<br>(ร้อยละ) |
| n=371           | n=27              | n=7                  |         | n=20             |         |               |
| แผนภูม A        |                   |                      |         |                  |         |               |
| 0 - 2+          | 314 (84.6)        | 25 (92.6)            | 0.400   | 7 (100.0)        | 0.601   | 18 (90.0)     |
| 3+ - 4+         | 57 (15.4)         | 2 (7.4)              |         | 0 (0.0)          |         | 2 (10.0)      |
| แผนภูม B        |                   |                      |         |                  |         |               |
| 1 - 4           | 330 (88.9)        | 23 (85.2)            | 0.529   | 5 (71.4)         | 0.184   | 18 (90.0)     |
| 5 - 10          | 41 (11.1)         | 4 (14.8)             |         | 2 (28.6)         |         | 2 (10.0)      |
| ค่าการถูกลืนเสษ |                   |                      |         |                  |         |               |
| $\leq 1,500$    | 319 (86.0)        | 25 (92.6)            | 0.558   | 7 (100.0)        | 0.600   | 18 (90.0)     |
| $> 1,500$       | 52 (14.0)         | 2 (7.4)              |         | 0 (0.0)          |         | 2 (10.0)      |

### 3. ความสัมพันธ์ของระดับความชุ่นต่อผลการตรวจคัดกรองแอนติบอดี

ผลการตรวจคัดกรองแอนติบอดีด้วยเครื่องตรวจวิเคราะห์อัตโนมัติ Ortho AutoVue Innovia จำนวนรวม 398 ราย พบร่วมกับความสามารถรายงานผลได้ 355 ราย (ร้อยละ 89.2) ไม่สามารถรายงานผลได้ 43 ราย (ร้อยละ 10.8) โดยพบ error เป็น "WLL" 20 ราย (ร้อยละ 5.0) และ "?" 23 ราย (ร้อยละ 5.8) ผลการวิเคราะห์ความสัมพันธ์กับความชุ่นของซีรัมของตัวอย่างตรวจแสดงรายละเอียดดังตาราง 7 เมื่อวิเคราะห์ความสัมพันธ์ระหว่างความชุ่นของซีรัมของตัวอย่างตรวจแสดงรายการเส้นด้วยแผนภาพ A และผลการตรวจคัดกรองแอนติบอดี พบร่วมกับความสามารถรายงานผลไม่ได้แบบรวมและแบบแยกเป็น error "WLL" ( $p = 0.003$  และ  $<0.001$  ตามลำดับ) โดยพบว่าตัวอย่างที่ประเมินความชุ่นด้วยแผนภาพ A เป็น 3+ และ 4+ พบร่วมกับเครื่องไม่สามารถรายงานผลได้โดยรวม (ร้อยละ 41.9) และไม่สามารถรายงานผลได้เป็น error "WLL" (ร้อยละ 80.0) ซึ่งเป็นอัตราที่สูงกว่าที่รายงานผลได้ (ร้อยละ 20.3) แต่ไม่พบความสัมพันธ์ของความชุ่นของซีรัมจากการประเมินความชุ่นด้วยแผนภาพ A กับการตรวจคัดกรองแอนติบอดีที่รายงานผลไม่ได้เป็น error เป็น "?" ( $p = 0.276$ ) ส่วนการวิเคราะห์ความสัมพันธ์ระหว่างความชุ่นของซีรัมจากการประเมินความชุ่นด้วยแผนภาพ B และผลการตรวจคัดกรองแอนติบอดี พบร่วมกับความสามารถรายงานผลไม่ได้แบบรวมและแบบแยกเป็น error "WLL" ( $p <0.001$  และ  $<0.001$  ตามลำดับ) โดยพบว่าตัวอย่างที่ประเมินความชุ่นด้วยแผนภาพ B เป็นระดับ 5 ขึ้นไป พบร่วมกับเครื่องไม่สามารถรายงานผลได้โดยรวม (ร้อยละ 39.5) และไม่สามารถรายงานผลได้เป็น error "WLL" (ร้อยละ 80.0) ซึ่งเป็นอัตราที่สูงกว่าที่รายงานผลได้ (ร้อยละ 11.8) แต่ไม่พบความสัมพันธ์ของความชุ่นของตัวอย่างจากการประเมินด้วยแผนภาพ B กับการตรวจคัดกรองแอนติบอดีที่รายงานผลไม่ได้เป็น error "?" ( $p = 0.495$ ) เมื่อวิเคราะห์ความสัมพันธ์ระหว่างความชุ่นของซีรัมจากการวัดค่าการดูดกลืนแสงและผลการตรวจคัดกรองแอนติบอดี พบร่วมกับความสามารถรายงานผลไม่ได้แบบรวมและแบบแยกเป็น error "WLL" ( $p = 0.021$  และ  $<0.001$  ตามลำดับ) โดยตัวอย่างที่ประเมินความชุ่นด้วยค่าการดูดกลืนแสง  $>1.500$  ขึ้นไป พบร่วมกับเครื่องไม่สามารถรายงานผลได้โดยรวม (ร้อยละ 32.6) ซึ่งเป็นอัตราที่สูงกว่าที่รายงานผลได้ (ร้อยละ 16.9) และพบว่าตัวอย่างที่ประเมินความชุ่นด้วยค่าการดูดกลืนแสง  $>1.500$  ขึ้นไป ไม่สามารถรายงานผลได้เป็น error "WLL" (ร้อยละ 65.0) ซึ่งเป็นอัตราที่สูงกว่าที่รายงานผลได้ (ร้อยละ 16.9) แต่ไม่พบความสัมพันธ์ของความชุ่นของตัวอย่างจากการประเมินด้วยการวัดค่าการดูดกลืนแสงกับการตรวจคัดกรองแอนติบอดีที่รายงานผลไม่ได้เป็น error เป็น "?" ( $p = 0.147$ )

ตาราง 7 ความสัมพันธ์ระหว่างความทุบตันของรากและจำนวนครั้งการตรวจพบผู้ป่วยด้วยเครื่อง Ortho Autovue Innova ที่รายงานผลไม่ได้

| ชีวะ               | รายงานผลได้       |                      | รายงานผลไม่ได้    |           | p value | p value   | ?     |
|--------------------|-------------------|----------------------|-------------------|-----------|---------|-----------|-------|
|                    | จำนวน<br>(ร้อยละ) | จำนวนรวม<br>(ร้อยละ) | จำนวน<br>(ร้อยละ) | n=43      | n=20    | (ร้อยละ)  | n=23  |
| <b>แผนภูม A</b>    |                   |                      |                   |           |         |           |       |
| 0 - 2+             | 283 (79.7)        | 25 (58.1)            | 0.003             | 4 (20.0)  | <0.001  | 21 (91.3) | 0.276 |
| 3+ - 4+            | 72 (20.3)         | 18 (41.9)            |                   | 16 (80.0) |         | 2 (8.7)   |       |
| <b>แผนภูม B</b>    |                   |                      |                   |           |         |           |       |
| 1 - 4              | 313 (88.2)        | 26 (60.5)            | <0.001            | 4 (20.0)  | <0.001  | 22 (95.7) | 0.495 |
| 5 - 10             | 42 (11.8)         | 17 (39.5)            |                   | 16 (80.0) |         | 1 (4.3)   |       |
| <b>ค่าการทดสอบ</b> |                   |                      |                   |           |         |           |       |
| <b>ผล</b>          |                   |                      |                   |           |         |           |       |
| ≤1.500             | 295 (83.1)        | 29 (67.4)            | 0.021             | 7 (35.0)  | <0.001  | 22 (95.7) | 0.147 |
| >1.500             | 60 (16.9)         | 14 (32.6)            |                   | 13 (65.0) |         | 1 (4.3)   |       |

## ผลการศึกษาระดับอัลบูมิน โกลบูลิน ไตรกลีเซอไรด์ และกัลโคลสในตัวอย่างส่งตรวจที่มีผลต่อการตรวจหาโลหิตและการตรวจคัดกรองแอนติบอดีในโลหิตผู้บริจาค

การหาระดับอัลบูมิน โกลบูลิน ไตรกลีเซอไรด์ และกัลโคลสในตัวอย่างส่งตรวจที่มีผลต่อการตรวจหาโลหิตด้วยเครื่อง Qwalys 3 โดยนำเม็ดเลือดแดงและพลาสมามาหมูโลหิต B รวมกับสารที่ความเข้มข้นที่ระดับต่างๆ พบว่าเครื่องตรวจวิเคราะห์สามารถรายงานผลได้ในตัวอย่างที่มีระดับอัลบูมินความเข้มข้น 4.0-14.0 g/dl โกลบูลินที่ระดับความเข้มข้น 3.0-6.0 g/dl กัลโคลสที่ระดับความเข้มข้น 100-800 mg/dl แต่พบว่ากัลโคลสที่ระดับความเข้มข้น 1,000 mg/dl เครื่องไม่สามารถรายงานผลได้ โดยพบ error เป็น "?" เมื่อนำมาทดสอบด้วยวิธีหลอดทดลองพบว่า cell grouping เกิดปฏิกิริยา 4+ กับน้ำยา anti-B แต่ serum grouping เกิดปฏิกิริยา 1+ กับ A cell ส่วนไตรกลีเซอไรด์ทดสอบโดยเติม intralipid<sup>®</sup> ในเม็ดเลือดแดงและพลาสมามาหมูโลหิต B พบว่าเครื่องตรวจวิเคราะห์ไม่สามารถรายงานผลได้โดยพบ error เป็น "?" ที่ระดับความเข้มข้น 250-2,500 mg/dl พบ error เป็น "X" ที่ระดับความเข้มข้น 500 mg/dl เมื่อทดสอบด้วยวิธีหลอดทดลองพบว่าตัวอย่างมีลักษณะขาว 浑浊 ข้นคล้ายนม ทำให้ไม่สามารถงเทียนปฏิกิริยาที่เกิดได้ชัดเจน หลังจากนั้นได้คัดเลือกตัวอย่างโลหิตของผู้บริจาคหมูโลหิต B ที่มีลักษณะขาวข้น (hypertriglyceridemia) จำนวน 1 ราย ไปตรวจวัดระดับไตรกลีเซอไรด์พบได้ค่า 3,400 mg/dl และทำการเจือจางเป็นระดับความเข้มข้น 1,700, 850, 425, 212 และ 106 mg/dl พบเครื่องตรวจวิเคราะห์สามารถรายงานผลได้โดยพบ error เป็น "?" ที่ระดับความเข้มข้น 1,700 mg/dl และ "X" ที่ระดับความเข้มข้น 3,400 mg/dl ซึ่งทดสอบด้วยวิธีหลอดทดลองพบปฏิกิริยาสามารถรายงานผลได้ปกติ แสดงดังตาราง 8

การหาระดับอัลบูมิน โกลบูลิน ไตรกลีเซอไรด์ และกัลโคลสในตัวอย่างส่งตรวจที่มีผลต่อการตรวจคัดกรองแอนติบอดีด้วยเครื่อง Ortho Autovue Innova โดยเจือจางน้ำยา anti-MI<sup>a</sup> ที่ระดับความเข้มข้น 1:8 ซึ่งยังคงสามารถรายงานผลได้เป็นปก "0.5" ใช้ในการทดสอบครั้งนี้ พบว่าอัลบูมินที่ระดับความเข้มข้น 4.0-10.0 g/dl เครื่องตรวจวิเคราะห์สามารถรายงานผลได้เป็น "0.5" ที่ระดับความเข้มข้น 12.0-14.0 g/dl รายงานผลเป็น "1" และระดับความเข้มข้น 14.0 g/dl พบผลบวกปลอมที่ screening cell O1 โดยรายงานผลเป็น "0.5" ซึ่งสอดคล้องกับการทดสอบด้วยวิธีหลอดทดลอง โกลบูลินที่ระดับความเข้มข้น 3.0-5.5 g/dl เครื่องตรวจวิเคราะห์สามารถรายงานผลได้เป็น "0.5" ที่ระดับความเข้มข้น 6.0 g/dl รายงานผลเป็น "3" และระดับความเข้มข้น 6.0 g/dl พบผลบวกปลอมที่ screening cell O1 โดยรายงานผลเป็น "0.5" เมื่อนำมาทดสอบด้วยวิธีหลอดทดลองให้ผลสอดคล้องกัน ยกเว้น ระดับความเข้มข้น 6.0 g/dl เกิดปฏิกิริยา 2+ กับ screening cell O2 กัลโคลสที่ระดับความเข้มข้น 100-1,000 mg/dl เครื่องตรวจวิเคราะห์สามารถ

รายงานผลได้เป็น "0.5" ไตรกลีเซอไรด์โดยเติม intralipid<sup>®</sup> ที่ระดับความเข้มข้น 250-2,500 mg/dl เครื่องตรวจวิเคราะห์สามารถรายงานผลได้เป็น "0.5" ที่ระดับความเข้มข้น 1,500-2,000 mg/dl เครื่องตรวจวิเคราะห์รายงานผลเป็น "0" เมื่อตรวจด้วยวิธีหลอดทดลองพบเกิดปฏิกิริยาไม่สามารถรายงานปฏิกิริยาได้ชัดเจน เนื่องจากตัวอย่างมีลักษณะขาว 浑浊 ข้นคล้ายนม ตัวอย่างโลหิตของผู้บริจาคที่มีลักษณะขาว浑浊 ที่มีระดับไตรกลีเซอไรด์ 3,400 mg/dl และเจือจางลดลงสองเท่าเป็น ลำดับ พบร่วมเครื่องสามารถรายงานผลได้ "0.5" ที่ระดับความเข้มข้น 106-1,700 mg/dl ส่วนที่ระดับความเข้มข้น 850 และ 3,400 mg/dl เครื่องรายงานผลเป็น "0" เมื่อทดสอบด้วยวิธีหลอดทดลองพบเกิดปฏิกิริยา 0.5 กับ screening cell O2 ทุกระดับความเข้มข้น แสดงดังตาราง 8

ตาราง 8 ผลการตรวจหาโลหิตด้วยเครื่องอัตโนมัติ Qwaly 3 และการตรวจคัดกรอง  
แอนติบอดีด้วยเครื่องอัตโนมัติ Ortho Autovue Innova ในตัวอย่างตรวจที่มี  
ระดับอัลบูมิน โกลบูลิน ไตรกลีเซอไรด์ และกัญโภคความเข้มข้นต่างๆ

| Biochemical     | Concentration | Result      |           |                               |           |
|-----------------|---------------|-------------|-----------|-------------------------------|-----------|
|                 |               | Blood group |           | Antibody screening<br>(O1/O2) |           |
|                 |               | Qwaly 3     | Tube test | AVI                           | Tube test |
| Albumin (g/dl)  | 14.0          | B           | B         | 0.5/1                         | weak/1    |
|                 | 12.0          | B           | B         | 0/1                           | 0/1       |
|                 | 10.0          | B           | B         | 0/0.5                         | 0/ weak   |
|                 | 8.0           | B           | B         | 0/0.5                         | 0/ weak   |
|                 | 6.0           | B           | B         | 0/0.5                         | 0/ weak   |
|                 | 4.0           | B           | B         | 0/0.5                         | 0/ weak   |
| Globulin (g/dl) | 6.0           | B           | B         | 0.5/3                         | weak /2   |
|                 | 5.5           | B           | B         | 0/0.5                         | 0/ weak   |
|                 | 5.0           | B           | B         | 0/0.5                         | 0/ weak   |
|                 | 4.0           | B           | B         | 0/0.5                         | 0/ weak   |
|                 | 3.0           | B           | B         | 0/0.5                         | 0/ weak   |

ตาราง 8 (ต่อ)

| Biochemical                                    | Concentration | Result      |           |                               |           |
|--|---------------|-------------|-----------|-------------------------------|-----------|
|  |               | Blood group |           | Antibody screening<br>(O1/O2) |           |
|  |               | Qwals 3     | Tube test | AVI                           | Tube test |
| Glucose (mg/dl)                                | 1000          | ?           | B         | 0/0.5                         | 0/ weak   |
|  | 800           | B           | B         | 0/0.5                         | 0/ weak   |
|  | 600           | B           | B         | 0/0.5                         | 0/ weak   |
|  | 400           | B           | B         | 0/0.5                         | 0/ weak   |
|  | 200           | B           | B         | 0/0.5                         | 0/ weak   |
|  | 100           | B           | B         | 0/0.5                         | 0/ weak   |
| Triglyceride (mg/dl)<br>(Intralipid®)          | 2,500         | ?           | NA        | 0/0.5                         | ไม่ชัดเจน |
|  | 2,000         | ?           | NA        | 0/0                           | ไม่ชัดเจน |
|  | 1,500         | ?           | NA        | 0/0                           | ไม่ชัดเจน |
|  | 1,000         | ?           | NA        | 0/0.5                         | ไม่ชัดเจน |
|  | 500           | X           | ไม่ชัดเจน | 0/0.5                         | ไม่ชัดเจน |
|  | 250           | ?           | ไม่ชัดเจน | 0/0.5                         | ไม่ชัดเจน |
| Triglyceride (mg/dl)<br>(Hypertriglyceridemia) | 3,400         | X           | B         | 0/0                           | 0/ weak   |
|  | 1,700         | ?           | B         | 0/0.5                         | 0/ weak   |
|  | 850           | B           | B         | 0/0                           | 0/ weak   |
|  | 425           | B           | B         | 0/0.5                         | 0/ weak   |
|  | 212           | B           | B         | 0/0.5                         | 0/ weak   |
|  | 106           | B           | B         | 0/0.5                         | 0/ weak   |

หมายเหตุ: NA หมายถึงไม่สามารถอ่านผลได้

ผลการศึกษาปัจจัยเสี่ยงของระดับความชุน อัลบูมิน โกลบูลิน โปรตีน ไตรกลีเซอไรด์ และ กซูโคส ในตัวอย่างส่งตรวจที่มีผลต่อการตรวจมูก็อกซิตด้วยเครื่องอัตโนมัติ Qwalys 3

#### 1. การศึกษาความสัมพันธ์ระหว่างระดับสารชีวเคมีกับความชุนของพลาสมา

ความสัมพันธ์ระหว่างระดับความชุนของพลาสมากับระดับ อัลบูมิน โกลบูลิน โปรตีน ไตรกลีเซอไรด์ และ กซูโคส แสดงดังตาราง 9 เมื่อวิเคราะห์ความสัมพันธ์ระหว่างระดับอัลบูมินกับ การประเมินความชุนด้วยแผนภาพ A แผนภาพ B และการวัดค่าการดูดกลืนแสงที่ความยาวคลื่น 660 นาโนเมตร พบว่าไม่มีความสัมพันธ์อย่างมีนัยสำคัญ ( $p = 0.713, 0.579$  และ  $0.217$  ตามลำดับ) ระดับโกลบูลินมีความสัมพันธ์อย่างมีนัยสำคัญกับการประเมินความชุนด้วยแผนภาพ A แผนภาพ B และค่าการดูดกลืนแสงที่ความยาวคลื่น 660 นาโนเมตร ( $p = 0.004, 0.004$  และ  $<0.001$  ตามลำดับ) โดยพบว่าโกลบูลินระดับ  $>3.0 \text{ g/dl}$  พบสัมพันธ์กับอัตราการประเมินความชุน ด้วยแผนภาพ A เป็น  $3+-4+$  แผนภาพ B เป็น  $5-10$  และค่าการดูดกลืนแสง  $>1.000$  ระดับโปรตีน รวมมีความสัมพันธ์อย่างมีนัยสำคัญกับการประเมินความชุนด้วยแผนภาพ A แผนภาพ B และค่า การดูดกลืนแสง ( $p = 0.007, 0.001$  และ  $0.005$  ตามลำดับ) โดยพบว่าโปรตีนรวมระดับ  $>8.0 \text{ g/dl}$  พบสัมพันธ์กับอัตราการประเมินความชุนด้วยแผนภาพ A เป็น  $3+-4+$  แผนภาพ B เป็น  $5-10$  และ ค่าการดูดกลืนแสง  $>1.000$  ระดับไตรกลีเซอไรด์ มีความสัมพันธ์อย่างมีนัยสำคัญกับการประเมิน ความชุนด้วยแผนภาพ A แผนภาพ B และการวัดค่าการดูดกลืนแสง ( $p < 0.001$  ทั้งสามแบบ) โดย ระดับไตรกลีเซอไรด์ที่  $>500 \text{ mg/dl}$  จะพบสัมพันธ์ตัวอย่างที่ชุนคือพบอัตราที่สูงในการประเมิน ระดับความชุนด้วยแผนภาพ A มีค่า  $3+-4+$ , แผนภาพ B มีค่า  $5-10$  และค่าการดูดกลืนแสง  $>1.000$  ส่วนระดับกซูโคสไม่มีความสัมพันธ์อย่างมีนัยสำคัญกับการประเมินความชุนด้วยแผนภาพ A แผนภาพ B และการวัดค่าการดูดกลืนแสง ( $p = 0.182, 0.319$  และ  $0.263$  ตามลำดับ)

ตาราง 9 ความสมมูลนร์ระหว่างระดับความชั้นของพลาสมากับประดับบลูมิน โกลบลิน ในตระกูลเรียด และกลุ่ม

| สารชีวเคมี          | คะแนนความชุ่นของพลาสม่า, n=205 |           |           |            |           |           | ค่าการทดสอบทางสถิติ |  |
|---------------------|--------------------------------|-----------|-----------|------------|-----------|-----------|---------------------|--|
|                     | แผนภูมิ A                      |           |           | แผนภูมิ B  |           |           |                     |  |
|                     | 0-2+                           | 3+4+      | P value   | 1-4        | 5-10      | P value   |                     |  |
| Albumin, g/dl       | 124 (62.9)                     | 6 (75.0)  | 0.713     | 119 (62.6) | 11 (73.3) | 0.579     | 120 (62.2) 0.217    |  |
|                     | 5.1-5.6                        | 73 (37.1) | 2 (25.0)  | 71 (37.4)  | 4 (26.7)  | 73 (37.8) | 2 (16.7)            |  |
| Globulin, g/dl      | 130 (66.0)                     | 1 (12.5)  | 0.004     | 127 (66.8) | 4 (26.7)  | 0.004     | 129 (66.8) <0.001   |  |
|                     | 2.1-3.0                        | 67 (34.0) | 7 (87.5)  | 63 (33.2)  | 11 (73.3) | 64 (33.2) | 2 (16.7)            |  |
| Total protein, g/dl | 102 (51.8)                     | 0 (0.0)   | 0.007     | 101 (5.32) | 1 (6.7)   | 0.001     | 101 (52.3) 0.005    |  |
|                     | 6.3-8.0                        | 95 (48.2) | 8 (100.0) | 89 (46.8)  | 14 (93.3) | 92 (47.7) | 11 (91.7)           |  |
| Triglyceride, mg/dl | 189 (95.9)                     | 1 (12.5)  | <0.001    | 185 (97.4) | 5 (33.3)  | <0.001    | 187 (96.9) <0.001   |  |
|                     | 501-3,798                      | 8 (4.1)   | 7 (87.5)  | 5 (2.6)    | 10 (66.7) | 6 (3.1)   | 9 (75.0)            |  |
| Glucose, mg/dl      | 193 (98.07)                    | 7 (87.5)  | 0.182     | 186 (97.9) | 14 (93.3) | 0.319     | 189 (97.9) 0.263    |  |
|                     | 13-300                         | 4 (2.0)   | 1 (12.5)  | 4 (2.1)    | 1 (6.7)   | 4 (2.1)   | 1 (8.3)             |  |
| 301-565             |                                |           |           |            |           |           |                     |  |

## 2. การศึกษาความสัมพันธ์ของระดับความชุ่นกับผลการตรวจหมูโลหิต

ผลการวิเคราะห์ความสัมพันธ์ระหว่างระดับความชุ่นกับผลการตรวจหมูโลหิต แสดงดังตัวราช 10 พนว่าจำนวนตัวอย่างที่รายงานผลได้และรายงานผลไม่ได้รวมไม่มีความสัมพันธ์อย่างมีนัยสำคัญกับความชุ่นของพลาสมากจากการประเมินความชุ่นແเนกพาพ A ແນກາພ B ( $p = 0.280$  และ  $0.595$  ตามลำดับ) แต่มีความสัมพันธ์อย่างมีนัยสำคัญกับการประเมินความชุ่นโดยการวัดค่าการดูดกลืนแสง ( $p = 0.005$ ) โดยพลาสมาที่วัดค่าการดูดกลืนแสงได้  $>1.000$  พบ อัตรารายงานผลไม่ได้รวมมากกว่ากลุ่มที่รายงานผลได้ (ร้อยละ  $10.5$  และ  $1.0$  ตามลำดับ) จำนวนตัวอย่างที่รายงานผลได้และไม่สามารถรายงานผลได้เป็น "X" ไม่มีความสัมพันธ์อย่างมีนัยสำคัญกับความชุ่นของพลาสมากจากการประเมินความชุ่นແเนกพาพ A ແນກາພ B ( $p = 1.000$  และ  $0.732$  ตามลำดับ) แต่มีความสัมพันธ์อย่างมีนัยสำคัญกับการประเมินความชุ่นโดยการวัดค่าการดูดกลืนแสง ( $p = 0.043$ ) โดยพลาสมาที่วัดค่าการดูดกลืนแสงได้  $>1.000$  พบ อัตรารายงานผลไม่ได้รวมมากกว่ากลุ่มที่รายงานผลได้ (ร้อยละ  $8.0$  และ  $1.0$  ตามลำดับ) จำนวนตัวอย่างที่รายงานผลได้และไม่สามารถรายงานผลได้เป็น "?" ไม่มีความสัมพันธ์อย่างมีนัยสำคัญกับความชุ่นของพลาสมากจากการประเมินความชุ่นແเนกพาพ A ແນກາພ B ( $p = 0.098$  และ  $0.522$  ตามลำดับ) แต่มีความสัมพันธ์อย่างมีนัยสำคัญกับการประเมินความชุ่นโดยการวัดค่าการดูดกลืนแสง ( $p = 0.003$ ) โดยพลาสมาที่วัดค่าการดูดกลืนแสงได้  $>1.000$  พบ อัตรารายงานผลไม่ได้รวมมากกว่ากลุ่มที่รายงานผลได้ (ร้อยละ  $12.7$  และ  $1.0$  ตามลำดับ)

ตาราง 10 ความสัมพันธ์ระหว่างความทุบติดของผู้ป่วยและผลการตรวจหาเชื้อ Qwaldys 3 ที่ร้ายแรงผิดไปไม่ได้

| ผลลัพธ์                | รายงานผิดไป       |                      |         | รายงานผิดไปได้ |         |               |
|------------------------|-------------------|----------------------|---------|----------------|---------|---------------|
|                        | จำนวน<br>(ร้อยละ) | จำนวนรวม<br>(ร้อยละ) | p value | X<br>(ร้อยละ)  | p value | ?<br>(ร้อยละ) |
|                        |                   |                      | n=105   |                |         |               |
| <b>แผนกวิชา A</b>      |                   |                      |         |                |         |               |
| 0 - 2+                 | 98 (98.0)         | 99 (94.3)            | 0.280   | 49 (98.0)      | 1.000   | 50 (90.9)     |
| 3+ - 4+                | 2 (2.0)           | 6 (5.7)              |         | 1 (2.0)        |         | 5 (9.1)       |
| <b>แผนกวิชา B</b>      |                   |                      |         |                |         |               |
| 1 - 4                  | 94 (94.0)         | 96 (91.4)            | 0.595   | 46 (92.0)      | 0.732   | 50 (90.9)     |
| 5 - 10                 | 6 (6.0)           | 9 (8.6)              |         | 4 (8.0)        |         | 5 (9.1)       |
| <b>การดูดซึมน้ำเสบ</b> |                   |                      |         |                |         |               |
| ≤1.000                 | 99 (99.0)         | 94 (89.5)            | 0.005   | 46 (92.0)      | 0.043   | 48 (87.3)     |
| >1.000                 |                   | 1 (1.0)              |         | 11 (10.5)      | 4 (8.0) | 7 (12.7)      |

### การศึกษาความสัมพันธ์ของสารชีวเคมีกับผลการตรวจหมูโลหิต

ผลการวิเคราะห์ความสัมพันธ์ระหว่างผลการตรวจหมูโลหิตกับระดับสารชีวเคมี แสดงดังตาราง 11 พบว่าจำนวนตัวอย่างที่รายงานผลได้และรายงานผลไม่ได้รวมไม่มีความสัมพันธ์อย่างมีนัยสำคัญกับระดับของอัลบูมินและกลูโคส ( $p = 0.147$  และ  $0.370$  ตามลำดับ) แต่มีความสัมพันธ์กับระดับโกลบูลิน โปรตีนรวม และไตรกลีเซอไรด์ ( $p = 0.006$ ,  $<0.001$  และ  $0.006$  ตามลำดับ) โดยระดับโกลบูลิน  $\leq 3.0 \text{ g/dl}$  พนอัตราในกลุ่มรายงานผลไม่ได้มากกว่ากลุ่มที่รายงานผลได้ (ร้อยละ  $73.3$  และ  $54.0$  ตามลำดับ) ระดับโปรตีนรวม  $\leq 8.0 \text{ g/dl}$  พนอัตราในกลุ่มรายงานผลไม่ได้มากกว่ากลุ่มที่รายงานผลได้ (ร้อยละ  $75.2$  และ  $23.0$  ตามลำดับ) ระดับไตรกลีเซอไรด์  $> 500 \text{ mg/dl}$  พนอัตราในกลุ่มรายงานผลไม่ได้มากกว่ากลุ่มที่รายงานผลได้ (ร้อยละ  $12.4$  และ  $2.0$  ตามลำดับ) จำนวนตัวอย่างที่รายงานผลได้และไม่สามารถรายงานผลได้เป็น “X” ไม่มีความสัมพันธ์อย่างมีนัยสำคัญกับระดับความเข้มข้นของอัลบูมิน ไตรกลีเซอไรด์และกลูโคส ( $p = 0.379$ ,  $0.096$  และ  $0.258$  ตามลำดับ) แต่มีความสัมพันธ์กับระดับโกลบูลินและโปรตีน ( $p < 0.001$  และ  $<0.001$  ตามลำดับ) โดยระดับโกลบูลิน  $\leq 3.0 \text{ g/dl}$  พนอัตราในกลุ่มที่ไม่สามารถรายงานผลได้เป็น “X” มากกว่ากลุ่มที่รายงานผลได้ (ร้อยละ  $88.0$  และ  $54.0$  ตามลำดับ) ระดับโปรตีนรวม  $\leq 8.00 \text{ g/dl}$  พนอัตราในกลุ่มที่ไม่สามารถรายงานผลได้เป็น “X” มากกว่ากลุ่มที่รายงานผลได้ (ร้อยละ  $86.0$  และ  $23.0$  ตามลำดับ) จำนวนตัวอย่างที่รายงานผลได้และไม่สามารถรายงานผลได้เป็น “?” ไม่มีความสัมพันธ์อย่างมีนัยสำคัญกับระดับความเข้มข้นของอัลบูมิน โกลบูลินและกลูโคส ( $p = 0.122$ ,  $0.502$  และ  $0.287$  ตามลำดับ) แต่มีความสัมพันธ์กับระดับโปรตีนรวมและไตรกลีเซอไรด์ ( $p < 0.001$  และ  $0.002$  ตามลำดับ) โดยระดับโปรตีนรวม  $\leq 8.0 \text{ g/dl}$  พนอัตราในกลุ่มรายงานผลได้เป็น “?” มากกว่ากลุ่มที่รายงานผลได้ (ร้อยละ  $65.5$  และ  $23.0$  ตามลำดับ) ระดับไตรกลีเซอไรด์ที่  $> 500 \text{ mg/dl}$  พนอัตราในกลุ่มรายงานผลได้เป็น “?” มากกว่ากลุ่มที่รายงานผลได้ (ร้อยละ  $16.4$  และ  $2.0$  ตามลำดับ)

ตาราง 11 ค่าทางห้องน้ำที่ระบุไว้ในบันทึกของ “มูลนิธิเพื่อการพัฒนาเด็กและเยาวชน” สำหรับเด็กที่เข้าร่วมโครงการ Qwallys 3 ที่ร่ายงานผลไม้ได้

| สารชีวเคมี          | ร่ายงานผลไม้ได้      |                        | ร่ายงานผลไม้ไม่ได้     |                    | ?                      | P value             |
|---------------------|----------------------|------------------------|------------------------|--------------------|------------------------|---------------------|
|                     | จำนวนรวม<br>(ร้อยละ) | P value                | จำนวนรวม<br>(ร้อยละ)   | P value            |                        |                     |
| Albumin, g/dl       | 3.3-5.0<br>5.1-5.6   | 58 (58.0)<br>42 (42.0) | 72 (68.6)<br>33 (31.4) | 0.147<br>17 (34.0) | 33 (66.0)<br>17 (34.0) | 0.379<br>16 (29.1)  |
| Globulin, g/dl      | 2.1-3.0<br>3.1-6.1   | 54 (54.0)<br>46 (46.0) | 77 (73.3)<br>28 (26.7) | 0.006<br>44 (88.0) | <0.001<br>33 (60.0)    | 0.502<br>33 (60.0)  |
| Total protein, g/dl | 6.3-8.0<br>8.1-10.0  | 23 (23.0)<br>77 (77.0) | 79 (75.2)<br>26 (24.8) | <0.001<br><0.001   | 43 (86.0)<br>7 (14.0)  | <0.001<br>22 (40.0) |
| Triglyceride, mg/dl | 43-500<br>501-3,798  | 98 (98.0)<br>2 (2.0)   | 92 (87.6)<br>13 (12.4) | 0.006<br>0.006     | 46 (92.0)<br>4 (8.0)   | 0.096<br>9 (16.4)   |
| Glucose, mg/dl      | 13-300<br>301-565    | 99 (99.0)<br>1 (1.0)   | 101 (96.2)<br>4 (3.8)  | 0.370<br>4 (4.0)   | 48 (96.0)<br>2 (4.0)   | 0.258<br>53 (96.4)  |
|                     |                      |                        |                        |                    |                        | 0.287<br>2 (3.6)    |

#### 4. การศึกษาปัจจัยเสี่ยงต่อการรายงานผลไม่ได้ในการตรวจหมูโลหิต

เมื่อวิเคราะห์ถึงความเป็นปัจจัยเสี่ยงต่อการรายงานผลไม่ได้ในการตรวจหมูโลหิตกับคุณลักษณะของกลุ่มตัวอย่าง ระดับความชุน และระดับสารซีวิเคมี พบว่าการรายงานไม่ได้ของการตรวจหมูโลหิตด้วยเครื่อง Qwaly 3 มีความสัมพันธ์กับอายุ ด้วยค่า OR (>35 ปี เทียบกับ ≤35 ปี) = 1.91 (95%CI 1.10-3.33) ค่าการดูดกลืนแสงที่ความยาวคลื่น 660 นาโนเมตร OR (>1.000 เทียบกับ ≤1.000) = 11.59 (95%CI 1.47-91.49) ระดับโกลบูลิน OR (≤3.0 g/dl เทียบกับ >3.0 g/dl) = 2.34 (95%CI 1.31-4.20) ระดับโปรตีนรวม OR (≤8.0 g/dl เทียบกับ >8.0 g/dl) = 10.17 (95%CI 5.35-19.35) และระดับไตรกลีเซอไรด์ OR (>500 mg/dl เทียบกับ ≤500 mg/dl) = 6.92 (95%CI 1.52-31.52) ซึ่งหมายถึง ผู้บริจากโลหิตอายุ >35 ปี มีอัตราเสี่ยงต่อการรายงานผลไม่ได้มากกว่าผู้มีอายุ ≤35 ปี 1.91 เท่า การประเมินความชุนด้วยการวัดค่าการดูดกลืนแสงได้ >1.000 มีอัตราเสี่ยงต่อการรายงานผลไม่ได้ค่าการดูดกลืนแสง ≤1.000 11.59 เท่า พลาสมาที่ระดับโกลบูลิน ≤3.0 g/dl มีอัตราเสี่ยงต่อการรายงานผลไม่ได้มากกว่ารายที่มีระดับโกลบูลิน >3.0 g/dl 2.34 เท่า พลาสมาที่มีระดับโปรตีนรวม ≤8.0 g/dl มีอัตราเสี่ยงต่อการรายงานผลไม่ได้มากกว่าพลาสมาที่มีระดับโปรตีนรวม >8.0 g/dl 10.17 เท่า และพลาสมาที่มีระดับไตรกลีเซอไรด์ >500 mg/dl มีอัตราเสี่ยงต่อการรายงานผลไม่ได้มากกว่ารายที่มีระดับไตรกลีเซอไรด์ ≤500 mg/dl 6.92 เท่า นอกจากนี้ยังพบว่าการรายงานผลไม่ได้ในการตรวจหมูโลหิตไม่มีความสัมพันธ์ กับเพศ การประเมินความชุนด้วยแผนภาพ A แผนภาพ B ระดับอัลบูมิน และระดับกลูโคส แสดงดังตาราง 12

ตาราง 12 การประเมินความเป็นปัจจัยเสี่ยงของ เพศและอายุของผู้บริจาคโลหิต ความชุ่นของพลาสมาของตัวอย่างตรวจ และระดับสารซีวเคมีต่อผลการตรวจหมู่โลหิต ด้วยเครื่อง Qwalys 3

| คุณลักษณะ              | รายงานผล<br>ไม่ได้<br>(ร้อยละ)<br>n=105 | รายงานผล<br>ได้<br>(ร้อยละ)<br>n=100 | P value | Odds ratio | 95%CI      |
|------------------------|---|--------------------------------------|---------|------------|------------|
| <b>เพศ</b>             |   |                                      |         |            |            |
| หญิง                   | 38 (36.2)                               | 70 (70.0)                            | 0.376   | 1.32       | 0.74-2.37  |
| ชาย                    | 67 (36.8)                               | 30 (30.0)                            |         | 1          |            |
| <b>อายุ (ปี)</b>       |   |                                      |         |            |            |
| >35                    | 63 (60.0)                               | 44 (44.0)                            | 0.026   | 1.91       | 1.10-3.33  |
| 17-35                  | 42 (40.0)                               | 56 (56.0)                            |         | 1          |            |
| <b>แผนภาพ A</b>        |   |                                      |         |            |            |
| 3+-4+                  | 6 (5.7)                                 | 2 (2.0)                              | 0.280   | 2.97       | 0.59-15.07 |
| 0-2+                   | 99 (94.3)                               | 98 (98.0)                            |         | 1          |            |
| <b>แผนภาพ B</b>        |   |                                      |         |            |            |
| 5-10                   | 9 (8.6)                                 | 6 (6.0)                              | 0.595   | 1.47       | 0.50-4.29  |
| 1-4                    | 96 (91.4)                               | 94 (94.0)                            |         | 1          |            |
| <b>ค่าการดูดกลืน</b>   |   |                                      |         |            |            |
| <b>แสตม</b>            |   |                                      |         |            |            |
| >1.000                 | 11 (10.5)                               | 1 (1.0)                              | 0.005   | 11.59      | 1.47-91.49 |
| ≤1.000                 | 94 (89.5)                               | 99 (99.0)                            |         | 1          |            |
| <b>Albumin (g/dl)</b>  |   |                                      |         |            |            |
| ≤5.0                   | 72 (68.6)                               | 58 (58.0)                            | 0.147   | 1.58       | 0.89-2.80  |
| >5.0                   | 33 (31.4)                               | 42 (42.0)                            |         | 1          |            |
| <b>Globulin (g/dl)</b> |   |                                      |         |            |            |
| ≤3.0                   | 77 (73.3)                               | 46 (46.0)                            | 0.006   | 2.34       | 1.31-4.20  |
| >3.0                   | 28 (26.7)                               | 54 (54.0)                            |         | 1          |            |

ตาราง 12 (ต่อ)

| คุณลักษณะ            | รายงานผล<br>ไม่ได้<br>(ร้อยละ)<br>n=105 | รายงานผล<br>ได้<br>(ร้อยละ)<br>n=100 | P value | Odds ratio | 95%CI      |
|----------------------|---|--------------------------------------|---------|------------|------------|
| <b>Total protein</b> |   |                                      |         |            |            |
| (g/dl)               |   |                                      |         |            |            |
| ≤8.0                 | 79 (75.2)                               | 23 (23.0)                            | <0.001  | 10.17      | 5.35-19.35 |
| >8.0                 | 26 (24.8)                               | 77 (77.0)                            |         | 1          |            |
| <b>Triglyceride</b>  |   |                                      |         |            |            |
| (mg/dl)              |   |                                      |         |            |            |
| >500                 | 13 (12.4)                               | 2 (2.0)                              | 0.006   | 6.92       | 1.52-31.52 |
| ≤500                 | 92 (87.6)                               | 98 (98.0)                            |         | 1          |            |
| <b>Glucose</b>       |   |                                      |         |            |            |
| (mg/dl)              |   |                                      |         |            |            |
| >300                 | 4 (3.8)                                 | 1 (1.0)                              | 0.370   | 3.92       | 0.43-35.70 |
| ≤300                 | 101 (96.2)                              | 99 (99.0)                            |         | 1          |            |

เมื่อนำปัจจัยเสี่ยงที่มีความสัมพันธ์กับการไม่สามารถรายงานผลการตรวจหมูloidให้ด้วยเครื่อง Qwaly 3 ประกอบด้วย อายุ การวัดค่าการดูดกลืนแสง ระดับโกลบูลิน โปรตีนรวม และไตรกลีเซอไรด์ มากวิเคราะห์โดยใช้ logistic regression (Bivariate model) พบร่วมกันว่า การประเมินความชุ่นโดยการวัดค่าการดูดกลืนแสง ระดับโปรตีนรวม และไตรกลีเซอไรด์ยังคงเป็นปัจจัยเสี่ยงที่มีความสัมพันธ์กับการไม่สามารถรายงานผลการตรวจหมูloidให้ด้วยเครื่อง Qwaly 3 โดยค่าการดูดกลืนแสง >1.000 เทียบกับ ≤1.000 ให้ค่า OR = 12.26 (95%CI 1.12-134.3) ระดับโปรตีน ≤8.0 g/dl เทียบกับ >8.0 g/dl ให้ค่า OR = 17.78 (95%CI 7.61-41.05) และระดับไตรกลีเซอไรด์ >500 mg/dl เทียบกับ ≤500 mg/dl ให้ค่า OR = 7.12 (95%CI 0.99-51.33) ซึ่งหมายถึงการวัดค่าการดูดกลืนแสง ระดับโปรตีนรวม และไตรกลีเซอไรด์เป็นปัจจัยเสี่ยงของการไม่สามารถรายงานผลการตรวจหมูloidให้ด้วยเครื่อง Qwaly 3 อย่างแท้จริงและเป็นอิสระจากปัจจัยเสี่ยงอื่นๆ โดยพลาสมาที่มีค่าการดูดกลืนแสง >1.000 มีอัตราเสี่ยงต่อการรายงานผลไม่ได้มากกว่ารายที่มีค่าการดูดกลืนแสง ≤1.000 12.26 เท่า รายมีระดับโปรตีนรวม ≤8.0 g/dl มีอัตราเสี่ยงต่อการ

รายงานผลไม่ได้มากกว่ารายที่มีระดับโปรตีนรวม  $>8.0 \text{ g/dl}$  17.78 เท่า รายที่มีระดับไตรกลีเซอไรด์  $> 500 \text{ mg/dl}$  มีอัตราเสี่ยงต่อการรายงานผลไม่ได้มากกว่ารายที่มีระดับไตรกลีเซอไรด์  $\leq 500 \text{ mg/dl}$  7.12 เท่า ซึ่งมีอัตราเสี่ยงเพิ่มขึ้นจากการวิเคราะห์โดยใช้ Odds ratio (Univariate model) สำหรับปัจจัยเสี่ยงอายุและระดับโกลบูลินน้ำ袁กเปลี่ยนเป็นไม่มีความสัมพันธ์กับการไม่สามารถรายงานผลการตรวจหมูโลหิตด้วยเครื่อง Qwalys 3 ดังตาราง 13

ตาราง 13 ปัจจัยเสี่ยงต่อการตรวจหมูโลหิตด้วยเครื่องตรวจหมูโลหิตอัตโนมัติ Qwalys 3 ที่ไม่สามารถรายงานผลได้

| ปัจจัยเสี่ยง                          | OR unadjusted (95%CI) | OR adjusted (95%CI) |
|---------------------------------------|-----------------------|---------------------|
| อายุ $>35 \text{ ปี}$                 | 1.91 (1.10-3.33)      | -                   |
| ค่าการดูดกลืนแสง $>1.000$             | 11.59 (1.47-91.49)    | 12.26 (1.12-134.3)  |
| Globulin $\leq 3.0 \text{ g/dl}$      | 2.34 (1.31-4.20)      | -                   |
| Total protein $\leq 8.0 \text{ g/dl}$ | 10.17 (5.35-19.35)    | 17.78 (7.61-41.50)  |
| Triglyceride $>500 \text{ mg/dl}$     | 6.92 (1.52-31.52)     | 7.12 (0.99-51.33)   |

เมื่อวิเคราะห์ถึงความเป็นปัจจัยเสี่ยงต่อการรายงานผลไม่ได้โดยรายงานผลเป็น “X” ในการตรวจหมูโลหิตกับคุณลักษณะของกลุ่มตัวอย่าง ระดับความชุน และระดับสารชีวเคมี พบร่วมกัน 3 รายการ คือค่าการดูดกลืนแสงที่ความยาวคลื่น 660 นาโนเมตร OR ( $>1.000$  เทียบกับ  $\leq 1.000$ ) = 8.61 (95%CI 0.94-79.19) ระดับโกลบูลิน OR ( $\leq 3.0 \text{ g/dl}$  เทียบกับ  $>3.0 \text{ g/dl}$ ) = 6.25 (95%CI 2.44-15.98) และระดับโปรตีนรวม OR ( $\leq 8.0 \text{ g/dl}$  เทียบกับ  $>8.0 \text{ g/dl}$ ) = 20.57 (95%CI 8.16-51.85) ซึ่งหมายถึงการประเมินความชุนโดยการวัดค่าการดูดกลืนแสงที่  $>1.000$  มีอัตราเสี่ยงต่อการรายงานผลไม่ได้มากกว่าค่าการดูดกลืนแสง  $\leq 1.000$  8.61 เท่า พลางมาที่มีระดับโกลบูลิน  $\leq 3.0 \text{ g/dl}$  มีอัตราเสี่ยงต่อการรายงานผลไม่ได้มากกว่ารายที่มีระดับโกลบูลิน  $>3.0 \text{ g/dl}$  6.25 เท่า พลางมาที่มีระดับโปรตีนรวม  $\leq 8.0 \text{ g/dl}$  มีอัตราเสี่ยงต่อการรายงานผลไม่ได้ในมากกว่ารายที่มีระดับโปรตีนรวม  $>8.0 \text{ g/dl}$  20.57 เท่า นอกจากนี้ยังพบว่าการรายงานผลไม่ได้ใน การตรวจหมูโลหิตโดยรายงานผลเป็น “X” ไม่มีความสัมพันธ์กับเพศ อายุ การประเมินความชุน ด้วยแผนภาพ A แผนภาพ B ระดับคอลบูมิน ไตรกลีเซอไรด์ และกลูโคส แสดงดังตาราง 14

ตาราง 14 การประเมินความเป็นปัจจัยเสี่ยงของ เพศและอายุของผู้บริจาคโลหิต ความชุนของพลาสมาของตัวอย่างตรวจ และระดับสารซีวเคมีต่อผลการตรวจนมูสโลหิต ด้วย Qwalys 3 โดยรายงานผลเป็น “X”

| คุณลักษณะ               | รายงานผล<br>ไม่ได้ “X”<br>(ร้อยละ) | ผลได้<br>(ร้อยละ) | P value | Odds ratio | 95%CI      |
|-------------------------|------------------------------------|-------------------|---------|------------|------------|
|                         | n=50                               | n=100             |         |            |            |
| <b>เพศ</b>              |                                    |                   |         |            |            |
| หญิง                    | 21 (42.0)                          | 30 (30.0)         | 0.149   | 1.69       | 0.83-3.42  |
| ชาย                     | 29 (58.0)                          | 70 (70.0)         |         | 1          |            |
| <b>อายุ (ปี)</b>        |                                    |                   |         |            |            |
| >35                     | 27 (54.0)                          | 44 (44.0)         | 0.299   | 1.49       | 0.76-2.96  |
| 17-35                   | 23 (46.0)                          | 56 (56.0)         |         | 1          |            |
| <b>แผนภาพ A</b>         |                                    |                   |         |            |            |
| 3+-4+                   | 1 (2.0)                            | 2 (2.0)           | 1.000   | 1.00       | 0.09-11.30 |
| 0-2+                    | 49 (98.0)                          | 98 (98.0)         |         | 1          |            |
| <b>แผนภาพ B</b>         |                                    |                   |         |            |            |
| 5-10                    | 4 (8.0)                            | 6 (6.0)           | 0.732   | 1.36       | 0.37-5.07  |
| 1-4                     | 46 (92.0)                          | 94 (94.0)         |         | 1          |            |
| <b>ค่าการดูดกลืนแสง</b> |                                    |                   |         |            |            |
| >1.000                  | 4 (8.0)                            | 1 (1.0)           | 0.043   | 8.61       | 0.94-79.19 |
| ≤1.000                  | 46 (92.0)                          | 99 (99.0)         |         | 1          |            |
| <b>Albumin (g/dl)</b>   |                                    |                   |         |            |            |
| ≤5.0                    | 33 (66.0)                          | 58 (58.0)         | 0.379   | 1.41       | 0.69-2.85  |
| >5.0                    | 17 (34.0)                          | 42 (42.0)         |         | 1          |            |
| <b>Globulin (g/dl)</b>  |                                    |                   |         |            |            |
| ≤3.0                    | 44 (88.0)                          | 54 (54.0)         | <0.001  | 6.25       | 2.44-15.98 |
| >3.0                    | 6 (12.0)                           | 46 (46.0)         |         | 1          |            |

ตาราง 14 (ต่อ)

| คุณลักษณะ                   | รายงานผล<br>ไม่ได้ "X"<br>(ร้อยละ)<br>n=50 | รายงาน<br>ผลได้<br>(ร้อยละ)<br>n=100 | P value | Odds<br>ratio | 95%CI      |
|-----------------------------|--|--------------------------------------|---------|---------------|------------|
| <b>Total protein (g/dl)</b> |  |                                      |         |               |            |
| ≤8.0                        | 43 (86.0)                                  | 23 (23.0)                            | <0.001  | 20.57         | 8.16-51.85 |
| >8.0                        | 7 (14.0)                                   | 77 (77.0)                            |         | 1             |            |
| <b>Triglyceride (mg/dl)</b> |  |                                      |         |               |            |
| >500                        | 4 (8.0)                                    | 2 (2.0)                              | 0.096   | 4.26          | 0.75-24.11 |
| ≤500                        | 46 (92.0)                                  | 98 (98.0)                            |         | 1             |            |
| <b>Glucose (mg/dl)</b>      |  |                                      |         |               |            |
| >300                        | 2 (4.0)                                    | 1 (1.0)                              | 0.258   | 4.13          | 0.37-46.63 |
| ≤300                        | 48 (96.0)                                  | 99 (99.0)                            |         | 1             |            |

เมื่อนำปัจจัยเสี่ยงที่มีความสัมพันธ์กับการไม่สามารถรายงานผลการตรวจหมูโลหิตด้วยเครื่อง Qwalys 3 โดยรายงานผลเป็น "X" ประกอบด้วย ค่าการดูดกลืนแสง ระดับโกลบูลิน โปรตีนรวม และไตรกลีเซอไรด์ มาวิเคราะห์โดยใช้ logistic regression (Bivariate model) พบว่าค่าการดูดกลืนแสง และโปรตีนรวม ยังคงเป็นปัจจัยเสี่ยงที่มีความสัมพันธ์กับการไม่สามารถรายงานผลการตรวจหมูโลหิตด้วยเครื่อง Qwalys 3 โดยพบรายงานผลเป็น "X" โดยค่าการดูดกลืนแสง >1.000 เทียบกับ ≤1.000 ให้ค่า OR = 42.54 (95%CI 2.92-620.2) ระดับโปรตีนรวม ≤8.0 g/dl เทียบกับ >8.0 g/dl ให้ค่า OR = 37.91 (95%CI 9.92-144.9) ซึ่งหมายถึง ค่าการดูดกลืนแสง ระดับโกลบูลินและ โปรตีนรวมเป็นปัจจัยเสี่ยงและเป็นอิสระจากปัจจัยเสี่ยงอื่นๆ โดยพลาสมาที่มีค่าการดูดกลืนแสงได้ >1.000 มีอัตราเสี่ยงต่อการรายงานผลไม่ได้มากกว่าค่าการดูดกลืนแสง ≤1.000 42.54 เท่า และพลาสมาที่มีระดับโปรตีนรวม ≤8.0 g/dl มีอัตราเสี่ยงต่อการรายงานผลไม่ได้เป็น "X" มากกว่าพลาสมาที่มีระดับโปรตีนรวม >8.0 g/dl 37.91 เท่า ดังตาราง 15

ตาราง 15 ปัจจัยเสี่ยงต่อการตรวจหมูโลหิตด้วยเครื่องตรวจหมูโลหิตอัตโนมัติ Qwalys 3 ที่ไม่สามารถรายงานผลได้โดยรายงานผลเป็น "X"

| ปัจจัยเสี่ยง                  | OR unadjusted (95%CI) | OR adjusted (95%CI) |
|-------------------------------|-----------------------|---------------------|
| ค่าการดูดกลืนแสง >1.000       | 8.61 (0.94-79.19)     | 42.54 (2.92-620.2)  |
| Globulin $\leq$ 3.0 g/dl      | 6.25 (2.44-15.98)     | -                   |
| Total protein $\leq$ 8.0 g/dl | 20.57 (8.16-51.85)    | 37.91 (9.92-144.9)  |
| Triglyceride >500 mg/dl       | 4.26 (0.75-24.11)     | -                   |

เมื่อวิเคราะห์ถึงความเป็นปัจจัยเสี่ยงต่อการรายงานผลไม่ได้โดยรายงานผลเป็น "?" ในการตรวจหมูโลหิตกับ คุณลักษณะของกลุ่มตัวอย่าง ระดับความชุน และระดับสารซีวิคเมื่อ พบว่า การรายงานผลการตรวจหมูโลหิตด้วยเครื่อง Qwalys 3 เป็น "?" มีความสัมพันธ์กับอายุ ด้วยค่า OR (>35 ปี เทียบกับ  $\leq$ 35 ปี) = 2.41 (95%CI 1.22-4.77) การประเมินความชุนด้วยการวัดค่า การดูดกลืนแสงที่ความยาวคลื่น 660 นาโนเมตร OR (>1.000 เทียบกับ  $\leq$ 1.000) = 14.44 (95%CI 1.73-120.7) ระดับโปรตีนรวม OR ( $\leq$ 8.0 g/dl เทียบกับ >8.0 g/dl) = 6.34 (95%CI 3.07-13.10) และระดับไตรกลีเซอไรด์ OR (>500 mg/dl เทียบกับ  $\leq$ 500 mg/dl) = 9.59 (95%CI 1.99-46.16) ซึ่งหมายถึงผู้บริจากโลหิตอายุ >35 ปี มีอัตราเสี่ยงต่อการรายงานผลไม่ได้มากกว่าผู้มีอายุ  $\leq$ 35 ปี 2.41 เท่า การประเมินความชุนด้วยการวัดค่าการดูดกลืนแสง >1.000 มีอัตราเสี่ยงต่อการรายงานผลไม่ได้มากกว่าค่าการดูดกลืนแสง  $\leq$ 1.000 14.44 เท่า พลาสมาที่มีระดับโปรตีนรวม  $\leq$ 8.0 g/dl มีอัตราเสี่ยงต่อการรายงานผลไม่ได้มากกว่ารายที่มีระดับโปรตีนรวม >8.0 g/dl 6.34 เท่า และพลาสมาที่มีระดับไตรกลีเซอไรด์ >500 mg/dl มีอัตราเสี่ยงต่อการรายงานผลไม่ได้มากกว่ารายที่มีระดับไตรกลีเซอไรด์  $\leq$ 500 mg/dl 9.59 เท่า นอกจากนี้ยังพบว่าการรายงานผลไม่ได้ใน การตรวจหมูโลหิตโดยรายงานผลเป็น "?" ไม่มีความสัมพันธ์กับเพศ การประเมินความชุน ด้วย แผนภาพ A แผนภาพ B ระดับอัลบูมิน ระดับโกลบูลินและระดับกลูโคส แสดงดังตาราง 16

ตาราง 16 การประเมินความเป็นปัจจัยเสี่ยงของ เพศและอายุของผู้ป่วยจากโลหิต ความชุน  
ของตัวอย่างตรวจ และระดับสารซีวเคมีต่อผลการตรวจน้ำโลหิตด้วย Qwaly 3  
โดยรายงานผลเป็น “?”

| คุณลักษณะ              | รายงานผล<br>ไม่ได้ “?”<br>(ร้อยละ) | รายงานผลได้<br>(ร้อยละ) | P value | Odds ratio | 95%CI      |
|------------------------|------------------------------------|-------------------------|---------|------------|------------|
| <b>เพศ</b>             |                                    |                         |         |            |            |
| หญิง                   | 17 (30.9)                          | 30 (30.0)               | 1.000   | 1.04       | 0.51-21.13 |
| ชาย                    | 38 (69.1)                          | 70 (70.0)               |         | 1          |            |
| <b>อายุ (ปี)</b>       |                                    |                         |         |            |            |
| >35                    | 36 (62.5)                          | 44 (44.0)               | 0.012   | 2.41       | 1.22-4.77  |
| 17-35                  | 19 (34.5)                          | 56 (56.0)               |         | 1          |            |
| <b>แผนภาพ A</b>        |                                    |                         |         |            |            |
| 3+-4+                  | 5 (9.1)                            | 2 (2.0)                 | 0.098   | 4.90       | 0.92-26.16 |
| 0-2+                   | 50 (90.9)                          | 98 (98.0)               |         | 1          |            |
| <b>แผนภาพ B</b>        |                                    |                         |         |            |            |
| 5-10                   | 5 (9.1)                            | 6 (6.0)                 | 0.522   | 1.57       | 0.46-5.39  |
| 1-4                    | 50 (90.9)                          | 94 (94.0)               |         | 1          |            |
| <b>ค่าการ</b>          |                                    |                         |         |            |            |
| <b>ดูดกลืนแสง</b>      |                                    |                         |         |            |            |
| >1.000                 | 7 (12.7)                           | 1 (1.0)                 | 0.003   | 14.44      | 1.73-120.7 |
| ≤1.000                 | 48 (87.3)                          | 99 (99.0)               |         | 1          |            |
| <b>Albumin (g/dl)</b>  |                                    |                         |         |            |            |
| ≤5.0                   | 39 (70.9)                          | 58 (58.0)               | 0.122   | 1.77       | 0.87-3.57  |
| >5.0                   | 16 (29.1)                          | 42 (42.0)               |         | 1          |            |
| <b>Globulin (g/dl)</b> |                                    |                         |         |            |            |
| >3.0                   | 33 (60.0)                          | 46 (46.0)               | 0.502   | 1.28       | 0.66-2.49  |
| ≤3.0                   | 22 (40.0)                          | 54 (54.0)               |         | 1          |            |

ตาราง 16 (ต่อ)

| คุณลักษณะ     | รายงานผล<br>ไม่ได้ "?"<br>(ร้อยละ) | รายงานผลได้<br>(ร้อยละ) | P value | Odds ratio | 95%CI      |
|---------------|------------------------------------|-------------------------|---------|------------|------------|
| Total protein |                                    |                         |         |            |            |
| (g/dl) ≤8.0   | 36 (65.5)                          | 23 (23.0)               | <0.001  | 6.34       | 3.07-13.10 |
| >8.0          | 19 (34.5)                          | 77 (77.0)               |         | 1          |            |
| Triglyceride  |                                    |                         |         |            |            |
| (mg/dl)       |                                    |                         |         |            |            |
| >500          | 9 (16.4)                           | 2 (2.0)                 | 0.002   | 9.59       | 1.99-46.16 |
| ≤500          | 46 (83.6)                          | 98 (98.0)               |         | 1          |            |
| Glucose       |                                    |                         |         |            |            |
| mg/dl         |                                    |                         |         |            |            |
| >300          | 2 (3.6)                            | 1 (1.0)                 | 0.287   | 3.74       | 0.33-42.16 |
| ≤300          | 53 (94.4)                          | 99 (99.0)               |         | 1          |            |

เมื่อจำแนกจัยเสี่ยงทั้งหมดที่มีความสัมพันธ์กับการไม่สามารถรายงานผลการตรวจหมูโลหิตด้วยเครื่อง Qwaly 3 โดยรายงานผลเป็น "?" ประกอบด้วย อายุ การประเมินความชุ่นโดยเลือกเฉพาะการวัดค่าการดูดกลืนแสง ระดับโปรตีนรวม และไตรกลีเซอไรด์ มาตรวิเคราะห์โดยใช้ logistic regression (Bivariate model) พบว่า ระดับโปรตีนรวมและไตรกลีเซอไรด์ยังคงเป็นปัจจัยเสี่ยงที่มีความสัมพันธ์กับการไม่สามารถรายงานผลการตรวจหมูโลหิตด้วยเครื่อง Qwaly 3 โดยรายงานผลเป็น "?" โดยระดับโปรตีนรวม ≤ 8.0 g/dl เทียบกับ >8.0 g/dl ให้ค่า OR = 8.95 (95%CI 3.95-20.30) และระดับไตรกลีเซอไรด์ >500 mg/dl เทียบกับ ≤500 mg/dl ให้ค่า OR = 10.35 (95%CI 1.38-77.66) ซึ่งหมายถึง ระดับโปรตีนรวมและไตรกลีเซอไรด์เป็นปัจจัยเสี่ยงของการไม่สามารถรายงานผลการตรวจหมูโลหิตด้วยเครื่อง Qwaly 3 โดยรายงานผลเป็น "?" อย่างแท้จริงและเป็นอิสระจากปัจจัยเสี่ยงอื่นๆ โดยพลาสมามีระดับโปรตีนรวม ≤8.0 g/dl มีอัตราเสี่ยงต่อการรายงานผลไม่ได้มากกว่ารายที่มีระดับโปรตีนรวม >8.0 g/dl 8.95 เท่า พลาสมามีระดับไตรกลีเซอไรด์ > 500 mg/dl มีอัตราเสี่ยงต่อการรายงานผลไม่ได้มากกว่ารายที่มีระดับไตรกลีเซอไรด์ ≤500 mg/dl 10.35 เท่า ซึ่งมีอัตราเสี่ยงเพิ่มขึ้นจากการวิเคราะห์โดยใช้ Odds ratio (Univariate model) ดังตาราง 17

ตาราง 17 ปัจจัยเสี่ยงต่อการตรวจมูโลหิตด้วยเครื่องตรวจมูโลหิตอัตโนมัติ Qwalys 3  
ที่ไม่สามารถรายงานผลได้ โดยรายงานผลเป็น “?”

| ปัจจัยเสี่ยง                  | OR unadjusted (95%CI) | OR adjusted (95%CI) |
|-------------------------------|-----------------------|---------------------|
| อายุ >35 ปี                   | 2.41 (1.22-4.77)      | -                   |
| ค่าการดูดกลืนแสง >1.000       | 14.44 (1.73-120.7)    | -                   |
| Total protein $\leq$ 8.0 g/dl | 6.34 (3.07-13.10)     | 8.95 (3.95-20.30)   |
| Triglyceride >500 mg/dl       | 9.59 (1.99-46.16)     | 10.35 (1.38-77.66)  |

การศึกษาปัจจัยเสี่ยงต่อการรายงานผลไม่ได้ในการตรวจคัดกรองเอนติบอดี

1. การศึกษาความสัมพันธ์ระหว่างระดับสารชีวเคมีกับความชุนของชีรัม

ความสัมพันธ์ระหว่างระดับความชุนของชีรัมและผลการตรวจคัดกรองเอนติบอดีด้วยเครื่องอัตโนมัติ Ortho Autovue Innova กับระดับอัลบูมิน โกลบูลิน โปรตีน ไตรกลีเซอไรด์ และกซูโคส แสดงดังตาราง 18 เมื่อวิเคราะห์ความสัมพันธ์ระหว่างระดับอัลบูมินกับการประเมินความชุนด้วยการวัดค่าการดูดกลืนแสงที่ความยาวคลื่น 660 นาโนเมตร พบร่วมความสัมพันธ์อย่างมีนัยสำคัญ ( $p = 0.044$ ) โดยระดับอัลบูมินที่  $\leq 5.0$  g/dl พบร่วมกับตัวอย่างที่ชุนจากการประเมินระดับความชุนด้วยการวัดค่าการดูดกลืนแสง  $>1.000$  แต่ไม่สัมพันธ์กับการประเมินความชุนด้วยแผนภาพ A และแผนภาพ B ( $p = 0.068$  และ 0.089 ตามลำดับ) ระดับโกลบูลินมีความสัมพันธ์อย่างมีนัยสำคัญกับการประเมินความชุนด้วยแผนภาพ A แผนภาพ B และค่าการดูดกลืนแสง ( $p < 0.001$  ทั้งสามแบบ) โดยระดับโกลบูลินที่  $>3.5$  g/dl พบร่วมกับตัวอย่างที่ชุนคือพบอัตราที่สูงในการประเมินระดับความชุนด้วยแผนภาพ A มีค่า 3+-4+, แผนภาพ B มีค่า 5-10 และค่าการดูดกลืนแสง  $>1.000$  ระดับโปรตีนรวม มีความสัมพันธ์อย่างมีนัยสำคัญกับการประเมินความชุนด้วยแผนภาพ A แผนภาพ B และค่าการดูดกลืนแสง ( $p = 0.016$ , 0.009 และ 0.028 ตามลำดับ) โดยระดับโปรตีนรวม  $>8.0$  g/dl สัมพันธ์กับตัวอย่างที่ชุนคือพบอัตราที่สูงในการประเมินระดับความชุนด้วยแผนภาพ A มีค่า 3+-4+, แผนภาพ B มีค่า 5-10 และค่าการดูดกลืนแสง  $>1.000$  ระดับไตรกลีเซอไรด์มีความสัมพันธ์อย่างมีนัยสำคัญกับการประเมินความชุนด้วยแผนภาพ A แผนภาพ B และการวัดค่าการดูดกลืนแสง ( $p < 0.001$  ทั้งสามแบบ) โดยระดับไตรกลีเซอไรด์ที่  $>500$  mg/dl พบร่วมกับตัวอย่างที่ชุนคือพบอัตราที่สูงในการประเมินระดับความชุนด้วยแผนภาพ A มีค่า 3+-4+, แผนภาพ B มีค่า 5-10 และค่าการดูดกลืนแสง  $>1.000$  ส่วนระดับกซูโคสไม่มีความสัมพันธ์อย่างมีนัยสำคัญกับการประเมินความชุนด้วยแผนภาพ A แผนภาพ B และการวัดค่าการดูดกลืนแสง ( $p = 1.000$ , 1.000 และ 0.701 ตามลำดับ)

ទារាង 18 គរាមសំអាលុយនឹងខ្លះព័ត៌មានថ្មីនៃសាខាបន្ទូន ក្រសួងបណ្តុះបណ្តាល នគរាវិថី នគរាវិថី នគរាវិថី

| សារិនិភ័យ           | គប់បច្ចាស់នូវជីវិ៍ |            |           |          |            |           | គោរពធនធាននៃសេវា |            |           |        |
|---------------------|--------------------|------------|-----------|----------|------------|-----------|-----------------|------------|-----------|--------|
|                     | ផែនរាយ A           |            |           | ផែនរាយ B |            |           |                 |            |           |        |
|                     | 0-2+               | 3+4+       | P value   | 1-4      | 5-10       | P value   |                 |            |           |        |
| Albumin, g/dl       | 3.7-5.0            | 103 (63.2) | 33 (78.6) | 0.068    | 97 (63.0)  | 39 (76.5) | 0.089           | 94 (62.3)  | 42 (77.8) | 0.044  |
| Globulin, g/dl      | 5.1-5.8            | 60 (36.8)  | 9 (21.4)  | <0.001   | 57 (37.0)  | 12 (23.5) | <0.001          | 57 (37.7)  | 12 (22.2) | <0.001 |
| Total protein, g/dl | 6.1-8.0            | 126 (77.3) | 9 (21.4)  | <0.001   | 121 (78.6) | 14 (27.5) | <0.001          | 118 (78.1) | 17 (31.5) | <0.001 |
| Triglyceride, mg/dl | 8.0-10.0           | 37 (22.7)  | 33 (78.6) | <0.001   | 33 (21.4)  | 37 (72.5) | <0.001          | 33 (21.9)  | 37 (68.5) | <0.001 |
| Glucose, mg/dl      | 22-300             | 60 (36.8)  | 7 (16.7)  | 0.016    | 58 (37.7)  | 9 (17.6)  | 0.009           | 56 (37.1)  | 11 (20.4) | 0.028  |
|                     | 301-565            | 103 (63.2) | 35 (83.3) | <0.001   | 96 (62.3)  | 42 (82.4) | <0.001          | 95 (62.9)  | 43 (79.6) | <0.001 |
|                     |                    | 157 (96.3) | 5 (11.9)  | <0.001   | 152 (98.7) | 10 (19.6) | <0.001          | 147 (97.4) | 15 (27.8) | <0.001 |
|                     |                    | 501-3,798  | 6 (3.7)   | <0.001   | 2 (1.3)    | 41 (80.4) | <0.001          | 4 (2.6)    | 39 (72.2) | <0.001 |
|                     |                    | 156 (95.7) | 40 (95.2) | 1.000    | 147 (95.5) | 49 (96.1) | 1.000           | 145 (96.0) | 51 (94.4) | 0.701  |
|                     |                    | 7 (4.3)    | 2 (4.8)   | <0.001   | 7 (4.5)    | 2 (3.9)   | <0.001          | 6 (4.0)    | 3 (5.6)   | <0.001 |

## 2. การศึกษาความสัมพันธ์ของระดับความชุ่นกับผลการตรวจการตราชุดกรองแอนติบอดี

ความสัมพันธ์ระหว่างระดับความชุ่นกับผลการตรวจการตราชุดกรองแอนติบอดี แสดงดังตาราง 19 พบว่าจำนวนตัวอย่างที่รายงานผลได้และรายงานผลไม่ได้รวมมีความสัมพันธ์อย่างมีนัยสำคัญกับความชุ่นของพลาสมากจากการประเมินความชุ่นแบบภาพ A แผนภาพ B และการวัดค่าการดูดกลืนแสง ( $p < 0.001$  ทั้งสามแบบ) โดยซีรัมที่ประเมินความชุ่นด้วยแผนภาพ A เป็น 3+–4+ พบอัตรารายงานผลไม่ได้รวมมากกว่ากู้มที่รายงานผลได้ (ร้อยละ 38.1 และ 2.0) ซีรัมที่ประเมินความชุ่นด้วยแผนภาพ B เป็น 5–10 พบอัตรารายงานผลไม่ได้รวมมากกว่ากู้มที่รายงานผลได้ (ร้อยละ 42.9 และ 6.0) และซีรัมที่วัดค่าการดูดกลืนแสงได้  $>1.000$  พบอัตรารายงานผลไม่ได้รวมมากกว่ากู้มที่รายงานผลได้ (ร้อยละ 46.7 และ 5.0 ตามลำดับ) จำนวนตัวอย่างที่รายงานผลได้และไม่สามารถรายงานผลได้เป็น "X" มีความสัมพันธ์อย่างมีนัยสำคัญกับความชุ่นของซีรัมจากการประเมินความชุ่นแบบภาพ A แผนภาพ B และการวัดค่าการดูดกลืนแสง ( $p < 0.001$  ทั้งสามแบบ) โดยซีรัมที่ประเมินความชุ่นด้วยแผนภาพ A เป็น 3+–4+ พบอัตรารายงานผลไม่ได้รวมมากกว่ากู้มที่รายงานผลได้ (ร้อยละ 67.3 และ 2.0) ซีรัมที่ประเมินความชุ่นด้วยแผนภาพ B เป็น 5–10 พบอัตรารายงานผลไม่ได้รวมมากกว่ากู้มที่รายงานผลได้ (ร้อยละ 78.2 และ 6.0) และซีรัมที่วัดค่าการดูดกลืนแสงได้  $>1.000$  พบอัตรารายงานผลไม่ได้รวมมากกว่ากู้มที่รายงานผลได้ (ร้อยละ 76.4 และ 5.0 ตามลำดับ) จำนวนตัวอย่างที่รายงานผลได้และไม่สามารถรายงานผลได้เป็น "?" ไม่มีความสัมพันธ์อย่างมีนัยสำคัญกับความชุ่นของพลาสมากจากการประเมินความชุ่นแบบภาพ A แผนภาพ B และการวัดค่าการดูดกลืนแสง ( $p = 0.334, 0.719$  และ  $0.106$  ตามลำดับ)

ตาราง 19 ความสัมพันธ์ระหว่างความบกพร่องทางด้านรากและอัตราของผู้ที่ขาดการติดต่อทางด้วย Ortho Autivue Innovate ร้อยละ

| รากยานผู้ติดต่อ          |                      | รากยานผู้ไม่ติดต่อ   |                 |           |           |
|--------------------------|----------------------|----------------------|-----------------|-----------|-----------|
| จำนวน<br>(ร้อยละ)        | จำนวนรวม<br>(ร้อยละ) | จำนวนรวม<br>(ร้อยละ) | WLL<br>(ร้อยละ) | p value   | p value   |
| n=100                    | n=105                | n=55                 | n=50            |           |           |
| <b>แผนภาพ A</b>          |                      |                      |                 |           |           |
| 0 - 2+                   | 98 (98.0)            | 65 (61.9)            | 18 (32.7)       | <0.001    | 47 (94.0) |
| 3+ - 4+                  | 2 (2.0)              | 40 (38.1)            | 37 (67.3)       |           | 3 (6.0)   |
| <b>แผนภาพ B</b>          |                      |                      |                 |           |           |
| 1 - 4                    | 94 (94.0)            | 60 (57.1)            | 12 (21.8)       | <0.001    | 48 (96.0) |
| 5 - 10                   | 6 (6.0)              | 45 (42.9)            | 43 (78.2)       |           | 2 (4.0)   |
| <b>ผู้การติดตอกันแบบ</b> |                      |                      |                 |           |           |
| ≤1.000                   | 95 (95.0)            | 56 (53.3)            | <0.001          | 13 (23.6) | <0.001    |
| >1.000                   | 5 (5.0)              | 49 (46.7)            |                 | 42 (76.4) | 43 (86.0) |
|                          |                      |                      |                 |           | 7 (14.0)  |

### 3. การศึกษาความสัมพันธ์ของสารชีวเคมีกับผลการตรวจคัดกรองแอนติบอดี

ความสัมพันธ์ของระดับสารชีวเคมีกับผลการตรวจคัดกรองแอนติบอดี แสดงดังตาราง 20 พนวจจำนวนตัวอย่างที่รายงานผลได้และรายงานผลไม่ได้รวมมีความสัมพันธ์อย่างมีนัยสำคัญกับระดับของ อัลบูมิน โปรตีนรวม ไตรกลีเซอไรด์ และกลูโคส ( $p = 0.018, 0.005, <0.001$  และ  $0.035$  ตามลำดับ) โดยระดับอัลบูมิน  $\leq 5.0 \text{ g/dl}$  พนอัตราในกลุ่มรายงานผลไม่ได้รวมมากกว่ากลุ่มที่รายงานผลได้ (ร้อยละ 74.3 และ 58.0 ตามลำดับ) ระดับโปรตีนรวมที่  $\leq 8.0 \text{ g/dl}$  พนอัตราในกลุ่มรายงานผลไม่ได้รวมมากกว่ากลุ่มที่รายงานผลได้ (ร้อยละ 41.9 และ 23.0 ตามลำดับ) ระดับไตรกลีเซอไรด์  $> 500 \text{ mg/dl}$  พนอัตราในกลุ่มรายงานผลไม่ได้รวมมากกว่ากลุ่มที่รายงานผลได้ (ร้อยละ 39.0 และ 2.0 ตามลำดับ) และระดับกลูโคส  $> 300 \text{ mg/dl}$  พนอัตราในกลุ่มรายงานผลไม่ได้รวมมากกว่ากลุ่มที่รายงานผลได้ (ร้อยละ 7.6 และ 1.0 ตามลำดับ) จำนวนตัวอย่างที่รายงานผลได้และไม่สามารถรายงานผลเป็น error "WLL" ไม่มีความสัมพันธ์อย่างมีนัยสำคัญกับระดับโปรตีนรวม ( $p = 0.442$ ) ระดับกลูโคส ( $p = 0.054$ ) แต่มีความสัมพันธ์กับระดับอัลบูมิน โกลบูลิน และไตรกลีเซอไรด์ ( $p = 0.003, <0.001$  และ  $<0.001$  ตามลำดับ) โดยระดับอัลบูมิน  $\leq 5.0 \text{ g/dl}$  พนอัตราในกลุ่มรายงานผลเป็น error "WLL" มากกว่ากลุ่มที่รายงานผลได้ (ร้อยละ 81.8 และ 58.0 ตามลำดับ) ระดับโกลบูลินที่  $> 3.5 \text{ g/dl}$  พนอัตราในกลุ่มรายงานผลเป็น error "WLL" มากกว่ากลุ่มที่รายงานผลได้ (ร้อยละ 60.0 และ 30.0 ตามลำดับ) และระดับไตรกลีเซอไรด์  $> 500 \text{ mg/dl}$  พนอัตราในกลุ่มรายงานผลเป็น error "WLL" มากกว่ากลุ่มที่รายงานผลได้ (ร้อยละ 70.9 และ 2.0 ตามลำดับ) จำนวนตัวอย่างที่รายงานผลได้และรายงานผลเป็น error "?" ไม่มีความสัมพันธ์อย่างมีนัยสำคัญกับระดับอัลบูมินและไตรกลีเซอไรด์ ( $p = 0.379$  และ  $0.601$  ตามลำดับ) แต่มีความสัมพันธ์กับระดับโกลบูลิน โปรตีนรวม และกลูโคส ( $p = 0.044, <0.001$  และ  $0.043$  ตามลำดับ) โดยระดับโกลบูลิน  $\leq 3.5 \text{ g/dl}$  พนอัตราในกลุ่มที่ไม่สามารถรายงานผลเป็น error "?" มากกว่ากลุ่มที่รายงานผลได้ (ร้อยละ 86.0 และ 70.0 ตามลำดับ) ระดับโปรตีนรวม  $\leq 8.0 \text{ g/dl}$  พนอัตราในกลุ่มที่ไม่สามารถรายงานผลเป็น error "?" มากกว่ากลุ่มที่รายงานผลได้ (ร้อยละ 56.0 และ 23.0 ตามลำดับ) ระดับกลูโคส  $> 300 \text{ mg/dl}$  พนในกลุ่มที่ไม่สามารถรายงานผลเป็น error "?" มากกว่ากลุ่มที่รายงานผลได้ (ร้อยละ 8.0 และ 1.0 ตามลำดับ)

ตาราง 20 ตารางสัมมทานร่องว่างผนังกระดูกที่กรองและอนติบอดีตวายเครื่อง Ortho AutoVue Innovia กับร่องด้วยวิธีนีโอสูลิน โนร์ตัน  
ไตราลีเซอไรต์ และบากูโนคัล

| สารชีวเคมี    | ร้อยละผิดไป  |   | ร้อยละไม่ได้   |  | P value  | ?   | P value   |   |
|---------------|--|---|--|--|--|---|---|---|
|               | จำนวน<br>(ร้อยละ)  | จำนวนรวม<br>(ร้อยละ)  | จำนวนรวม<br>(ร้อยละ)   | n=55   |  |   |   |   |
| Albumin, g/dl | 3.7-5.0<br>5.1-5.8<br>1.7-3.5<br>3.6-6.0<br>6.1-8.0<br>8.0-10.0<br>Total protein, g/dl<br>46-500<br>501-3,798<br>22-300<br>301-565 | 58 (58.0)<br>42 (42.0)<br>70 (70.0)<br>30 (30.0)<br>23 (23.0)<br>77 (77.0)<br>44 (41.9)<br>61 (58.1)<br>98 (98.0)<br>2 (2.0)<br>99 (99.0)<br>1 (1.00) | 78 (74.3)<br>27 (25.7)<br>65 (61.9)<br>40 (38.1)<br>44 (41.9)<br>61 (58.1)<br>64 (61.0)<br><0.001<br>41 (39.0)<br>97 (92.4)<br>8 (7.6) | 0.018<br>0.241<br><0.001<br>0.005<br>0.005<br><0.001<br>16 (29.1)<br>39 (70.9)<br>16 (29.1)<br>39 (70.9)<br>51 (92.7)<br>4 (7.3) | 45 (81.8)<br>10 (18.2)<br>22 (40.0)<br>33 (60.0)<br>16 (29.1)<br>39 (70.9)<br>16 (29.1)<br>39 (70.9)<br>51 (92.7)<br>4 (7.3) | 0.003<br>0.001<br>0.001<br>0.442<br>0.442<br><0.001<br><0.001<br>0.054<br>0.054 | 33 (66.0)<br>17 (37.0)<br>43 (86.0)<br>7 (14.0)<br>28 (56.0)<br>22 (44.0)<br>48 (96.0)<br>2 (4.0)<br>46 (92.0)<br>4 (8.0) | 0.379<br>0.044<br>0.044<br><0.001<br>0.601<br>0.043 |

#### 4. การศึกษาปัจจัยเสี่ยงต่อการรายงานผลไม่ได้ในการตรวจคัดกรองแอนติบอดี

เมื่อวิเคราะห์ถึงความเป็นปัจจัยเสี่ยงต่อการรายงานผลไม่ได้ในการตรวจคัดกรองแอนติบอดีกับคุณลักษณะของกลุ่มตัวอย่าง ระดับความชุน และระดับสารซีวิคเมื่อ พบร่วมกับการรายงานผลไม่ได้จากการตรวจคัดกรองแอนติบอดีด้วยเครื่อง Ortho Autovue Innova มีความ ความสัมพันธ์กับการประเมินความชุนด้วยแผนภาพ A OR (3+-4+ เทียบกับ 0-2+) = 30.15 (95%CI 7.04-129.1) แผนภาพ B OR (5-10 เทียบกับ 1-4) = 11.75 (95%CI 4.72-27.23) ค่าการ ดูดกลืนแสงที่ความยาวคลื่น 660 นาโนเมตร OR (>1.000 เทียบกับ ≤1.000) = 16.00 (95%CI 6.01-42.54) ระดับอัลบูมิน OR (≤5.0 g/dl เทียบกับ >5.0 g/dl) = 2.09 (95%CI 1.16-3.78) ระดับโปรตีนรวม OR (≤8.0 g/dl เทียบกับ >8.0 g/dl) = 2.42 (95%CI 1.32-4.43) ระดับไตรกลี เชอไรด์ OR (>500 mg/dl เทียบกับ ≤500 mg/dl) = 31.39 (95%CI 7.34-134.3) และระดับ กลูโคส OR (>300 mg/dl เทียบกับ ≤300 mg/dl) = 8.17 (95%CI 1.00-66.52) การประเมิน ความชุนด้วยแผนภาพ A เป็น 3+-4+ มีความเป็นปัจจัยเสี่ยงต่อการรายงานผลไม่ได้มากกว่าความ ชุนเป็น 0-2+ 30.15 เท่า การประเมินความชุนด้วยแผนภาพ B เป็น 5-10 มีความเป็นปัจจัยเสี่ยง ต่อการรายงานผลไม่ได้มากกว่าความชุนเป็น 1-4 11.75 เท่า ค่าการดูดกลืนแสง >1.000 มีความ เป็นปัจจัยเสี่ยงต่อการรายงานผลไม่ได้มากกว่าค่าการดูดกลืนแสง ≤1.000 16.00 เท่า ซึ่งมี ระดับอัลบูมิน ≤5.0 g/dl มีความเป็นปัจจัยเสี่ยงต่อการรายงานผลไม่ได้มากกว่ารายที่มีระดับอัลบู มิน >5.0 g/dl 2.09 เท่า ซึ่งมีระดับโปรตีนรวม ≤8.0 g/dl มีความเป็นปัจจัยเสี่ยงต่อการรายงาน ผลไม่ได้มากกว่าซึ่งมีระดับโปรตีนรวม >8.0 g/dl 2.42 เท่า ซึ่งมีระดับไตรกลีเชอไรด์ >500 mg/dl มีความเป็นปัจจัยเสี่ยงต่อการรายงานผลไม่ได้มากกว่าซึ่งมีระดับไตรกลีเชอไรด์ ≤500 mg/dl 31.39 เท่า ซึ่งมีระดับกลูโคส >300 mg/dl มีความเป็นปัจจัยเสี่ยงต่อการรายงานผลไม่ได้ มากกว่ารายที่มีระดับกลูโคส ≤300 mg/dl 8.17 เท่า นอกจากนี้ยังพบว่าการรายงานผลไม่ได้ใน การตรวจคัดกรองแอนติบอดีไม่มีความสัมพันธ์กับเพศของกลุ่มตัวอย่าง แสดงดังตาราง 21

ตาราง 21 การประเมินความเป็นปัจจัยเสี่ยงของ เพศและอายุของผู้บริจาคโลหิต ความชุ่นของชีรัม และระดับสารชีวเคมีต่อผลการตรวจคัดกรองแอนติบอดีด้วยเครื่อง Ortho Autovue Innova

| คุณลักษณะ              | รายงาน<br>ผลไม่ได้<br>(ร้อยละ)<br>n=105 | รายงาน<br>ผลได้<br>(ร้อยละ)<br>n=100 | P value | Odds ratio | 95%CI      |
|------------------------|---|--------------------------------------|---------|------------|------------|
| <b>เพศ</b>             |   |                                      |         |            |            |
| หญิง                   | 39 (37.1)                               | 30 (30.0)                            | 0.303   | 1.38       | 0.77-2.47  |
| ชาย                    | 66 (62.9)                               | 70 (70.0)                            |         | 1          |            |
| <b>อายุ (ปี)</b>       |   |                                      |         |            |            |
| >35                    | 59 (56.2)                               | 44 (44.0)                            | 0.094   | 1.63       | 0.94-2.84  |
| 17-35                  | 46 (43.8)                               | 56 (56.0)                            |         | 1          |            |
| <b>แผนภาพ A</b>        |   |                                      |         |            |            |
| 3+-4+                  | 40 (38.1)                               | 2 (2.0)                              | <0.001  | 30.15      | 7.04-129.1 |
| 0-2+                   | 65 (61.9)                               | 98 (98.0)                            |         | 1          |            |
| <b>แผนภาพ B</b>        |   |                                      |         |            |            |
| 5-10                   | 45 (42.9)                               | 6 (6.0)                              | <0.001  | 11.75      | 4.72-27.23 |
| 1-4                    | 60 (57.1)                               | 94 (94.0)                            |         | 1          |            |
| <b>ค่าการดูดกลืน</b>   |   |                                      |         |            |            |
| <b>แสง</b>             |   |                                      |         |            |            |
| >1.000                 | 48 (45.7)                               | 5 (5.0)                              | <0.001  | 16.00      | 6.01-42.54 |
| $\leq 1.000$           | 57 (54.3)                               | 95 (95.0)                            |         | 1          |            |
| <b>Albumin (g/dl)</b>  |   |                                      |         |            |            |
| $\leq 5.0$             | 78 (74.3)                               | 58 (58.0)                            | 0.018   | 2.09       | 1.16-3.78  |
| >5.0                   | 27 (25.7)                               | 42 (42.0)                            |         | 1          |            |
| <b>Globulin (g/dl)</b> |   |                                      |         |            |            |
| >3.5                   | 40 (38.1)                               | 30 (30.0)                            | 0.241   | 1.44       | 0.80-2.57  |
| $\leq 3.5$             | 65 (61.9)                               | 70 (70.0)                            |         | 1          |            |

ตาราง 21 (ต่อ)

| คุณลักษณะ              | รายงาน<br>ผลไม่ได้<br>(ร้อยละ)<br>n=105 | รายงาน<br>ผลได้<br>(ร้อยละ)<br>n=100 | P value | Odds ratio | 95%CI      |
|------------------------|---|--------------------------------------|---------|------------|------------|
| <b>Total protein</b>   |   |                                      |         |            |            |
| (g/dl)                 |   |                                      |         |            |            |
| ≤8.0                   | 44 (41.9)                               | 23 (23.0)                            | 0.005   | 2.42       | 1.32-4.43  |
| >8.0                   | 61 (58.1)                               | 77 (77.0)                            |         | 1          |            |
| <b>Triglyceride</b>    |   |                                      |         |            |            |
| (mg/dl)                |   |                                      |         |            |            |
| >500                   | 41 (39.0)                               | 2 (2.0)                              | <0.001  | 31.39      | 7.34-134.3 |
| ≤500                   | 64 (61.0)                               | 98 (98.0)                            |         | 1          |            |
| <b>Glucose (mg/dl)</b> |   |                                      |         |            |            |
| >300                   |   |                                      |         |            |            |
|                        | 8 (7.6)                                 | 1 (1.0)                              | 0.035   | 8.17       | 1.00-66.52 |
| ≤300                   | 97 (92.4)                               | 99 (99.0)                            |         | 1          |            |

เมื่อนำปัจจัยเสี่ยงที่มีความสัมพันธ์กับการไม่สามารถรายงานผลการตรวจคัดกรองเอนติบอดีตัวยเครื่อง Ortho Autovue Innova ได้แก่ อายุ การประเมินความชุนโดยเลือกเฉพาะการวัดค่าการดูดกลืนแสง ระดับอัลบูมิน โปรตีนรวม ไตรกลีเซอไรด์ และกลูโคส มาวิเคราะห์โดยใช้ logistic regression (Bivariate model) พบว่าค่าการดูดกลืนแสง ระดับโปรตีนรวมและไตรกลีเซอไรด์ ยังคงเป็นปัจจัยเสี่ยงที่มีความสัมพันธ์กับการไม่สามารถรายงานผลการตรวจคัดกรองเอนติบอดีตัวยเครื่อง Ortho Autovue Innova โดยค่าการดูดกลืนแสง  $>1.000$  เทียบกับ  $\leq 1.000$  ให้ค่า OR = 7.26 (95%CI 2.16-24.34) ระดับโปรตีนรวมที่ระดับ  $\leq 8.0 \text{ mg/dl}$  เทียบกับระดับ  $>8.0 \text{ mg/dl}$  ให้ค่า OR = 6.19 (95%CI 2.63-14.56) และระดับไตรกลีเซอไรด์  $>500 \text{ mg/dl}$  เทียบกับระดับ  $\leq 500 \text{ mg/dl}$  ให้ค่า OR = 17.12 (95%CI 3.31-88.49) ซึ่งหมายถึงค่าการดูดกลืนแสงที่ความยาวคลื่น 660 นาโนเมตร ระดับโปรตีนรวมและระดับไตรกลีเซอไรด์เป็นปัจจัยเสี่ยงการไม่สามารถรายงานผลการตรวจคัดกรองเอนติบอดีตัวยเครื่อง Ortho Autovue Innova อย่างแท้จริง และเป็นอิสระจากปัจจัยเสี่ยงอื่นๆ โดยซึ่งรับที่มีค่าการดูดกลืนแสงได้  $>1.000$  มีความเป็นปัจจัย

เสี่ยงต่อการรายงานผลไม่ได้มากกว่าค่าการดูดกลืนแสง  $\leq 1.000$  7.26 เท่า ระดับโปรตีนรวม  $\leq 8.0$  g/dl มีความเป็นปัจจัยเสี่ยงต่อการรายงานผลไม่ได้มากกว่าผู้มีระดับโปรตีนรวม  $>8.0$  g/dl 6.19 เท่า ผู้มีระดับไตรกลีเซอไรด์  $>500$  mg/dl มีความเป็นปัจจัยเสี่ยงต่อการรายงานผลไม่ได้มากกว่าผู้มีระดับไตรกลีเซอไรด์น้อยกว่า 500 mg/dl 17.12 เท่า ซึ่งมีความเป็นปัจจัยเสี่ยงเพิ่มขึ้นจากการวิเคราะห์โดยใช้ Odds ratio (Univariate model) สำหรับปัจจัยเสี่ยงอายุ ระดับอัลบูมิน และกลูโคสถูกเปลี่ยนเป็นไม่มีความสัมพันธ์กับการไม่สามารถรายงานผลการตรวจคัดกรองเอนติบอดีตัวยเครื่อง Ortho Autovue Innova ดังตาราง 22

ตาราง 22 ปัจจัยเสี่ยงต่อการตรวจคัดกรองเอนติบอดีตัวยเครื่องตรวจ Ortho Autovue Innova ที่ไม่สามารถรายงานผลได้

| ปัจจัยเสี่ยง                     | OR unadjusted (95%CI) | OR adjusted (95%CI) |
|----------------------------------|-----------------------|---------------------|
| อายุ $> 35$ ปี                   | 1.63 (0.94-2.84)      | -                   |
| ค่าการดูดกลืนแสง $>1.000$        | 16.00 (6.02-42.54)    | 7.26 (2.16-24.34)   |
| Albumin ( $\leq 5.0$ g/dl)       | 2.09 (1.16-3.78)      | -                   |
| Total protein ( $\leq 8.0$ g/dl) | 2.42 (1.32-4.43)      | 6.19 (2.63-14.56)   |
| Triglyceride ( $>500$ mg/dl)     | 31.39 (7.34-134.3)    | 17.12 (3.31-88.49)  |
| Glucose ( $>300$ mg/dl)          | 8.17 (1.00-66.52)     | -                   |

เมื่อวิเคราะห์ถึงความเป็นปัจจัยเสี่ยงต่อการรายงานผลไม่ได้โดยรายงานผลเป็น "WLL" ในการตรวจคัดกรองเอนติบอดีตับคุณลักษณะของกลุ่มตัวอย่าง ระดับความชุน และระดับสารซีวเดรฟี พนว่าการรายงานผลไม่ได้จากการตรวจคัดกรองเอนติบอดีตัวยเครื่อง Ortho Autovue Innova error เป็น "WLL" มีความสัมพันธ์กับอายุ ด้วยค่า OR ( $>35$  ปี เทียบกับ  $\leq 35$  ปี) = 2.41 (95%CI 1.22-4.77) การประเมินความชุนด้วยแผนภาพ A OR (3+-4- เทียบกับ 0-2+) = 100.7 (95%CI 22.72-455.5) แผนภาพ B OR (5-10 เทียบกับ 1-4) = 56.14 (95%CI 19.76-159.51) ค่าการดูดกลืนแสงที่ความยาวคลื่น 660 นาโนเมตร OR ( $>1.000$  เทียบกับ  $\leq 1.000$ ) = 61.39 (95%CI 20.57-183.2) ระดับอัลบูมิน OR ( $\leq 5.0$  g/dl เทียบกับ  $>5.0$  g/dl) = 3.26 (95%CI 1.48-7.19) ระดับโกลบูลิน OR ( $\leq 3.0$  g/dl เทียบกับ  $>3.0$  g/dl) = 3.50 (95%CI 1.76-6.97) ระดับไตรกลีเซอไรด์ OR ( $>500$  mg/dl เทียบกับ  $\leq 500$  mg/dl) = 119.44 (95%CI 26.23-544.0) และระดับกลูโคส OR ( $>300$  mg/dl เทียบกับ  $\leq 300$  mg/dl) = 7.77 (95%CI 0.85-71.29) โดยพบว่า

ผู้มีอายุ >35 ปีความเป็นปัจจัยเสี่ยงต่อการรายงานผลไม่ได้มากกว่าผู้มีอายุ ≤35 2.41 เท่า การประเมินความชุ่นด้วยแผนภาพ A เป็น 3+-4+ มีความเป็นปัจจัยเสี่ยงต่อการรายงานผลไม่ได้มากกว่าความชุ่นเป็น 0-2+ 100.7 เท่า การประเมินความชุ่นด้วยแผนภูมิ B เป็น 5-10 มีความเป็นปัจจัยเสี่ยงต่อการรายงานผลไม่ได้มากกว่า 1-4 56.14 เท่าค่าการดูดกลืนแสง >1.000 มีความเป็นปัจจัยเสี่ยงต่อการรายงานผลไม่ได้มากกว่าค่าการดูดกลืนแสง ≤1.000 61.39 เท่า ชีรัมที่มีระดับอัลบูมิน ≤5.0 g/dl มีความเป็นปัจจัยเสี่ยงต่อการรายงานผลไม่ได้มากกว่ารายที่มีระดับอัลบูมิน >5.0 g/dl 3.26 เท่า ชีรัมที่มีระดับโกลบูลิน >3.5 g/dl มีความเป็นปัจจัยเสี่ยงต่อการรายงานผลไม่ได้มากกว่ารายที่มีระดับโกลบูลิน ≤3.5 g/dl 3.50 เท่า ชีรัมที่มีระดับไตรกลีเซอไรด์ >500 mg/dl มีความเป็นปัจจัยเสี่ยงต่อการรายงานผลไม่ได้มากกว่ารายที่มีระดับไตรกลีเซอไรด์ ≤500 mg/dl 119.4 เท่า นอกจากนี้ยังพบว่าการรายงานผลไม่ได้ในการตรวจคัดกรองเอนติบอดีไม่มีความสัมพันธ์กับเพศของกลุ่มตัวอย่าง ระดับโปรตีนรวม และระดับกลูโคส แสดงดังตาราง 23

ตาราง 23 การประเมินความเป็นปัจจัยเสี่ยงของ เพศและอายุของผู้บริจากโลหิต ความชุ่นของชีรัม และระดับของสารชีวเคมีต่อผลการตรวจคัดกรองเอนติบอดีด้วยเครื่อง Ortho Autovue Innova ที่รายงานผลเป็น “WLL”

| คุณลักษณะ        | รายงาน<br>ผลไม่ได้ “WLL”<br>(ร้อยละ)<br>n=55 | รายงาน<br>ผลได้<br>(ร้อยละ)<br>n=100 | P value | Odds<br>ratio | 95%CI       |
|------------------|--|--------------------------------------|---------|---------------|-------------|
| <b>เพศ</b>       |  |                                      |         |               |             |
| ชาย              | 44 (80.0)                                    | 70 (70.0)                            | 0.190   | 1.71          | 0.78-3.77   |
| หญิง             | 11 (20.0)                                    | 30 (30.0)                            |         | 1             |             |
| <b>อายุ (ปี)</b> |  |                                      |         |               |             |
| >35              | 36 (65.6)                                    | 44 (44.0)                            | 0.012   | 2.41          | 1.22-4.77   |
| 17-35            | 19 (34.5)                                    | 56 (56.0)                            |         | 1             |             |
| <b>แผนภาพ A</b>  |  |                                      |         |               |             |
| 3+-4+            | 37 (67.3)                                    | 2 (2.0)                              | <0.001  | 100.7         | 22.72-455.5 |
| 0-2+             | 18 (32.7)                                    | 98 (98.0)                            |         | 1             |             |

ตาราง 23 (ต่อ)

| คุณลักษณะ                        | รายงาน<br>ผลไม่ได้ "WLL"<br>(ร้อยละ)<br>n=55 | รายงาน<br>ผลได้<br>(ร้อยละ)<br>n=100 | P value | Odds<br>ratio | 95%CI       |
|----------------------------------|--|--------------------------------------|---------|---------------|-------------|
| <b>แผนภาพ B</b>                  |  |                                      |         |               |             |
| 5-10                             | 43 (78.2)                                    | 6 (6.0)                              | <0.001  | 56.14         | 19.76-159.5 |
| 1-4                              | 12 (21.8)                                    | 94 (94.0)                            |         | 1             |             |
| <b>ค่าการดูดกลืน</b>             |  |                                      |         |               |             |
| <b>แสง</b>                       |  |                                      |         |               |             |
| >1.000                           | 42 (76.4)                                    | 5 (5.0)                              | <0.001  | 61.39         | 20.57-183.2 |
| ≤1.000                           | 13 (23.6)                                    | 95 (95.0)                            |         | 1             |             |
| <b>Albumin, (g/dl)</b>           |  |                                      |         |               |             |
| ≤5.0                             | 45 (81.8)                                    | 58 (58.0)                            | 0.003   | 3.26          | 1.48-7.19   |
| >5.0                             | 10 (18.2)                                    | 42 (42.0)                            |         | 1             |             |
| <b>Globulin, (g/dl)</b>          |  |                                      |         |               |             |
| >3.5                             | 33 (60.0)                                    | 30 (30.0)                            | <0.001  | 3.50          | 1.76-6.97   |
| ≤3.5                             | 22 (40.0)                                    | 70 (70.0)                            |         | 1             |             |
| <b>Total protein,<br/>(g/dl)</b> |  |                                      |         |               |             |
| ≤8.0                             | 16 (29.1)                                    | 23 (23.0)                            | 0.442   | 1.37          | 0.65-2.89   |
| >8.0                             | 39 (70.9)                                    | 77 (77.0)                            |         | 1             |             |
| <b>Triglyceride,<br/>(mg/dl)</b> |  |                                      |         |               |             |
| >500                             | 39 (70.9)                                    | 2 (2.0)                              | <0.001  | 119.4         | 26.23-544.0 |
| ≤500                             | 16 (29.1)                                    | 98 (98.0)                            |         | 1             |             |
| <b>Glucose,<br/>(mg/dl)</b>      |  |                                      |         |               |             |
| >300                             | 4 (7.3)                                      | 1 (1.0)                              | 0.054   | 7.77          | 0.85-71.29  |
| ≤300                             | 51 (92.7)                                    | 99 (99.0)                            |         | 1             |             |

เมื่อจำปัจจัยเสี่ยงที่มีความสัมพันธ์กับการไม่สามารถรายงานผลการตรวจคัดกรองแอนติบอดีด้วยเครื่อง Ortho Autovue Innova โดยรายงานผลเป็น “WLL” ได้แก่ อายุ การประเมินความชุนโดยเลือกเฉพาะการวัดค่าการดูดกลืนแสง ระดับอัลบูมิน โกลบูลิน ไตรกลีเซอไรด์ และกลูโคส มาตรวัดที่โดยใช้ logistic regression (Bivariate model) พบว่า ค่าการดูดกลืนแสง และระดับไตรกลีเซอไรด์ ยังคงเป็นปัจจัยเสี่ยงที่มีความสัมพันธ์กับการไม่สามารถรายงานผลการตรวจคัดกรองแอนติบอดีด้วยเครื่อง Ortho Autovue Innova โดยค่าการดูดกลืนแสง >1.000 เทียบกับ ≤1.000 ให้ค่า OR = 21.25 (95%CI 4.21-107.2) และระดับไตรกลีเซอไรด์ >500 mg/dl เทียบกับ ≤500 mg/dl ให้ค่า OR = 97.31 (95%CI 10.48-903.8) ซึ่งหมายถึง ค่าการดูดกลืนแสง และระดับไตรกลีเซอไรด์ เป็นปัจจัยเสี่ยงการไม่สามารถรายงานผลการตรวจคัดกรองแอนติบอดีด้วยเครื่อง Ortho Autovue Innova โดยรายงานผลเป็น “WLL” อย่างแท้จริงและเป็นอิสระจากปัจจัยเสี่ยงอื่นๆ โดยศรีรัมที่มีค่าการดูดกลืนแสงได้ >1.000 มีความเป็นปัจจัยเสี่ยงต่อการรายงานผลไม่ได้มากกว่าค่าการดูดกลืนแสง ≤1.000 21.25 เท่า ผู้มีระดับไตรกลีเซอไรด์ >500 mg/dl มีความเป็นปัจจัยเสี่ยงต่อการรายงานผลไม่ได้มากกว่าผู้มีระดับไตรกลีเซอไรด์ ≤500 mg/dl 97.31 เท่า สำหรับปัจจัยเสี่ยงอายุ ระดับอัลบูมิน ระดับโกลบูลิน และระดับกลูโคสถูกเปลี่ยนเป็นไม่มีความสัมพันธ์กับการไม่สามารถรายงานผลการตรวจคัดกรองแอนติบอดีด้วยเครื่อง Ortho Autovue Innova โดยรายงานผลเป็น “WLL” ดังตาราง 24

ตาราง 24 ปัจจัยเสี่ยงต่อการตรวจคัดกรองแอนติบอดีด้วยเครื่องตรวจ Ortho Autovue Innova ที่ไม่สามารถรายงานผลได้ โดยรายงานผลเป็น “WLL”

| ปัจจัยเสี่ยง               | OR unadjusted (95%CI) | OR adjusted (95%CI) |
|----------------------------|-----------------------|---------------------|
| อายุ >35 ปี                | 2.41 (1.22-4.77)      | -                   |
| ค่าการดูดกลืนแสง >1.000    | 61.39 (20.57-183.2)   | 21.25 (4.21-107.2)  |
| Albumin ( $\leq$ 5.0 g/dl) | 3.26 (1.48-7.19)      | -                   |
| Globulin (>3.5 g/dl)       | 3.50 (1.76-6.97)      | -                   |
| Triglyceride (>500 mg/dl)  | 119.4 (26.23-543.9)   | 97.31 (10.48-903.8) |
| Glucose (>300 mg/dl)       | 7.77 (0.85-71.29)     | -                   |

เมื่อวิเคราะห์ถึงความเป็นปัจจัยเสี่ยงต่อการรายงานผลไม่ได้โดยรายงานผลเป็น "?" ในการตรวจคัดกรองแอนติบอดีกับคุณลักษณะของกลุ่มตัวอย่าง ระดับความชุน และระดับสารชีวเคมีพบว่าการรายงานผลไม่ได้จากการตรวจคัดกรองแอนติบอดีด้วยเครื่อง Ortho Autovue Innova พบ error เป็น "?" มีความสัมพันธ์กับเพศของกลุ่มตัวอย่างด้วยค่า OR (หญิง เทียบกับชาย) = 2.97 (95%CI 1.47-6.00) ระดับโกลบูลิน OR ( $\leq 3.5 \text{ g/dl}$  เทียบกับ  $> 3.5 \text{ g/dl}$ ) = 2.63 (95%CI 1.06-6.52) ระดับโปรตีนรวม OR ( $\leq 8.0 \text{ g/dl}$  เทียบกับ  $> 8.0 \text{ g/dl}$ ) = 4.26 (95%CI 2.06-8.82) และระดับกลูโคส OR ( $> 300 \text{ mg/dl}$  เทียบกับ  $\leq 300 \text{ mg/dl}$ ) = 8.61 (95%CI 0.94-79.19) โดยพบว่าเพศหญิงมีความเป็นปัจจัยเสี่ยงต่อการรายงานผลไม่ได้มากกว่าเพศชาย 2.97 เท่า ซึ่งรัมที่มีระดับโกลบูลิน  $> 3.5 \text{ g/dl}$  มีความเป็นปัจจัยเสี่ยงต่อการรายงานผลไม่ได้มากกว่ารายที่มีระดับโกลบูลิน  $\leq 3.5 \text{ g/dl}$  2.63 เท่า ซึ่งรัมที่มีระดับโปรตีนรวม  $\leq 8.0 \text{ g/dl}$  มีความเป็นปัจจัยเสี่ยงต่อการรายงานผลไม่ได้มากกว่ารายที่มีระดับโปรตีนรวม  $> 8.0 \text{ g/dl}$  4.26 เท่า ซึ่งรัมที่มีระดับกลูโคส  $> 300 \text{ mg/dl}$  มีความเป็นปัจจัยเสี่ยงต่อการรายงานผลไม่ได้มากกว่ารายที่มีระดับกลูโคส  $\leq 300 \text{ mg/dl}$  8.61 เท่า และพบว่าการรายงานผลไม่ได้ในการตรวจคัดกรองแอนติบอดีโดยพบ error เป็น "?" ไม่มีความสัมพันธ์กับอายุของกลุ่มตัวอย่าง การประเมินความชุนด้วยแผนภาพ A แผนภาพ B ค่าการดูดกลืนแสง ระดับอัลบูมิน และระดับไตรกลีเซอไรด์ แสดงดังตาราง 25

ตาราง 25 การประเมินความเป็นปัจจัยเสี่ยงของ เพศและอายุของผู้บริจากใจหิต ความชุนของซีรัม และระดับสารชีวเคมีต่อผลการตรวจคัดกรองแอนติบอดีด้วยเครื่อง Ortho Autovue Innova ที่รายงานผลเป็น "?"

| คุณลักษณะ        | รายงานผล   |           | P value | Odds ratio | 95%CI     |
|------------------|------------|-----------|---------|------------|-----------|
|                  | "ไม่ได้ ?" | "ได้"     |         |            |           |
|                  | (ร้อยละ)   | (ร้อยละ)  |         |            |           |
|                  | n=50       | n=100     |         |            |           |
| <b>เพศ</b>       |            |           |         |            |           |
| หญิง             | 28 (56.0)  | 70 (70.0) | 0.003   | 2.97       | 1.47-6.00 |
| ชาย              | 22 (44.0)  | 30 (30.0) |         | 1          |           |
| <b>อายุ (ปี)</b> |            |           |         |            |           |
| >35              | 23 (46.0)  | 44 (44.0) | 0.863   | 1.08       | 0.55-2.14 |
| 17-35            | 27 (54.0)  | 56 (56.0) |         | 1          |           |

ตาราง 25 (ต่อ)

| คุณลักษณะ<br>ไม่ได้ "?"<br>(ร้อยละ) | รายงานผล<br>ไม่ได้<br>(ร้อยละ)<br>n=50 | รายงานผล<br>ได้<br>(ร้อยละ)<br>n=100 | P value | Odds ratio | 95%CI      |
|-------------------------------------|--|--------------------------------------|---------|------------|------------|
| <b>แผนภาพ A</b>                     |  |                                      |         |            |            |
| 3+4+                                | 3 (6.0)                                | 2 (2.0)                              | 0.334   | 3.13       | 0.51-19.36 |
| 0-2+                                | 47 (94.0)                              | 98 (98.0)                            |         | 1          |            |
| <b>แผนภาพ B</b>                     |  |                                      |         |            |            |
| 1-4                                 | 48 (96.0)                              | 6 (6.0)                              | 0.719   | 1.53       | 0.30-7.88  |
| 5-10                                | 2 (4.0)                                | 94 (94.0)                            |         | 1          |            |
| <b>ค่าการดูดกลืน</b>                |  |                                      |         |            |            |
| แสง                                 |  |                                      |         |            |            |
| >1,000                              | 7 (14.0)                               | 5 (5.0)                              | 0.106   | 3.09       | 0.93-1030  |
| ≤1,000                              | 43 (86.0)                              | 95 (95.0)                            |         | 1          |            |
| <b>Albumin, (g/dl)</b>              |  |                                      |         |            |            |
| ≤5.0                                | 33 (66.0)                              | 58 (58.0)                            | 0.379   | 1.41       | 0.69-2.85  |
| >5.0                                | 17 (34.0)                              | 42 (42.0)                            |         | 1          |            |
| <b>Globulin, (g/dl)</b>             |  |                                      |         |            |            |
| ≤3.5                                | 43 (86.0)                              | 30 (30.0)                            | 0.044   | 2.63       | 1.06-6.52  |
| >3.5                                | 7 (14.0)                               | 70 (70.0)                            |         | 1          |            |
| <b>Total protein,<br/>(g/dl)</b>    |  |                                      |         |            |            |
| ≤8.0                                | 28 (56.0)                              | 23 (23.0)                            | <0.001  | 4.26       | 2.06-8.82  |
| >8.0                                | 22 (44.0)                              | 77 (77.0)                            |         | 1          |            |
| <b>Triglyceride,<br/>(mg/dl)</b>    |  |                                      |         |            |            |
| >500                                | 2 (4.0)                                | 2 (2.0)                              | 0.601   | 2.04       | 0.28-14.94 |
| ≤500                                | 48 (96.0)                              | 98 (98.0)                            |         | 1          |            |

ตาราง 25 (ต่อ)

| คุณลักษณะ      | รายงานผล<br>ไม่ได้ "?"<br>(ร้อยละ)<br>n=50 | รายงานผล<br>ได้<br>(ร้อยละ)<br>n=100 | P value | Odds ratio | 95%CI      |
|----------------|--|--------------------------------------|---------|------------|------------|
| <b>Glucose</b> |  |                                      |         |            |            |
| mg/dl          |  |                                      |         |            |            |
| >300           | 4 (8.0)                                    | 1 (1.0)                              | 0.043   | 8.61       | 0.94-79.19 |
| ≤300           | 46 (92.0)                                  | 99 (99.0)                            |         | 1          |            |

เมื่อนำปัจจัยเสี่ยงที่มีความสัมพันธ์กับการไม่สามารถรายงานผลการตรวจคัดกรองแอนติบอดีด้วยเครื่อง Ortho Autovue Innova โดยรายงานผลเป็น "?" ได้แก่ เพศ ระดับโกลบูลินโปรตีนรวม และกลูโคส มาวิเคราะห์โดยใช้ logistic regression (Bivariate model) พบว่า เพศและระดับโปรตีนรวมยังคงเป็นปัจจัยเสี่ยงที่มีความสัมพันธ์กับการไม่สามารถรายงานผลการตรวจคัดกรองแอนติบอดีด้วยเครื่อง Ortho Autovue Innova โดยรายงานผลเป็น "?" โดยเพศหญิง เทียบกับเพศชายให้ค่า OR = 3.11 (95%CI 1.43-6.75) ระดับโปรตีนรวม ≤8.0 g/dl เทียบกับ >8.0 g/dl ให้ค่า OR = 3.99 (95%CI 1.47-7.82) ซึ่งหมายถึง เพศและระดับโปรตีนรวมเป็นปัจจัยเสี่ยงการไม่สามารถรายงานผลการตรวจคัดกรองแอนติบอดีด้วยเครื่อง Ortho Autovue Innova โดยรายงานผลเป็น "?" อย่างแท้จริงและเป็นอิสระจากปัจจัยเสี่ยงอื่นๆ โดยเพศหญิงมีความเป็นปัจจัยเสี่ยงต่อการรายงานผลไม่ได้มากกว่าเพศชาย 3.11 เท่า ผู้มีระดับโปรตีนรวม >8.0 g/dl มีความเป็นปัจจัยเสี่ยงต่อการรายงานผลไม่ได้มากกว่าผู้มีระดับโปรตีนรวม ≤8.0 g/dl = 3.56 เท่า ซึ่งมีความเป็นปัจจัยเสี่ยงเพิ่มขึ้นจากการวิเคราะห์โดยใช้ Odds ratio (Univariate model) สำหรับปัจจัยเสี่ยงระดับโกลบูลินและกลูโคสถูกเปลี่ยนเป็นไม่มีความสัมพันธ์กับการไม่สามารถรายงานผลการตรวจคัดกรองแอนติบอดีด้วยเครื่อง Ortho Autovue Innova ดังตาราง 26

ตาราง 26 ปัจจัยเสี่ยงต่อการตรวจคัดกรองแอนติบอดีด้วยเครื่องตรวจ Ortho Autovue Innova ที่ไม่สามารถรายงานผลได้ โดยรายงานผลเป็น “?”

| ปัจจัยเสี่ยง                     | OR unadjusted (95%CI) | OR adjusted (95%CI) |
|----------------------------------|-----------------------|---------------------|
| เพศ หญิง                         | 2.97 (1.47-6.00)      | 3.11 (1.43-6.75)    |
| Globulin ( $\leq 3.5$ g/dl)      | 2.63 (1.06-6.52)      | -                   |
| Total protein ( $\leq 8.0$ g/dl) | 4.26 (2.06-8.82)      | 3.39 (1.47-7.82)    |
| Glucose ( $>300$ mg/dl)          | 8.61 (0.94-79.19)     | -                   |



## บทที่ 5

### บทสรุป

#### สรุปผลการวิจัย

การตรวจหาโลหิตและคัดกรองแอนติบอดีเป็นข้อกำหนดในการตรวจคัดกรองโลหิตผู้บริจาคก่อนที่จะนำไปให้ผู้ป่วย หากผู้ป่วยได้รับโลหิตผิดหมู่หรือได้รับโลหิตที่มีแอนติบอดีต่อแอนติเจนบนผิวน้ำเสียเดียดแดงของผู้ป่วย อาจทำให้เกิดปฏิกิริยาไม่พึงประสงค์จากการรับโลหิต เช่น hemolytic transfusion reaction และ febrile non-hemolytic transfusion reaction ซึ่งอาจทำให้ผู้ป่วยเกิดอาการแทรกซ้อนที่ไม่รุนแรง เช่น ไข้ หนาวสั่น แน่นหน้าอกร และความดันโลหิตต่ำ จนถึงรุนแรงถึงเสียชีวิตได้ (53) ปัจจุบันการตรวจหาโลหิตและคัดกรองแอนติบอดีได้มีการพัฒนาสำหรับเครื่องตรวจวินิจฉัยอัตโนมัติมาใช้เพื่อลดความผิดพลาดในการอ่านผลตรวจจากผู้ป่วยบดิจิทัล ซึ่งต้องอาศัยความชำนาญและประสบการณ์ในการทำงาน โดยเครื่องตรวจวินิจฉัยแต่ละเครื่องมีข้อจำกัดของตัวอย่างที่ใช้ในการตรวจแตกต่างกันไป เช่น ชนิดของสารกันเลือดแข็งและสารควบคุมที่พบในตัวอย่างตรวจ สำหรับงานธนาคารเลือดสารควบคุมในตัวอย่างที่พบบ่อยคือตัวอย่างมีลักษณะขาวขุ่น ซึ่งเป็นผลจากข้อกำหนดของการบริจาคโลหิตที่ว่า “ผู้บริจาคลอหิตต้องรับประทานอาหารมื้อหลักก่อนการบริจาคลอหิต” โดยการประเมินความขาวขุ่นว่าที่เป็นมาตรฐานคือการวัดค่าการดูดกลืนแสงที่ความยาวคลื่น 660 นาโนเมตร ซึ่งพบปัญหาคือ ไม่สามารถต่อการใช้งาน และเป็นการเพิ่มขั้นตอนในการปฏิบัติงาน งานวิจัยนี้จึงได้ศึกษาการประเมินระดับความขาวขุ่นด้วยแผนภาพ A และแผนภาพ B จากการประเมินความขาวขุ่นของพลาสมาเบรียบเทียบกับค่าการดูดกลืนแสงพบว่า การประเมินความขาวขุ่นทั้ง 3 วิธีมีความสัมพันธ์กันอย่างมีนัยสำคัญ โดยสัมประสิทธิ์สหสัมพันธ์ของแผนภาพ A สูงกว่าแผนภาพ B เมื่อเบรียบเทียบกับการวัดค่าการดูดกลืนแสง ( $r = 0.904$  และ  $0.692$  ตามลำดับ) แต่พบว่าระดับความขาวขุ่นไม่มีความสัมพันธ์กับภาระงานผลไม้ต่อจากการตรวจหมู่โลหิตด้วยเครื่องตรวจวินิจฉัยอัตโนมัติ Qwalys 3 ทั้งแบบรวมและแบบรายงานผลเป็น “X” และ “?” ส่วนการทดลองโดยการเตรียมสารเชิงเคมีระดับต่างๆเพื่อดูผลกระทบต่อการตรวจหมู่โลหิต พบว่าระดับคลัตบูมิน  $4.0-14.0 \text{ g/dl}$  และโกลบูลิน  $3.0-6.0 \text{ g/dl}$  ไม่ส่งผลกระทบต่อการตรวจหมู่โลหิต แต่พบว่าระดับกลูโคส  $1,000 \text{ mg/dl}$  เครื่องไม่สามารถสรุปผลโดยรายงานผลเป็น “?” ระดับไตรกลีเซอไรด์โดยเติม intralipid<sup>®</sup> ในพลาสมา  $250-2,500 \text{ mg/dl}$  พบว่าเครื่องไม่สามารถสรุปผลได้ทุกระดับความเข้มข้น จึงนำพลาสมาของผู้บริจาคลอหิตที่มีลักษณะขาวขุ่นมาเจือจางที่

ความเข้มข้นต่างๆ พบว่าระดับไตรกลีเซอไรด์ความเข้มข้น 1,700 และ 3,400 mg/dl ส่งผลกระทบต่อการตรวจโดยพบรายงานผลเป็น "?" และ "X" เมื่อศึกษาความเป็นปัจจัยเสี่ยงในกลุ่มผู้บริจากให้เหตุพบร่วมกับการคุณภาพแสงที่ความยาวคลื่น 660 นาโนเมตร  $>1.000$  มีความเป็นปัจจัยเสี่ยงต่อการรายงานผลไม่ได้รวมและรายงานผลเป็น "X" มากกว่าค่าการคุณภาพแสง  $\leq 1.000$  12.26 และ 42.54 เท่าตามลำดับ พลาสมาที่มีระดับโปรตีนรวม  $\leq 8.0$  g/dl มีความเป็นปัจจัยเสี่ยงต่อการรายงานผลไม่ได้รวม รายงานผลเป็น "X" และ "?" มากกว่าพลาสมาที่มีระดับโปรตีนรวม  $>8.0$  g/dl 17.78, 37.91 และ 8.95 เท่าตามลำดับ พลาสมาที่มีระดับไตรกลีเซอไรด์  $> 500$  mg/dl มีความเป็นปัจจัยเสี่ยงต่อการรายงานผลไม่ได้รวมและรายงานผลเป็น "?" มากกว่ารายที่มีระดับไตรกลีเซอไรด์  $\leq 500$  mg/dl 7.18 และ 10.35 เท่าตามลำดับ

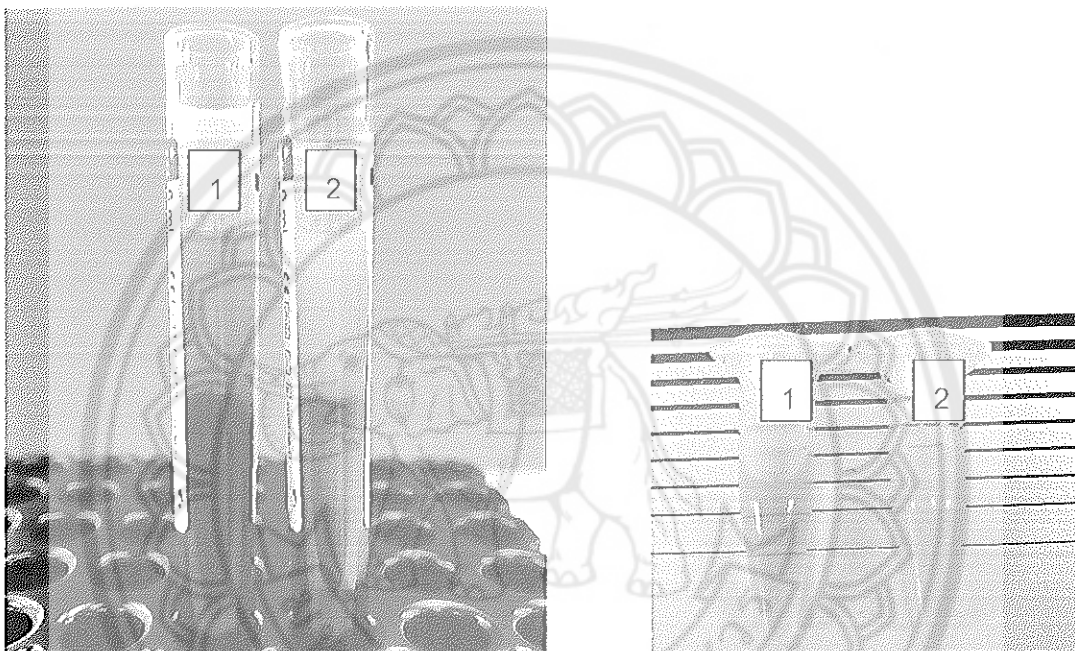
การประเมินความชุ่นของซีรัมจากทั้ง 3 วิธีพบว่ามีความสัมพันธ์กันอย่างมีนัยสำคัญ เช่นเดียวกับในพลาสม่า โดยสัมประสิทธิ์สัมพันธ์ของแผนภาพ A ถูกลากว่าแผนภาพ B เมื่อเปรียบเทียบกับการวัดค่าการคุณภาพแสง ( $r = 0.933$  และ  $0.690$  ตามลำดับ) การตรวจคัดกรองแอนติบอดีด้วยเครื่องตรวจวิเคราะห์ซึ่งในเมดิ Ortho Autovue Innova พบว่าความชุ่นมีความสัมพันธ์กับการรายงานผลไม่ได้จากการตรวจคัดกรองแอนติบอดีโดยรายงานผลไม่ได้แบบรวมและแบบรายงานผลเป็น "WLL" โดยพบอัตราการรายงานผลไม่ได้สูงในกลุ่มตัวอย่างชุ่น ส่วนการทดลองโดยการเตรียมสารชีวเคมีระดับต่างๆเพื่อคุณภาพที่ต่อการตรวจคัดกรองแอนติบอดีพบว่าระดับอัลบูมินความเข้มข้น  $\geq 12.0$  g/dl และโกลบูลินความเข้มข้น 6.0 g/dl ส่งผลกระทบต่อการตรวจคัดกรองแอนติบอดีโดยพนบปฏิกริยาบวกแรงมากกว่าเริ่มต้นและพบผลบวกปลอม ระดับกลูโคสไม่ส่งผลกระทบต่อการตรวจ ระดับไตรกลีเซอไรด์โดยการเติม intralipid<sup>®</sup> ระดับความเข้มข้น 1,500-2,000 mg/dl และในซีรัมผู้บริจากให้เหตุพบร่วมกับความเข้มข้นที่ ระดับไตรกลีเซอไรด์ 850 และ 3,400 mg/dl ส่งผลกระทบต่อการตรวจคัดกรองแอนติบอดีโดยพนบเป็นผลบวกปลอม เมื่อศึกษาความเป็นปัจจัยเสี่ยงในกลุ่มผู้บริจากให้เหตุพบร่วมกับเพศหญิงมีอัตราเสี่ยงต่อการรายงานผลเป็น "?" มากกว่าเพศชาย 3.11 เท่า ค่าการคุณภาพแสงที่ความยาวคลื่น 660 นาโนเมตร  $>1.000$  มีความเป็นปัจจัยเสี่ยงต่อการรายงานผลไม่ได้รวมและรายงานผลเป็น "WLL" มากกว่าค่าการคุณภาพแสง  $\leq 1.000$  7.26 และ 21.25 เท่าตามลำดับ ซีรัมมีระดับโปรตีนรวม  $\leq 8.0$  g/dl มีความเป็นปัจจัยเสี่ยงต่อการรายงานผลไม่ได้รวมและรายงานผลเป็น "?" มากกว่าซีรัมมีระดับโปรตีนรวม  $>8.0$  g/dl 6.19 และ 3.39 เท่าตามลำดับ ซีรัมมีระดับไตรกลีเซอไรด์  $> 500$  mg/dl มีความเป็นปัจจัยเสี่ยงต่อการรายงานผลไม่ได้รวมและรายงานผลเป็น "WLL" มากกว่าซีรัมมีระดับไตรกลีเซอไรด์น้อยกว่า 500 mg/dl เท่ากับ 17.12 และ 97.31 เท่าตามลำดับ

## อภิปรายผลการวิจัย

จากการสูมเก็บตัวอย่างโลหิตของผู้บริจากโดยเก็บตัวอย่างชุ่นและไม่ชุ่น กลุ่มละ 199 ราย จำนวนรวม 398 ราย พบร่วงกลุ่มตัวอย่างชุ่นเมื่อตราชายมากกว่ากลุ่มตัวอย่างปกติ อย่างมีนัยสำคัญ ( $p<0.001$ ) สอดคล้องกับการรายงานของ Prapainil Kaewduang ซึ่งได้ศึกษาปัจจัยเสี่ยงต่อภาวะพลาสมาขาวชุ่นจากไขมันในผู้บริจากโลหิต พบร่วง เพศชายมีอัตราเสี่ยงต่อการเกิดพลาสมาขาวชุ่นมากกว่าเพศหญิง 3.10 เท่า (54) และรายงานของ Karlijn Peffer ซึ่งได้ศึกษาปัจจัยที่เกี่ยวกับพลาสมาชุ่นของผู้บริจากโดยศึกษาคุณลักษณะและระดับไขมันในเลือดของผู้บริจากโดยพบร่วง เพศชายพบพลาสมาชุ่นในอัตราที่สูงกว่าเพศหญิง 4.6 เท่า (55) และเป็นที่ทราบกันดีว่าตัวอย่างชุ่นเกิดจากการมีระดับไขมันไปโปรตีนชนิด chylomicron และ VLDL ซึ่งมีอนุภาคขนาดใหญ่ในกระแสเลือด ทำให้น้ำที่ขนส่ง triglyceride ไปสู่เนื้อเยื่อต่างๆ โดยระดับ triglyceride ไม่ได้มีความสัมพันธ์ระดับความชุ่น (56) จากการศึกษาของ Nicolas D Knuth พบร่วง เพศชายมีระยะเวลาในการนำ triglyceride เข้าสู่เนื้อเยื่อต่างๆ ใช้เวลานานกว่าเพศหญิงเป็นสาเหตุให้ยังคงพบ chylomicron และ VLDL ซึ่งเป็นสาเหตุให้เพศชายพบตัวอย่างชุ่นมากกว่าเพศหญิง (57) นอกจากนี้เพศชายยังมีความชุ่นในการสูบบุหรี่และตื่มแอลกอฮอล์ซึ่งเป็นปัจจัยที่ทำให้พบตัวอย่างชุ่นมากกว่าเพศหญิง (58, 59) การศึกษานี้ยังพบว่าอายุมีความสัมพันธ์กับภาวะตัวอย่างชุ่น ( $p=0.005$ ) โดยกลุ่มตัวอย่างที่มีอายุมากกว่า 35 ปีพบในกลุ่มตัวอย่างชุ่นเมื่อตราชายกว่ากลุ่มที่ไม่ชุ่น สอดคล้องกับการรายงานของ Prapainil Kaewduang พบร่วงผู้มีอายุมากกว่า 35 ปีมีอัตราเสี่ยงต่อการเกิดพลาสมาขาวมากกว่าผู้มีอายุน้อยกว่า 35 ปี 2.50 เท่า (54) และรายงานของ Cinta Botelho Dias เมื่อวัดระดับ triglyceride หลังรับประทานอาหาร 6 ชั่วโมงพบว่า ผู้มีอายุ 20-30 ปี ระดับ triglyceride ลดลงเร็วกว่าผู้มีอายุ 31-40 และ 41-50 ปี ตามลำดับ (60)

ในงานตรวจทางห้องปฏิบัติการ การประเมินระดับความชุ่นวิธีมาตรฐานคือการวัดค่าการดูดกลืนแสงที่ความยาวคลื่น 660 นาโนเมตรโดยเครื่องสเปกตรอฟโนมิเตอร์ ซึ่งปัจจุบันเครื่องตรวจวิเคราะห์อัตโนมัติหลายชนิดได้มีการประเมินลักษณะของตัวอย่างก่อนการตรวจวิเคราะห์ การประเมินความชุ่นด้วยตาเป็นวิธีที่สะดวกและเป็นที่นิยมใช้ในห้องปฏิบัติการทั่วไป โดยใช้การประเมินระดับความชุ่นเทียบกับแผนภาพ A ซึ่งมีความยากในการตัดสินใจของผู้ปฏิบัติงาน งานวิจัยนี้จึงได้สร้างแผนภาพ B ซึ่งเมื่อศึกษาวิธีการประเมินระดับความชุ่นด้วยแผนภาพ A แผนภาพ B เปรียบเทียบการวัดค่าการดูดกลืนแสงพบว่าแผนภาพ A ให้ค่าสัมประสิทธิ์สัมพันธ์ที่สูง ( $r=0.904$  และ  $0.933$  สำหรับพลาสมาและซีรัมตามลำดับ) ซึ่งผู้ประเมินระดับความชุ่นในการศึกษานี้เป็นผู้มีประสบการณ์ในการประเมินระดับความชุ่นโดยใช้แผนภาพ A นานาน จึงยังเป็นวิธีที่ดีหากต้องการประเมินความชุ่นด้วยตาเปล่า ส่วนแผนภาพ B แม้จะมีความสัมพันธ์กับค่าการ

ดูดกลืนแสงแต่ค่าสัมประสิทธิ์สัมพันธ์ต่ำกว่าแผนภาพ A มาก ทั้งนี้อาจเนื่องจากแผนภาพ B ใช้ เกณฑ์ในการประเมินคือระดับการของเห็นของเส้น โดยไม่มีการประเมินความคงขัด ทำให้การ จำแนกระดับความชุนไม่มีประสิทธิภาพ เนื่องจากบางตัวอย่างที่มีระดับความชุนมากสามารถ มองเห็นเส้นได้ในระดับเดียวกับตัวอย่างที่มีระดับความชุนน้อยแต่การมองเห็นของเส้นมีความ คงขัดไม่เท่ากันดังภาพ 15 จึงควรพัฒนาต่อไป

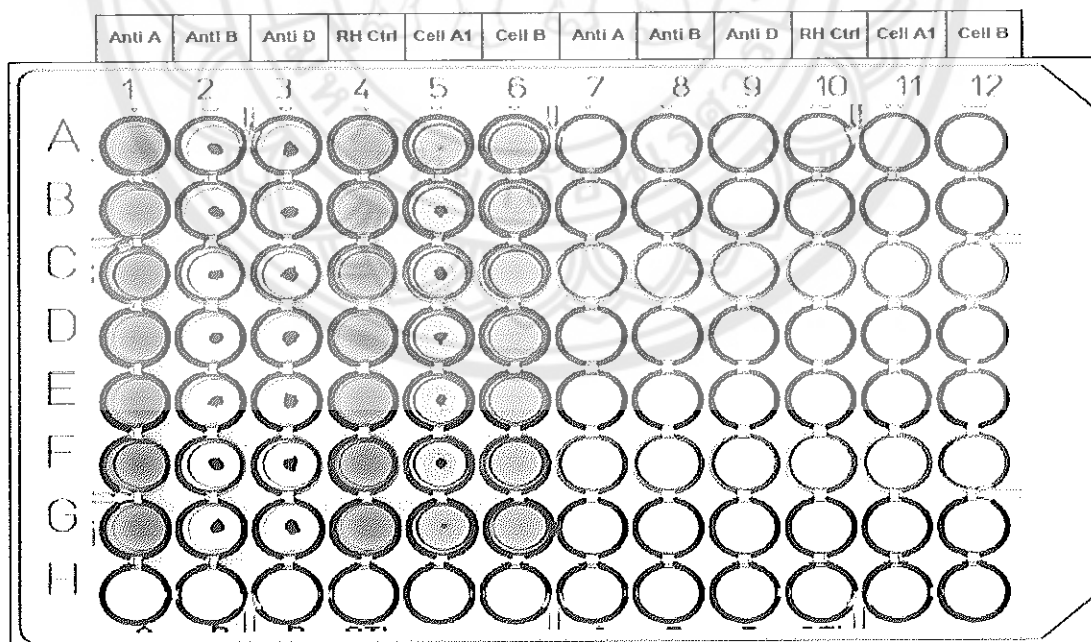


ภาพ 15 การประเมินความชุนด้วยแผนภาพ A และ B ในตัวอย่างที่มีระดับ ความชุนต่างกันในการประเมินด้วยแผนภาพ A (ตัวอย่างที่ 1 ความชุน เป็น 0, ตัวอย่างที่ 2 ความชุนเป็น 4+) แต่สามารถมองเห็นที่เส้นระดับ เดียวกันในการประเมินด้วยแผนภาพ B (ความชุนของตัวอย่างที่ 1 และ 2 เป็น 0)

การศึกษาปัจจัยของความชุนต่อการตรวจหาโลหิตด้วยเครื่องตรวจหาโลหิตอัตโนมัติ Qwalys 3 และการตรวจคัดกรองแอนติบอดีด้วยเครื่องตรวจวิเคราะห์อัตโนมัติ Ortho Autovue Innova พบร่วมกันว่าความชุนไม่มีความสัมพันธ์กับการรายงานผลไม่ได้ของเครื่องตรวจวิเคราะห์หมู่ โลหิตอัตโนมัติ Qwalys 3 (ตาราง 6) แต่สัมพันธ์กับการรายงานผลไม่ได้ของการตรวจคัดกรอง แอนติบอดีด้วยเครื่องตรวจวิเคราะห์อัตโนมัติ Ortho Autovue (ตาราง 7) อย่างไรก็ตามจำนวน ตัวอย่างที่สูงเก็บจำนวน 398 รายนั้น พบรายงานผลการตรวจหาโลหิตไม่ได้โดยพบรายงานผลเป็น

"X" และ "?" จำนวน 7 และ 20 รายตามลำดับ การตรวจคัดกรองเอนติบอดีพบรายงานผลไม่ได้เป็น "WLL" และ "?" จำนวน 20 และ 23 รายตามลำดับ ซึ่งจำนวนตัวอย่างที่รายงานผลไม่ได้มีจำนวนน้อย จึงได้ศึกษาความเป็นปัจจัยเดี่ยงของระดับความซุ่มภัยการรายงานผลไม่ได้ในขั้นตอนต่อไป

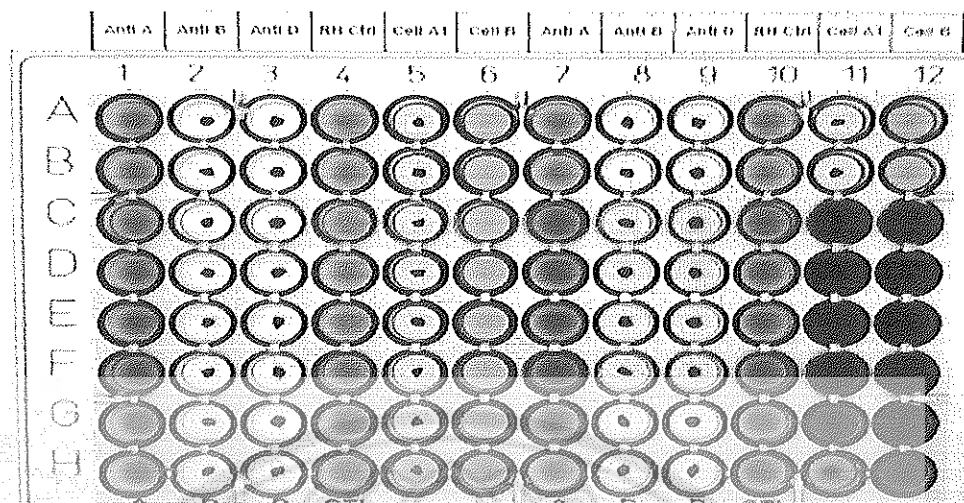
ระดับสารชีวเคมีที่ส่งผลกระทบต่อการตรวจหมูโลหิตด้วยเครื่องตรวจวิเคราะห์หมูโลหิต อัตโนมัติ Qwalys 3 (ตาราง 8) พบว่าระดับกลูโคสที่ความเข้มข้น 1,000 mg/dl เครื่องรายงานผล เป็น "?" ดังภาพ 16 ตำแหน่ง A หมายเลข 1-6 และทดสอบข้ามได้ผลดังภาพ 16 ตำแหน่ง G หมายเลข 1-6 เมื่อนำมาตรวจด้วยวิธีหลอดทดลองพบว่าปฏิกิริยาระหว่างพลาสมามูโลหิต B กับ cell A ให้ปฏิกิริยาลดลงเป็น 1+ (ปฏิกิริยาที่ควรเป็นคือ 4+) โดยปัจจัยที่สามารถควบคุมปฏิกิริยา ระหว่างเอนติเจน-เอนติบอดี ได้แก่ อุณหภูมิในการทำปฏิกิริยา ระยะเวลาในการทำปฏิกิริยา ความเป็นกรด-ด่าง ionic strength สัดส่วนความเข้มข้นของเอนติเจนและเอนติบอดี ความหนืด รวมถึงประจุรอบเซลล์ (61) แต่ในกรณีระดับกลูโคสที่ความเข้มข้น 1,000 mg/dl อาจเป็นผลจาก ความหนืดทำให้เกิดการขัดขวางการทำปฏิกิริยาของเอนติเจน-เอนติบอดีหรืออาจรบกวนจาก สักษณะทางกายภาพ เช่น ความหนืดส่งผลให้การดูดตัวอย่างไม่ได้ปริมาตรที่เหมาะสม หรือมีผล ต่อการอ่านผลปฏิกิริยา เช่น ความหนืดทำให้ต้องขยายแนะนำอ่านปฏิกิริยาแรงขึ้นจากการตรวจด้วย วิธีหลอดทดลอง



ภาพ 16 การตรวจหมูโลหิตด้วยเครื่องตรวจวิเคราะห์หมูโลหิตอัตโนมัติ Qwalys 3 ในตัวอย่าง ที่มีความเข้มข้นของ Glucose 1,000 mg/dl (ตำแหน่ง A หมายเลข 1-6)

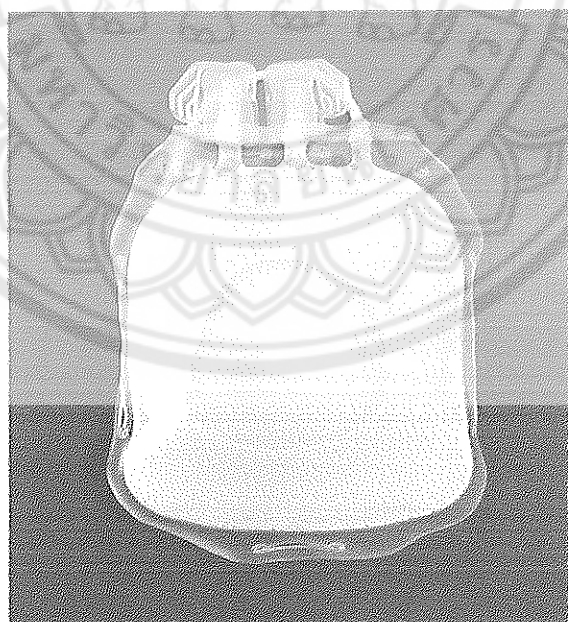
การศึกษาหาระดับไตรกลีเซอไรด์ที่ส่งผลกระทบต่อการตรวจโดยเติม intralipid<sup>®</sup> พบว่าเครื่องไม่สามารถวิเคราะห์ได้ เนื่องจากภาพที่เครื่องถ่ายได้มีลักษณะทึบแสงดังภาพ 17 ตำแหน่ง C ถึง H หมายเลขอารบิก 7-12 เป็นตัวอย่างที่เติม intralipid<sup>®</sup> ที่ระดับความเข้มข้น 2,500, 2,000, 1,500, 1,000, 500, 250 และ 125 mg/dl ตามลำดับโดย intralipid<sup>®</sup> ผลิตจากส่วนผสมของไขมันถั่วเหลืองร้อยละ 20, Egg yolk phospholipid ร้อยละ 1.2, Glycerin ร้อยละ 2.25, ผสมกับน้ำและเติมโซเดียมไฮดรอกไซด์เพื่อปรับค่า pH เป็น 8.0 (35) มีขนาดโมเลกุล 200-600 นาโนเมตร เฉลี่ย 345 นาโนเมตร เป็นที่นิยมใช้ในการหาระดับไตรกลีเซอไรด์ที่ส่งผลกระทบต่อการตรวจต่างๆ (33, 34) แต่ intralipid<sup>®</sup> มีลักษณะขาวขุ่น ขึ้นจะทำให้เครื่องซึ่งอาศัยหลักการอ่านผลด้วยภาพไม่สามารถอ่านปฏิกริยาได้ชัดเจนเท่านั้นเนื่องจากและเมื่อนำไปทดสอบด้วยวิธีหลอดทดลองก็พบว่าไม่สามารถอ่านปฏิกริยาได้ชัดเจนเท่านั้นเนื่องจากตัวอย่างที่เตรียมได้มีลักษณะสีขาว ขุ่น ขั้นคล้ายนม แต่การศึกษาโดยใช้พลาสมาของผู้บริจาคโดยที่มีลักษณะขาวขุ่นเนื่องจากปรับเปลี่ยนด้วยตาบว่ามีระดับความขุ่น 4+ ดังภาพ 18 มาเจือจางเพื่อตรวจหา ระดับไตรกลีเซอไรด์ที่ส่งผลกระทบต่อการตรวจ พบว่าระดับไตรกลีเซอไรด์ตั้งแต่ 1,700 mg/dl เริ่มส่งผลกระทบต่อการตรวจ ดังภาพ 19 ตำแหน่ง A ถึง E เป็นตัวอย่างที่มีลักษณะสีขาว ขุ่น ขั้นคล้ายนม ที่ระดับความเข้มข้น 3,400, 1,700, 850, 425 และ 212 mg/dl ตามลำดับ ซึ่งเมื่อนำมาทดสอบด้วยวิธีหลอดทดลองสามารถวิเคราะห์ได้ดังนี้จากการรายงานผลไม่ได้ของเครื่องตรวจหมูโลหิตอัตโนมัติ Qwaly 3 ซึ่งอาศัยหลักการอ่านผลด้วยภาพ ความขุ่นในตัวอย่างส่งผลทำให้วิเคราะห์ขาดความแม่นยำ จึงไม่สามารถวิเคราะห์ได้ นอกจากนี้อาจเกิดจากไขมันทำให้ตัวอย่างตรวจไม่เป็นเนื้อเดียวกันอาจทำให้สัดส่วนความเข้มข้นของเอนติเจนและเอนติบอดีไม่เหมาะสม รวมถึงอาจทำให้เกิดการขัดขวางการทำปฏิกริยา (13) ซึ่งผลการศึกษานี้ไม่สอดคล้องกับการศึกษาแรกที่พบว่าความขุ่นไม่สัมพันธ์กับการรายงานผลไม่ได้ของการตรวจหมูโลหิตเนื่องจากตัวอย่างที่ส่งผลกระทบต่อการตรวจต้องมีระดับความขุ่นมาก แต่ในการศึกษาแรกนี้ พบตัวอย่างที่มีระดับความขุ่นมากกว่า 3+ จำนวนเพียง 2 รายเท่านั้น จึงไม่สามารถนำมาสรุปผลได้

การเติม intralipid<sup>®</sup> อาจไม่เป็นตัวแทนที่เหมาะสมของการตรวจหาระดับการรับกวนของสารไตรกลีเซอไรด์ในคน ดังเช่นการศึกษาของ Nanji AA และคณะ (38) โดยศึกษาการรับกวนของตัวอย่าง ขุ่นจากมนุษย์กับตัวอย่างที่ถูกทำให้ขุ่นโดยเติม intralipid<sup>®</sup> โดยเตรียมให้มีระดับไตรกลีเซอไรด์เท่ากัน คือ 3.4 mmol/l พบว่าในการทดสอบสารหล่ายชนิดในเครื่องตรวจวิเคราะห์ทางเคมีต่างๆ ให้ผลไม่สอดคล้องกันระหว่างตัวอย่างขุ่นกับตัวอย่างที่ถูกทำให้ขุ่นโดยเติม intralipid<sup>®</sup> และ การศึกษาของ Borholt JA และคณะ (37) ได้แนะนำว่าการศึกษาการรับกวนของระดับไตรกลีเซอไรด์ในกราฟทดสอบต่างๆควรใช้ตัวอย่างที่เตรียมจากผู้ป่วยมีความเหมาะสมกว่าตัวอย่างที่เตรียมโดยเติม intralipid<sup>®</sup>

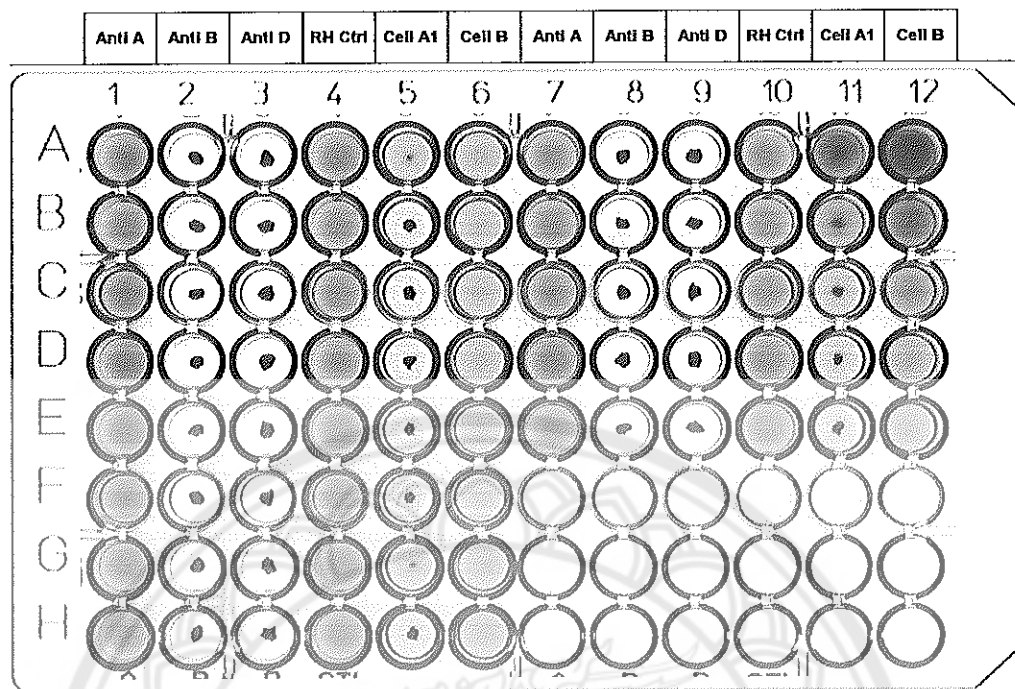


ภาพ 17 การตรวจหมูโลหิตด้วยเครื่องตรวจวิเคราะห์หมูโลหิตอัตโนมัติ Qwalys 3  
ในตัวอย่างที่เติม intralipid<sup>®</sup> (ตำแหน่ง C ถึง H หมายเลข 11-12)

หมายเหตุ: หมายเลข 7-12 เป็นการตรวจหมูโลหิตด้วยวิธี cell grouping และ serum grouping โดยเฉพาะ C ถึง H เป็นตัวอย่างที่เติม intralipid<sup>®</sup> ที่ระดับความเข้มข้น 2,500, 2,000, 1,500, 1,000, 500, 250 และ 125 mg/dl ตามลำดับ



ภาพ 18 ส่วนประกอบโลหิตชนิด fresh frozen plasma นำมาศึกษาหาระดับไตรกลีเซอไรด์  
ที่ส่งผลกระทบต่อการตรวจด้วยเครื่องอัตโนมัติที่ใช้เทคนิคการอ่านผลด้วยภาพ



ภาพ 19 การตรวจหมูโลหิตด้วยเครื่องตรวจวิเคราะห์หมูโลหิตอัตโนมัติ Qwaly's 3 ในตัวอย่างที่มีลักษณะสีขาว ชุน ขันคล้ายนม (ตำแหน่ง A ถึง E หมายเลข 7-12)

หมายเหตุ: หมายเลข 7-12 เป็นการตรวจหมูโลหิตด้วยวิธี cell grouping และ serum grouping โดยแอล A ถึง E เป็นตัวอย่างที่มีลักษณะสีขาว ชุน ขันคล้ายนม ที่ระดับความเข้มข้น 3,400, 1,700, 850, 425 และ 212 mg/dl ตามลำดับ

ระดับสารเรืองเคร้มที่ส่งผลกระทบต่อการตรวจคัดกรองเอนติบอดีด้วยเครื่องตรวจวิเคราะห์อัตโนมัติ Ortho Autovue Innova พบว่าระดับอัลบูมิน 12.0 และ 14.0 g/dl มีปฏิกิริยาที่แรงขึ้น และพบผลบวกปลอมใน screening cell O1 ที่ระดับความเข้มข้น 14.0 g/dl เนื่องจากอัลบูมินเป็นสารที่ช่วยเร่งปฏิกิริยาระหว่างเอนติเจน-แอนติบอดีให้เข้มโดยลดประจุลบเซลล์ (62) ทำให้เซลล์เข้าใกล้กันมากขึ้น มีผลให้ IgG 1 มีเลภุลเรื่องของเม็ดเลือดแดงที่มีเอนติเจนจำเพาะได้มากกว่า 1 เซลล์ ส่วนโกลบูลินพบปฏิกิริยาแรงขึ้นที่ระดับความเข้มข้น 6.0 g/dl สดคล่องกับรายงานผู้ป่วยโดย ทศพล มีน่วม งานธนาคารเลือด คณะแพทยศาสตร์มหาวิทยาลัยเชียงใหม่ (63) ผู้ป่วยชายไทยอายุ 54 ปี ป่วยด้วยโรค multiple myeloma ซึ่งมีการสร้างโมโนโคลอส IgG ปริมาณมาก โดยตรวจพบ IgG 1,300 mg/dl ผลตรวจหมูโลหิตพบไม่ทำปฏิกิริยากับ anti-A, anti-B และ anti-A,B ส่วน serum grouping 'ไม่สามารถตรวจได้เนื่องจากซีรัมเนี้ยวยังเป็นชุน ผลตรวจคัดกรอง

แอนติบอดีพับผลบวกปลอมจาก rouleaux formation โดย IgG ปริมาณมากจะรวมตัวกันเป็นโมเลกุลใหญ่มีผลทำให้เลือด凝ืดส่งผลกระทบต่อผลการตรวจทางห้องปฏิบัติการ ซึ่งระดับความเข้มข้นของอัลบูมินและโกลบูลินสูงมากไม่พบในผู้บริจาคมโดยทั่วไปมีสุขภาพดีและถูกคัดกรองโดยเจ้าหน้าที่ก่อนบริจาคมโดยแล้ว สาเหตุการศึกษาซึ่งที่ถูกเติม intralipid<sup>®</sup> เพื่อหาระดับไตรกลีเซอไรด์และซีรัมของผู้บริจาคมโดยที่มีลักษณะขาวขุ่นเมื่อทำการตรวจคัดกรองแอนติบอดี พนบฯ ภาระงานผลลบปลอมกับระดับไตรกลีเซอไรด์ไม่ได้เป็นไปตามแนวโน้มของความเข้มข้น อาจเนื่องจาก การไม่เป็นเนื้อเดียวกันของซีรัม เมื่อเครื่องดูดซีรัมเพื่อนำไปตรวจวิเคราะห์อาจได้ซีรัมที่แท้จริงหรืออาจได้ส่วนที่ทดแทนซีรัมได้แก่ส่วนที่เป็นไขมันทำให้ผลการตรวจมีความไม่แน่นอน

การประเมินระดับความชุ่มพนบมีความสัมพันธ์กับระดับโกลบูลิน โปรตีนรวมและไตรกลีเซอไรด์ทั้งในพลาสม่าและซีรัม (ตาราง 9 และ 18 ตามลำดับ) ในตัวอย่างที่มีระดับไตรกลีเซอไรด์สูง ความชุ่นก็จากไคลโอลามิครอนซึ่งถูกสร้างที่จำได้เล็กที่น้ำที่ขันส่งไตรกลีเซอไรด์จากอาหาร มีขนาด 80-1,200 นาโนเมตร ความหนาแน่น้อยกว่า 0.95 กรัมต่อลิตร ซึ่งมีขนาดอนุภาคใหญ่ทำให้มีการสะท้อนของแสงจึงเป็นสาเหตุที่ทำให้พลาสม่าและซีรัมมีลักษณะขาวขุ่นหาก ประกอบกับการที่มีความหนาแน่นต่ำเมื่อตั้งทิ้งไว้สามารถเห็นเป็นครีมที่ผิวน้ำพลาสม่าและซีรัมได้ ระดับไคลโอลามิครอนจะสูงภายใน 3-4 ชั่วโมงภายหลังรับประทานอาหาร และจะหมดไปใน 12-14 ชั่วโมง (20, 21) สำหรับระดับโปรตีนรวมและโกลบูลินนั้นประกอบด้วยโปรตีนหลายชนิด ยังไม่ทราบว่าโปรตีนใดบ้างที่ทำให้ตัวอย่างขุ่นนอกเหนือจาก IgG ที่กล่าวไปข้างต้น จึงควรวิเคราะห์ต่อไปในอนาคต ในส่วนของซีรัมพบความชุ่นมีความสัมพันธ์กับระดับอัลบูมิน  $\leq 5.0 \text{ g/dl}$  โดยอาจเป็นผลมาจากการอื่นในซีรัม ซึ่งซีรัมที่มีระดับอัลบูมิน  $\leq 5.0 \text{ g/dl}$  จำนวน 136 รายพบมีระดับไตรกลีเซอไรด์เฉลี่ย  $394.01 \text{ mg/dl}$  ระดับโกลบูลินเฉลี่ย  $3.40 \text{ g/dl}$  และระดับโปรตีนรวมเฉลี่ย  $8.06 \text{ g/dl}$

ภาระงานผลการตรวจหมู่โดยที่ไม่ได้เป็น "X" และ "?" พนบมีความสัมพันธ์กับระดับโกลบูลิน โปรตีนรวมและไตรกลีเซอไรด์ (ตาราง 11) ซึ่งเป็นสารเคมีที่มีความสัมพันธ์กับระดับความชุ่นคือระดับไตรกลีเซอไรด์  $> 500 \text{ mg/dl}$  มีความสัมพันธ์กับภาระงานผลไม่ได้แบบรวมและภาระงานผลเป็น "?" และสัมพันธ์กับการประเมินความชุ่นทั้ง 3 วิธี แต่ระดับโกลบูลิน  $\leq 3.0 \text{ g/dl}$  มีความสัมพันธ์กับภาระงานผลไม่ได้แบบรวมและภาระงานผลเป็น "X" ระดับโปรตีนรวม  $\leq 8.0 \text{ g/dl}$  มีความสัมพันธ์กับภาระงานผลไม่ได้แบบรวม ภาระงานผลเป็น "X" และ "?" แต่สัมพันธ์กับการประเมินระดับความชุ่นในทิศทางตรงข้ามคือ ระดับโกลบูลิน  $> 3.0 \text{ g/dl}$  และ ระดับโปรตีนรวม  $> 8.0 \text{ g/dl}$  มีความสัมพันธ์กับการประเมินระดับความชุ่นทั้ง 3 วิธี (ตาราง 9) ดังนี้ การประเมินตัวอย่างจากความชุ่นเพียงอย่างเดียวจะสามารถคัดตัวอย่างออกจากภาระตรวจที่มีสาเหตุจากระดับ

“ไตรกลีเซอไรด์สูงเท่านั้น” ไม่สามารถคัดกรองເเอกสารอย่างที่มีระดับโกลบูลินและโปรตีนรวมต่ำซึ่ง ส้มพันธุ์กับการรายงานผลไม่ได้จากการตรวจหมูโลหิตด้วยเครื่องตรวจวิเคราะห์หมูโลหิตอัตโนมัติ Qwalys 3

การรายงานผลการตรวจคัดกรองแอนติบอดี้ไม่ได้เป็น “WLL” และ “?” พนມี ความส้มพันธุ์กับระดับอัลบูมิน โกลบูลิน โปรตีนรวม “ไตรกลีเซอไรด์และกลูโคส (ตาราง 20) โดย พบว่าระดับไตรกลีเซอไรด์  $> 500 \text{ mg/dl}$  มีความส้มพันธุ์กับการรายงานผลไม่ได้แบบรวมและ รายงานผลเป็น “WLL” และส้มพันธุ์กับการประเมินความชุนทั้ง 3 วิธี ระดับอัลบูมิน  $\leq 5.0 \text{ g/dl}$  ส้มพันธุ์กับการรายงานผลไม่ได้แบบรวมและรายงานผลเป็น “WLL” และส้มพันธุ์กับการประเมิน ความชุนโดยการวัดค่าการดูดลึ้นแสง ระดับโกลบูลิน  $\leq 3.0 \text{ g/dl}$  ส้มพันธุ์กับการรายงานผลไม่ได้ เป็น “?” ระดับโกลบูลิน  $> 3.0 \text{ g/dl}$  ส้มพันธุ์กับการรายงานผลไม่ได้เป็น “WLL” และการประเมิน ความชุนทั้ง 3 วิธี ระดับโปรตีนรวม  $\leq 8.0 \text{ g/dl}$  ส้มพันธุ์กับการรายงานผลไม่ได้รวมและรายงานผล “ไม่ได้เป็น”? และระดับความชุนของซีรัมมีทิศทางตรงกันข้าม ดังนั้นการประเมินตัวอย่างจากความ ชุนเพียงอย่างเดียวจะสามารถคัดตัวอย่างออกจากการตรวจที่มีสาเหตุจากระดับไตรกลีเซอไรด์สูง และโกลบูลินสูงเท่านั้น ไม่สามารถคัดกรองເเอกสารอย่างที่มีระดับอัลบูมิน โกลบูลินและโปรตีนรวม ต่ำได้ซึ่งส้มพันธุ์กับการรายงานผลไม่ได้จากการตรวจคัดกรองแอนติบอดี้ด้วยเครื่องตรวจวิเคราะห์ อัตโนมัติ Ortho Autovue Innova ส่วนระดับกลูโคสนั้นระดับที่สูงมีความส้มพันธุ์กับการรายงานผล “ไม่ได้เป็น”? เพื่อไม่ส้มพันธุ์กับระดับความชุนของซีรัมจึงไม่สามารถคัดออกได้ด้วยความชุนของ ซีรัม อย่างไรก็ตามระดับกลูโคสที่ได้จากการศึกษานี้เป็นการวัดจากซีรัมซึ่งเป็นการเก็บในตัวอย่าง ในหลอดเก็บตัวอย่างที่ผสม clot activator ทำให้ได้ระดับกลูโคสที่มีต่ำกว่าความเป็นจริงเนื่องจาก ไม่มีสารยับยั้งกระบวนการถลایกลูโคส (glycolysis)

การศึกษาความเป็นปัจจัยเสี่ยงต่อการตรวจหมูโลหิตที่รายงานผลไม่ได้เป็น “X” ซึ่งตาม คุณภาพการใช้เครื่องระบุว่าเกิดจากผลของปฏิกิริยาไม่สอดคล้องกันระหว่าง cell grouping และ serum grouping หรือเครื่องไม่สามารถคัดตัวอย่างหรือน้ำยาเพื่อทำปฏิกิริยาได้ ผลการศึกษา พบว่าค่าการดูดกลึ้นแสง  $> 1.000$  มีความเป็นปัจจัยเสี่ยงต่อการรายงานผลเป็น “X” มากกว่าค่า การดูดกลึ้นแสง  $\leq 1.000$  42.54 เท่า (ตาราง 15) เนื่องมาจากการพลาสม่าที่มีความชุนสูงผลต่อความ คงชัดของภาพเป็นผลให้ซอฟแวร์ที่ทำการประมวลผลเรียบเทียบขนาดและความคมชัดของภาพ ระหว่างขอบของเม็ดเลือดแดงที่ตกลงที่ก้นหลุมกับขอบปฏิกิริยาไม่ชัดเจนมีผลให้ปฏิกิริยาที่เกิดขึ้น ไม่สอดคล้องกันระหว่าง cell grouping และ serum grouping รวมทั้งการดูดพลาสม่าที่มีความชุน ซึ่งมีสารอื่นๆแทนพลาสม่าทำให้ดูดส่วนที่ไม่เป็นตัวอย่างแท้จริง ส่วนระดับโปรตีนรวม  $\leq 8.0$

g/dl มีความเป็นปัจจัยเสี่ยงการรายงานผลไม่ได้มากกว่าพลาสม่าที่มีระดับโปรตีนรวม  $>8.0$  g/dl 34.90 เท่า โดยระดับโปรตีนรวมในตีรัมคนปกติประกอบด้วยอัลบูมินซึ่งเป็นโปรตีนพบมากสุด ประมาณร้อยละ 60 ซึ่งอัลบูมินมีความสำคัญกับการเกิดปฏิกิริยาระหว่างแอนติเจน-แอนติบอดี คืออัลบูมินมีประจุสูญเสียเป็นลบสูงมากทำให้ประจุลบบนผิวเม็ดเลือดแดงมีความเป็นลบลดลงและสามารถจับกับแอนติบอดีได้ดียิ่งขึ้น สดคอลส์องกับการรายงานของ Beryl Armstrong (61) พนักงานมีการเติมสารต่างๆ ในปฏิกิริยาระหว่างแอนติเจน-แอนติบอดีเพื่อเพิ่มความไวในการจับกันของแอนติเจนและแอนติบอดี เช่น 22% bovine serum albumin, polyethylene glycol และ polybrene แต่จากการศึกษาครั้งนี้กลุ่มตัวอย่างทั้งหมดมีระดับอัลบูมินระหว่าง 3.3-5.6 g/dl ซึ่งใกล้เคียงกับระดับปกติ (3.5-5.0 g/dl) ดังนั้นความเป็นปัจจัยเสี่ยงต่อการตรวจหมูโลหิตที่รายงานผลไม่ได้เป็น "X" จึงน่าจะเป็นส่วนโกลบูลินซึ่งการศึกษานี้ได้ค่าความเข้มข้นโกลบูลินจากการคำนวณโดยใช้ค่าความเข้มข้นโปรตีนรวมแบบด้วยค่าความเข้มข้นอัลบูมินพบว่าให้ผลสดคอลส์องกับค่าโปรตีนรวม ส่วนการรายงานผลไม่ได้เป็น "?" ซึ่งตามคู่มือการใช้เครื่องระบุว่าเกิดจากการประมวลผลตรวจโดยใช้ซอฟแวร์ทำการเบรย์นเทียบขนาดและความคงดั้งของภาพระหว่างขอบของเม็ดเลือดแดงที่ตกลงที่ก้นหลุมกับขอบปฏิกิริยา โดยรายงานค่าเป็นตัวเลข 0-100 และแปลผลเป็น 0 ถึง 4+ ถ้าพบค่าน้อยกว่า 20 รายงานผลเป็น "?" โดยการศึกษานี้พบระดับโปรตีนรวม  $\leq 8.0$  g/dl มีความเป็นปัจจัยเสี่ยงมากกว่าพลาสม่าที่มีระดับโปรตีนรวม  $>8.0$  g/dl 8.95 เท่า (ตาราง 17) การมีระดับโปรตีนต่ำอาจส่งผลต่อการทำปฏิกิริยาระหว่างแอนติเจน-แอนติบอดี ส่วนระดับไตรกลีเซอไรด์ที่  $>500$  mg/dl พนเป็นปัจจัยเสี่ยงต่อการรายงานไม่ได้เป็น "?" มาจากว่าพลาสม่าที่มีระดับไตรกลีเซอไรด์  $\leq 500$  mg/dl 10.35 เท่า โดยระดับไตรกลีเซอไรด์พบสัมพันธ์กับระดับความ浑浊 ดังรายงานของ Giuseppe Lippi (64) ได้ศึกษาความสัมพันธ์ระหว่างระดับความ浑浊และระดับไตรกลีเซอไรด์ในผู้บริโภคโดยพนวณาความสัมพันธ์กันโดยระดับไตรกลีเซอไรด์ระหว่าง 300-600, 600-1,000 และ  $>1,000$  mg/dl มีระดับความ浑浊เป็น slightly, moderate และ markedly turbid ตามลำดับ โดยตัวอย่างที่浑浊มีໄไปโปรตีนชนิด chylomicron และ VLDL ซึ่งมีขนาดอนุภาคใหญ่ อาจมีผลให้ขัดขวางการจับกันระหว่างแอนติเจนกับแอนติบอดีและอาจทำให้การถ่ายภาพได้ภาพไม่ชัดเจน

การศึกษาความเป็นปัจจัยเสี่ยงต่อการรายงานผลการตรวจคัดกรองแอนติบอดีด้วยเครื่องตรวจวิเคราะห์อัตโนมัติ Ortho Autovue Innovia โดยรายงานผลไม่ได้เป็น "WLL" ซึ่งตามคู่มือการใช้เครื่องระบุว่าเกิดจากเครื่องประมวลผลโดยถ่ายภาพด้านหน้าและหลังของปฏิกิริยาที่เกิดใน cassette หลังจากนั้นประมวลผลโดยซอฟแวร์ Image processing software (IPS) โดย

ก่อนรายงานผลเครื่องมือการตรวจวัดระดับของเหลวที่เกิดใน cassette ถ้าระดับของเหลวไม่เหมาะสมหรือตรวจหาระดับความต้องของของเหลวไม่ได้จะรายงานผลเป็น wrong liquid level (WLL) โดยค่าการดูดลิ้นแสง  $>1.000$  มีความเป็นปัจจัยเสี่ยงต่อการรายงานผลเป็น "WLL" มากกว่าค่าการดูดลิ้นแสง  $\leq 1.000$  22.33 เท่า และระดับไตรกลีเซอไรด์ที่  $>500 \text{ mg/dl}$  มีความเป็นปัจจัยเสี่ยงมากกว่าซึ่รัมที่มีระดับไตรกลีเซอไรด์  $\leq 500 \text{ mg/dl}$  10.35 เท่า ระดับความชุนมีความสัมพันธ์กับระดับไตรกลีเซอไรด์และส่งผลต่อการตรวจวัดระดับของเหลวก่อนการประมวลผลของซอฟแวร์โดยขึ้นต่อการถ่ายภาพแสงจากแหล่งกำเนิดจะส่องกระทบ cassette ซึ่งตัวอย่างที่มีระดับความชุน แสงจะถูกดูดซับด้วยอนุภาคที่อยู่ในตัวอย่างชุนทำให้ภาพที่ได้มีลักษณะทึบ ขาดความคมชัด ดังภาพ 20 ซึ่งเป็นปัจจัยเสี่ยงต่อการรายงานผลไม่ได้เป็น "WLL" สำหรับการรายงานผลการตรวจคัดกรองแอนติบอดี้ไม่ได้เป็น "?" ซึ่งตามคุณภาพการใช้เครื่องระบุว่าเกิดจากผลการทดสอบมีความไม่ชัดเจนหรือพบการผุ้งของบริเวณผิวเม็ดเลือดแดงที่ก้นหลุม พบว่าระดับโปรดตินรวม  $\leq 8.0 \text{ g/dl}$  มีความเป็นปัจจัยเสี่ยงมากกว่าพลาสม่าที่มีระดับโปรดตินรวม  $>8.0 \text{ g/dl}$  3.39 เท่า โดยคาดว่ามีสาเหตุเช่นเดียวกับการรายงานผลการตรวจหมูโลหิตไม่ได้โดยรายงานผลเป็น "?" นอกจากนี้ยังพบว่าเพศหญิงมีความเป็นปัจจัยเสี่ยงต่อการรายงานผลไม่ได้มากกว่าเพศชาย 3.11 เท่าสาเหตุยังไม่ทราบแน่ชัดเนื่องจากเพศหญิงมีความต่างจากเพศชายหลักประการ ได้แก่ ภาวะตั้งครรภ์ ฮอร์โมนเพศ เมtabolism การใช้วิถีชีวประจําวัน เช่น การสูบบุหรี่ การดื่มแอลกอฮอล์ ลักษณะการทำงานต่างๆ รวมถึงส่วนใหญ่เพศหญิงมีระดับฮีโนโกลบินต่ำกว่าเพศชายซึ่งอาจทำให้มีโอกาสที่จะพบเม็ดเลือดแดงผุ้งมากกว่าเพศชาย



ภาพ 20 การตรวจคัดกรองแอนติบอดีด้วยเครื่องตรวจคัดกรองแอนติบอดี Ortho AutoVue Innova ในตัวอย่างชั่น (หลุมที่ 3-4)

การรายงานผลการตรวจหูโลหิตไม่ได้ โดยรายงานผลเป็น "X" พบไม่สัมพันธ์กับระดับความชุนจากการประเมินหัว 3 วิธี แต่เมื่อศึกษาความเป็นปัจจัยเสี่ยงพบการวัดค่าการดูดกลืนแสง  $>1.000$  และการมีระดับไปรตีนรวม  $<8.0 \text{ g/dl}$  เป็นปัจจัยเสี่ยงต่อการรายงานผลไม่ได้เป็น "X" การรายงานผลไม่ได้เป็น "?" ไม่สัมพันธ์กับการประเมินระดับความชุนแต่สัมพันธ์กับการมีระดับไปรตีนรวม  $\leq 8.0 \text{ g/dl}$  และการมีระดับไตรกลีเซอไรด์  $>500 \text{ mg/dl}$  การรายงานผลการตรวจคัดกรอง เอ็นติบอดีไม่ได้ โดยรายงานผลเป็น "WLL" พบมีความสัมพันธ์กับการประเมินความชุนโดยการวัดค่าการดูดกลืนแสงและระดับไตรกลีเซอไรด์ และการรายงานผลเป็น "?" พบสัมพันธ์กับอายุและระดับไปรตีนรวม

### ข้อเสนอแนะ

ซีรัมหรือพลาสมาร่องผู้บริจากโลหิตที่มีลักษณะชุนสูงส่งผลกระทบต่อการตรวจหูเสื่อม และคัดกรองเอนติบอดี ดังนั้นหน่วยงานที่รับบริจากโลหิตและงานธนาคารเลือดควรเพิ่มการประชาสัมพันธ์ให้ผู้บริจากโลหิตคงตระหนักรู้ว่าหูเสื่อมสูงก่อนมาบริจากโลหิต นอกจากจะช่วยลดการสูญเสียจากการจำหน่ายผลิตภัณฑ์ชุนแล้วยังเป็นการลดปัจจัยเสี่ยงที่อาจส่งผลกระทบต่อผลการตรวจทางห้องปฏิบัติการได้

ในการประเมินความชุนของตัวอย่างตรวจด้วยแผนภาพ B ซึ่งมีความสัมพันธ์กับการวัดการดูดกลืนแสงน้อยกว่าแผนภาพ A หากต้องการพัฒนาควรประเมินความชุนโดยใช้เกณฑ์การมองเห็นของระดับเส้นและความสามารถในการจำแนกระยะห่างระหว่างเส้นสองเส้น อาจจะทำให้การประเมินระดับความชุนมีประสิทธิภาพดียิ่งขึ้น



## บรรณานุกรม

1. นวพรวน จาธุรักษ์. การควบคุมคุณภาพวิเคราะห์ในห้องปฏิบัติการคลินิก: จากทฤษฎีสู่การปฏิบัติ. กรุงเทพฯ: พี.เอ.ลิฟวิ่ง; 2554.
2. Plebani M. Quality Indicators to Detect Pre-Analytical Errors in Laboratory Testing. *The Clinical Biochemist Reviews*. 2012;33(3):85-88.
3. Lippi G, Chance Jeffrey J, Church S, Dazzi P, Fontana R, Giavarina D, et al. Preanalytical quality improvement: from dream to reality. *Clinical chemistry and laboratory medicine*. 2011; 1113-1126.
4. Lippi G, Guidi GC, Mattiuzzi C, Plebani M. Preanalytical variability: the dark side of the moon in laboratory testing. *Clinical chemistry and laboratory medicine*. 2006;44(4): 358-365.
5. Lippi G, Salvagno GL, Montagnana M, Franchini M, Guidi GC. Phlebotomy issues and quality improvement in results of laboratory testing. *Clinical laboratory*. 2006; 52(5-6):217-230.
6. Tate J, Ward G. Interferences in Immunoassay. *The Clinical Biochemist Reviews*. 2004;25(2):105-120.
7. Nikolac N. Lipemia: causes, interference mechanisms, detection and management. *Biochimia Medica*. 2014;24(1):57-67.
8. Lo SC, Lin KH, Hsieh HH, Lin DT, Hu CY. Genetic variations of CD36 and low platelet CD36 expression - a risk factor for lipemic plasma donation in Taiwanese apheresis donors. *Vox sanguinis*. 2016;110(3):236-43.
9. Peffer K, de Kort WL, Slot E, Doggen CJ. Turbid plasma donations in whole blood donors: fat chance? *Transfusion*. 2011;51(6):1179-1187.
10. Morish M, Ayob Y, Naim N, Salman H, Muhamad N, Yusoff N. Quality indicators for discarding blood in the National Blood Center, Kuala Lumpur. *Asian Journal of Transfusion Science*. 2012;6(1):19-23.
11. สมาคมชาดไทย. นโยบายบริการโลหิตแห่งชาติ พ.ศ. 2553. กรุงเทพฯ: โรงพิมพ์ชุมนุม สมควร์น์การเกษตรแห่งประเทศไทย; 2553.

12. Mittal K, Sood T, Bedi RK. Turbid blood unit: A second look. *Journal of Clinical Lipidology*. 2014;8(5):528.
13. Kroll MH, Elin RJ. Interference with clinical laboratory analyses. *Clinical Chemistry*. 1994;40(11 Pt 1):1996-2005.
14. Walker PL, Crook MA. Lipaemia: Causes, consequences and solutions. *Clinica Chimica Acta*. 2013;418:30-32.
15. Lippi G, Franchini M. Lipaemic donations: Truth and consequences. *Transfusion and Apheresis Science*. 2013;49(2):181-184.
16. Simundic A-M, Nikolac N, Ivankovic V, Ferenec-Ruzic D, Magdic B, Kvaternik M, et al. Comparison of visual vs. automated detection of lipemic, icteric and hemolyzed specimens: can we rely on a human eye? *Clinical chemistry and laboratory medicine*. 2009;47(11):1361-1365.
17. Thomas A, Germer, Joame C, Zwinkels, Benjamin K, Tsai. Chapter 1-Introduction. In: Thomas A. Germer JCZ, Benjamin KT, editors. *Experimental Methods in the Physical Sciences*. 2014;46:1-9.
18. Usha Adiga BNM. Lipemic index – a tool to measure lipemia. *International Journal of Medical Research & Review*. 2016;4(4):613-617.
19. Shin DH, Kim J, Uh Y, Lee SI, Seo DM, Kim KS, et al. Development of an integrated reporting system for verifying hemolysis, icterus, and lipemia in clinical chemistry results. *Annals of laboratory medicine*. 2014;34(4):307-312.
20. Ferrier DR. Biochemistry. China: Library of Congress Cataloging-in-Publication Data; 2016.
21. ดาวดย ฉมภ. ชีวเคมี. กรุงเทพฯ: สำนักพิมพ์แห่งจุฬาลงกรณ์มหาวิทยาลัย; 2553.
22. Agarwal S, Vargas G, Nordstrom C, Tam E, Buffone GJ, Devaraj S. Effect of interference from hemolysis, icterus and lipemia on routine pediatric clinical chemistry assays. *Clinica Chimica Acta*. 2015;438:241-5.
23. Calmarza P, Cordero J. Lipemia interferences in routine clinical biochemical tests. *Biochemia medica*. 2011;21(2):160-166.

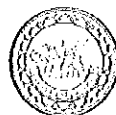
24. Ji JZ, Meng QH. Evaluation of the interference of hemoglobin, bilirubin, and lipids on Roche Cobas 6000 assays. *Clinica Chimica Acta.* 2011;412 (17-18):1550-1553.
25. Mainali S, Davis SR, Krasowski MD. Frequency and causes of lipemia interference of clinical chemistry laboratory tests. *Practical Laboratory Medicine.* 2017;8: 1-9.
26. Steen G, Klerk A, Laan K, Eppens EF. Evaluation of the interference due to haemoglobin, bilirubin and lipids on Immulite 2500 assays: a practical approach. *Annals of Clinical Biochemistry.* 2011;48(Pt 2):170-175.
27. Sen S, Ghosh, Tk G, Das M, Das S. A Study on Effect of Lipemia on Electrolyte Measurement by Direct Ion selective Electrode Method. *Journal of Biomolecular Research.* 2016; 5:6.
28. Aggarwal S, Nayak DM, Manohar C. Discrepancy in Optical & Mechanical Method in Coagulation Tests in a Turbid Sample. *Indian Journal of Hematology & Blood Transfusion.* 2014;30(1):402-404.
29. Tang N, Jin X, Sun Z, Jian C. Effects of hemolysis and lipemia interference on kaolin-activated thromboelastography, and comparison with conventional coagulation tests. *Scandinavian journal of clinical and laboratory investigation.* 2017;77(2):98-103.
30. Zeng SG, Zeng TT, Jiang H, Wang LL, Tang SQ, Sun YM, et al. A simple, fast correction method of triglyceride interference in blood hemoglobin automated measurement. *Journal of clinical laboratory analysis.* 2013;27(5):341-345.
31. Dimeski G. Interference Testing. *The Clinical Biochemist Reviews.* 2008;29:S43-8.
32. Saracevic A, Nikolac N, Simundic AM. The evaluation and comparison of consecutive high speed centrifugation and LipoClear(R) reagent for lipemia removal. *Clinical Biochemistry.* 2014;47(4-5):309-314.
33. Rosenthal MA, Katz HB. An innovative method for determining lipemia interference in blood specimens. *Clinica Chimica Acta.* 2011;412(7-8):665-667.
34. Kroll MH. Evaluating Interference Caused by Lipemia. *Clinical Chemistry.* 2004; 50(11):1968-1969.
35. Baxter H. Intralipid [Package insert]. Fresenius Kabi: Baxter Healthcare Corporation; 2000.

36. Tilmann Wabel C. Influence of lecithin on structure and stability of parenteral fat emulsions. Germany: Erlangen; 1998.
37. Bornhorst JA, Roberts RF, Roberts WL. Assay-Specific Differences in Lipemic Interference in Native and Intralipid-Supplemented Samples. Clinical Chemistry. 2004; 50(11):2197-2201.
38. Nanji AA, Poon R, Hinberg I. Lipaemic interference: effects of lipaemic serum and intralipid. Journal of Clinical Pathology. 1988;41(9):1026-1027.
39. Monk C, Wallage M, Wassell J, Whiteway A, James J, Beetham R. A monoclonal protein identified by an anomalous lipaemia index. Annals of Clinical Biochemistry. 2009; 46(3):250-252.
40. Yang Y, Howanitz PJ, Howanitz JH, Gorfajn H, Wong K. Paraproteins Are a Common Cause of Interferences With Automated Chemistry Methods. Archives of Pathology & Laboratory Medicine. 2008;132(2):217-223.
41. Song L, Kelly KA, Butch AW. Monoclonal and polyclonal immunoglobulin interference in a conjugated bilirubin assay. Archives of Pathology & Laboratory Medicine. 2014;138(7):950-954.
42. Pantanowitz L, Horowitz GL, Upalakalin JN, Beckwith BA. Artifactual hyperbilirubinemia due to paraprotein interference. Archives of pathology & laboratory medicine. 2003;127(1):55-59.
43. Elena Garcia-Gonzalez RG-T, Maite Aramendia, Luis Rello. Analytical interference by monoclonal immunoglobulins on the direct bilirubin AU Beckman Coulter assay: the benefit of unsuspected diagnosis from spurious results. European Federation of Clinical Chemistry and Laboratory Medicine (EFLM). 2016;54(8):1329-1335.
44. Garcia-Gonzalez E, Aramendia M, Gonzalez-Tarancon R, Romero-Sanchez N, Rello L. Detecting paraprotein interference on a direct bilirubin assay by reviewing the photometric reaction data. Clinical chemistry and laboratory medicine. 2017; 55(8): 1178-1185.

45. Berth M, Delanghe J. Protein precipitation as a possible important pitfall in the clinical chemistry analysis of blood samples containing monoclonal immunoglobulins: 2 case reports and a review of the literature. *Acta clinica Belgica.* 2004;59(5):263-273.
46. Carmena R. High risk of lipoprotein dysfunction in type 2 diabetes mellitus. *Revista Española de Cardiología.* 2008;8(supl C):18-24.
47. Waseem M, Dave-Sharma S, Kin LL, Jara F. Lipemic serum in a toddler with new-onset diabetes mellitus presenting with diabetic ketoacidosis. *Journal of the pancreas.* 2012;13(1):73-75.
48. Batra P, Singhal R, Shah D. Diabetic lipemia presenting as eruptive xanthomas in a child with autoimmune polyglandular syndrome type IIIa. *Journal of pediatric endocrinology & metabolism.* 2014;27(5-6):569-571.
49. Cuhadar S, Koseoglu M, Cinpolat Y, Bugdayci G, Usta M, Semerci T. The effect of extremely high glucose concentrations on 21 routine chemistry and thyroid Abbott assays: interference study. *Biochemia medica.* 2016;26(1):53-60.
50. Gencheva Irena I, Ruseva Adelaida L. Effects of glucose and bilirubin on the kinetic Jaffe's and the enzymatic methods for serum creatinine assay. *Journal of Biomedical and Clinical Research.* 2015;8(1):35-39.
51. E for L international CO. L. Standard operation procedure for Qwaly 3 analyzer. 2014.
52. Diagnostic OC. ORTHO AUTOVUE Innova. Bangkok: Johnson and Johnson; 2017.
53. อาจารย์ ศรีศิรินทร์ 堪การเลือด ปฏิบัติการเกี่ยวกับ堪การเลือด. กรุงเทพฯ: ภาควิชาจุลทรรศนศาสตร์คลินิก คณะเทคนิคการแพทย์ มหาวิทยาลัยมหิดล; 2542.
54. Kaewduang P, Wongsena W, Sranujit R, Kuaha K. Risk factor for lipemic plasma in blood donors. *Journal of Hematology and Transfusion Medicine.* 2017;27(2):117-125.
55. Peffer, K. , de Kort, W. L., Slot, E., Doggen, C. J. Turbid plasma donations in whole blood donors: fat chance?. *Transfusion.* 2011;51(6):1179-1187.
56. Kroll MH. Evaluating interference caused by lipemia. *Clinical Chemistry.* 2004; 50:1968-9.

57. Nicolas D. Knuth, Jefferey F. Horowitz. The Elevation of Ingested Lipids within Plasma Chylomicrons Is Prolonged in Men Compared with Women. *The journal of nutrition.* 2006;136(6):1498-503.
58. Syamlal G, Mazurek JM, Dube SR. Gender differences in smoking among U.S. working adults. *American Journal of Preventive Medicine.* 2014;47(4):467-475.
59. Van de Wiel A. The effect of alcohol on postprandial and fasting triglycerides. *International Journal of Vascular Medicine.* 2012;1-4.
60. Dias CB, Moughan PJ, Wood LG, Singh H, Garg ML. Postprandial lipemia: factoring in lipemic response for ranking foods for their healthiness. *Lipids in Health and Diseases.* 2017;16(1):178.
61. Armstrong B. Antigen–antibody reactions. *ISBT Science Series.* 2008;3:21-32.
62. Dinardo CL, Bonifacio SL, Mendrane A Jr. Indirect antiglobulin test-crossmatch using low-ionic-strength saline-albumin enhancement medium and reduced incubation time: effectiveness in the detection of most clinically significant antibodies and impact on blood utilization. *ImmunoHematology.* 2014;30(1):1-5.
63. Menuam T, Cheepsattayakorn R, Rattarittamrong E, Norasetthada L, Ya-in C, Chainual P. Problem Solving in Hyperviscosity Syndrome. *Journal of Hematology and Transfusion Medicine.* 2011;21:73-82.
64. Lippi G, Buttarello M, Ceriotti F, Daves M, Dolci A. Recommendations for detection and management of unsuitable samples in clinical laboratories. *Clinical Chemistry and Laboratory Medicine.* 2007;25(45):728-736.





## คณะกรรมการรับรองการวิจัยในมนุษย์ มหาวิทยาลัยนเรศวร

NARESUAN UNIVERSITY INSTITUTIONAL REVIEW BOARD

92 หมู่ 9 ตำบลโนนสูง อำเภอเมืองนเรศวร ๖๕๖๐ โทรศัพท์ ๐๕๕๙๖ ๘๔๔๒

## เอกสารข้อตกลงการวิจัย

คณะกรรมการรับรองการวิจัยในมนุษย์ มหาวิทยาลัยนเรศวร ดำเนินการให้กับ ห้องปฏิบัติการพัฒนาและทดสอบชิ้นงานชีวภาพที่ได้แก้ไขเพิ่มเติมตามหลักจริยธรรมการวิจัยในมนุษย์ (Declaration of Helsinki, The Belmont Report, COIWS Guideline และ International Conference on Harmonization on Good Clinical Practice หรือ ICH-GCP)

|                    |  |
|--------------------|--|
| ชื่อโครงการ        | : เพลิงกล่องเลือดซึ่งมีไข้ปูในสีเขียวสีฟ้าและสีขาวและค่าออกซิเจนออกซิเจนที่สูงกว่าปกติ   |
| Study Title        | : Effect of turbid plasma and serum in donating blood on the detection of blood group and antibody screening by image-based automated analyzer |
| ผู้วิจัยหลัก       | : นางสาวจิตราษฎร์ บันลึง   |
| สักเดือนบรรณาณ     | : ตลอดระยะเวลา   |
| วิธีแบบทวน         | : แบบเร่งรัด (Expedited Review)  |
| รายงานความถ้วนหน้า | : ส่วนราชการที่เกี่ยวข้องต้องรับทราบ 1 ครั้งที่ หรือส่วนราชการที่เกี่ยวข้องที่ต้องรับทราบ ผู้วิจัยที่เก็บ 1 ปี                                 |

## เอกสารแนบท้าย

1. AF 01-10 เอกสารที่ 1.0 วันที่ 30 มิถุนายน 2561
2. AF 02-10 เอกสารที่ 1.0 วันที่ 30 มิถุนายน 2561
3. AF 03-10 เอกสารที่ 1.0 วันที่ 30 มิถุนายน 2561
4. สรุปโครงการที่ยกเว้นการขอรับอนุมัติเบอร์แคมป์ 2.0 วันที่ 01 มิถุนายน 2561
5. ใบอนุญาตยกเว้น 2.0 วันที่ 01 มิถุนายน 2561
6. แบบรับผู้รับเชื้อเอกสารที่ 1.0 วันที่ 30 มิถุนายน 2561
7. แบบรายงานตัวให้รับเอกสารที่ 1.0 วันที่ 30 มิถุนายน 2561

ลงนาม

(นายแพทย์สมบูรณ์ ดันสุกสวัสดิ์)

ประธานคณะกรรมการรับรองการวิจัยในมนุษย์

มหาวิทยาลัยนเรศวร

วันที่รับรอง : ๐๘ มิถุนายน ๒๕๖๑

Date of Approval : June 08, 2018

วันหมดอายุ : ๐๘ มิถุนายน ๒๕๖๒

Approval Expire Date : June 08, 2019

ผู้มีอำนาจแต่งตั้งให้รับรองการวิจัยในมนุษย์ (ผู้อำนวยการสถาบันฯ/ผู้อธิการบดี)



COA No. NBC 11/2018

๒๕๖๑ ๑๑ ๑๑ ๑๑ ๑๑ ๑๑  
๑๑ ๑๑ ๑๑ ๑๑ ๑๑ ๑๑

๑๑ ๑๑ ๑๑ ๑๑ ๑๑ ๑๑

## กตัญกรรมการจริษฐธรรมการวิชัย ถุนย์บริการโกลพิคแท้ชาลี สาภากาชาดไทย

## เอกสารรับรองการวิชัย

**ชื่อกรรมการ:** กตัญกรรมการจริษฐธรรมการวิชัย ถุนย์บริการโกลพิคแท้ชาลี สาภากาชาดไทย  
ตั้งในมีดินที่ใช้แทนบันกอกการซ่าบแหลกสั่งภายใน

**รหัสกรรมการ:** ๙/๒๕๖๑**ผู้ที่หันมาถือกรรมการ:** นายสรวัชรากุล ณ วงศ์วิเศษ**หน่วยงานที่สังกัด:** ภาคบริการโกลพิคแท้ชาลีที่ ๘ จ.นครศรีธรรมราช**อดีตหน้าที่ในการวิชัย:** ภาคบริการโกลพิคแท้ชาลีที่ ๘ จ.นครศรีธรรมราช**เอกสารที่รับรอง:** โกรธกวนวิชัย**วันที่รับรอง:** ๒๐ มิถุนายน ๒๕๖๑**วันหมดอายุ:** ๒๐ มิถุนายน ๒๕๖๒

กตัญกรรมการจริษฐธรรมการวิชัย ถุนย์บริการโกลพิคแท้ชาลี ขอรับรองให้กรรมการวิจัยได้ว่า “แหล่งอาหารสามารถตรวจสอบได้ที่ถูกต้องตามกฎหมาย”  
ซึ่งรับผิดชอบในการตรวจสอบให้ถูกต้องตามกฎหมายโดยไม่ใช้ก็อปปี้หรือข้อมูลที่ไม่ถูกต้อง

ลงนาม ..... ๒๐/๖๑/๒๕๖๑

๒๐ มิถุนายน ๒๕๖๑

(นายศรีสุวรรณ แพนธ์ ภญ.นักวิชาระบบที่ปรึกษาทางการค้า)

ประชานาคราชกุลกรรมการจริษฐธรรมการวิชัย ถุนย์บริการโกลพิคแท้ชาลี

ลงนาม ..... ๒๐/๖๑/๒๕๖๑

๒๐ มิถุนายน ๒๕๖๑

(นายไพบูลย์ แพนธ์ ผู้ช่วยผู้อำนวยการ ชุดคุณภาพ ชุดคุณธรรม)

ผู้อำนวยการ ถุนย์บริการโกลพิคแท้ชาลี สาภากาชาดไทย

卷之三

卷之三

卷之三

卷之三

SCHILLER IN THE FRENCH REVOLUTION 15

卷之三

卷之三

तिरुप्पुरुषोऽस्मि तिरुप्पुरुषोऽस्मि तिरुप्पुरुषोऽस्मि

此書之題，蓋取於《周易》「繫辭」所云：「聖人與神明相通者，非也。」

卷之三

ເລືອກຕີການຮັດຂອງມະນາຄົມກາງທີ່ມີຢູ່ໃນປະເທດໄທ ແລ້ວມີຫຼາຍ